

Literatura

Kvasnica J. a kol.: Mechanika. Academia, Praha 88

Havrének A.: Mechanika I., II

Bakule R., Svoboda E.: Molekulová fyzika

Bakule R., Brož J.: Molekulová fyzika

Přednáška, cvičení, praktikum konzultace

Fyzika: základní formy pohybu hmoty
pohyb - jakékoli změna

experimentální, exaktní - veličiny extenzivní x intenzivní, rozdíl měření

Mechanika - mechanický pohyb - změna polohy těles
(mechanika v prostoru, jejich velikosti a tvaru
nástroj, stroj)

empirie → axiomatická výstavba

kinematika x dynamika (družiny cíle)

referenční těleso, referenční (vztahy) systém
stetika - relativnost pohybu skutečné

klasická mechanika - rámcem - "absolutní" prostor a čas
(prostor 3 rozm., čas 1 rozm. kontinuum) (oddělení)

Philosophiae Naturalis Principia Mathematica 1687

Absolutní, skutečný a matematický čas plyne sam od sebe
a díky své povaze rovnoramenní a bez ohledu na vnější objekty.
Absolutní prostor je zhlédnutem ke své podstatě a bez ohledu
na vnější objekty stále tří a nepohyblivý

↗ Pojem hmotného bodu

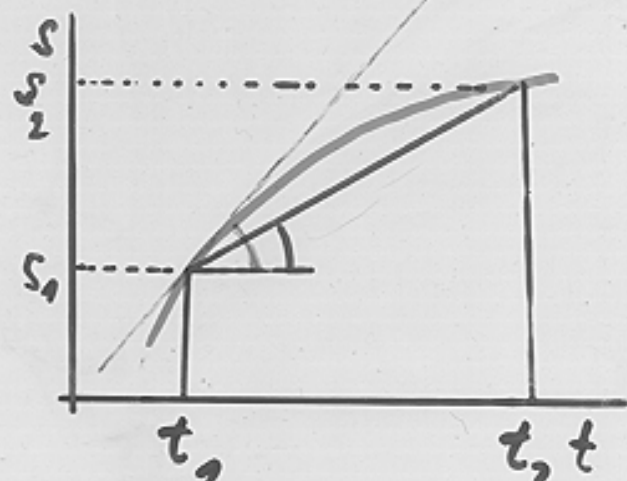
Kitab k matematice

A. Kinematika hmot. bodu

Pohyb po přímce $s = s(t)$

rychlosť průměrná'

$$v_p = \left(\frac{s}{t} \right) = \frac{s_2 - s_1}{t_2 - t_1} = \frac{\Delta s}{\Delta t}$$



okamžitá

$$v = \lim_{\Delta t \rightarrow 0} \frac{\Delta s}{\Delta t} = \lim_{\Delta t \rightarrow 0} \frac{s(t+\Delta t) - s(t)}{\Delta t} = \frac{ds}{dt}$$

derivate
 $v(t)$

zrychlení průměrné

$$a_p = \frac{v_2 - v_1}{t_2 - t_1}$$

$$\text{okamžitý} \quad a = a(t) = \frac{dv}{dt} = \frac{d^2 s}{dt^2}$$

pohyb po křivce v trojrozměrném prostoru

$$x = x(t) \quad x_1 = x_1(t)$$

$$x_i = x_i(t)$$

$$y = y(t) \quad x_2 = x_2(t)$$

$$\vec{r} = \vec{r}(t) \quad \vec{r} = (x_1, x_2, x_3)$$

$$z = z(t) \quad x_3 = x_3(t)$$

polohový vektor

(radiávektor)

trajektorie, dráha

(parametricka-jina)

$$(\text{nepř. } s) \quad \vec{r} = \vec{r}(s)$$

nebo vylovený parametr

zobecnění:

průměrná rychlosť - vektor

$$\vec{v}_p = \frac{\vec{r}(t_2) - \vec{r}(t_1)}{t_2 - t_1}$$

okamžitá

$$\vec{v} = \frac{d\vec{r}(t)}{dt} \quad \text{se slojkami:}$$

$$v_x = \frac{dx_1}{dt}, v_y = \frac{dx_2}{dt}, v_z = \frac{dx_3}{dt}$$

(3)

a podobně okamžité zrychlení:

$$\ddot{\vec{a}} = \frac{d\vec{v}}{dt} = \frac{d^2\vec{r}}{dt^2}, \text{ ve složkách } a_i = \frac{dv_i}{dt} = \frac{d^2x_i}{dt^2}$$

Rozklad na tečné a normálové zrychlení:

$$\vec{r} = v \cdot \frac{\vec{r}}{|v|} = v \cdot \vec{\tau} \quad \text{tedy}$$

jedn. vektor tečny

$$\ddot{\vec{a}} = \frac{d\vec{v}}{dt} = \underbrace{\vec{\tau} \cdot \frac{dv}{dt}} + \underbrace{v \frac{d\vec{\tau}}{dt}}$$

tečné složka normálová $\leftarrow \vec{\tau} \frac{d\vec{\tau}}{dt} = 0$

úprava: parametr s : $\frac{d\vec{\tau}}{dt} = \underbrace{\frac{ds}{dt}} \cdot \underbrace{\frac{d\vec{\tau}}{ds}}$

$$v = \left| \lim \frac{\Delta \vec{r}}{\Delta t} \right| = \lim \frac{|\Delta \vec{r}|}{\Delta t}$$

a vzdáenosť dvoch blízkych bodov dráhy sa v limite rovná dĺžke oblouku ds

$\frac{d\vec{\tau}}{ds} = \frac{\vec{v}}{R}$
závisí jen
na tvaru
krivky
(ne na súbohosti)

$$\frac{d\vec{\tau}}{ds} = \frac{\vec{v}}{R}$$

polomer kružnosti
dráhy
(prvni ze tri Frenetovych norov)

v obecném prípade
je potrebné k definícii
oskulatívnej roviny,
normaly a polomeru
oskulatívnej kružnice

Záver

$$\ddot{\vec{a}} = \vec{\tau} \cdot \frac{dv}{dt} + \vec{\nu} \cdot \frac{v^2}{R}$$

složka tečné zrychlení normálová

Newtonovy zákony

1. Zákon setrvačnosti

Těleso setrvává v klidu nebo rovnoměrném přímočarém pohybu pokud není nuceno vnějšími silami svůj stav změnit.

2. Zákon síly

Síla \vec{F} působící na těleso je úměrná součinu jeho hmotnosti a zrychlení \vec{a} , které mu uděluje,

$$\vec{F} = m\vec{a}.$$

3. Zákon akce a reakce

Každá akce vyvolává stejnou reakci opačného směru, aneb vzájemná silová působení dvou těles jsou stejně velká a opačně orientovaná.

Newtonovy zákony - poznámky

- 1) Těleso \equiv hmotný bod ?
- 2) $\mathbb{I} \neq \mathbb{I}$ - inerciální vztažný systém - Galileov
- 3) hybnost $\vec{p} = m\vec{v}$ princip relativity
- formulace II. N.z. $\vec{F} = \frac{d\vec{p}}{dt}$
(platí i pro relativistické rychlosti,
kde se m s rychlostí mění!)
- 4) Zavedení hmotnosti a síly
- 5) Princip superpozice sil (obvykle mlíčky předpokládán)

Klasifikace pohybů

- Dle tvaru dráhy: přímocary
křivočary
- Dle velikosti rychlosti: rovnoměrný,
nerovnoměrný
- Dle velikosti tečného zrychlení: rovnoměrné zrychlený/zpomalený

Příklady pohybu

Principy:
rovnoměrný pohyb

$$x_1 = k_2 t + k_1$$

Pozor:

$x = v \cdot t$ - možnost

zájemný složky vektoru
(vektor v přímce ")

rovnoměrné zrychlený
(pozitivní) pohyb

$$v_1 = k_2$$

$$a_1 = 0$$

$$x_1 = k_3 t^2 + k_2 t + k_1$$

s jeho velikostí

$$v_1 = 2k_3 t + k_2$$

$$x = \frac{1}{2} at^2 + v_0 t$$

$$a_1 = 2k_3 \quad F_1 = 2m k_3$$

$$v = at$$

harmonický pohyb
po přímce

$$x_1 = A \cos(\omega t + \varphi)$$

kmitočet ω frekvence f

úhlová (kruková)

$$v_1 = -A\omega \sin(\omega t + \varphi)$$

frekvence $\omega = 2\pi f$

$$a_1 = -A\omega^2 \cos(\omega t + \varphi) = \text{doba kmitu } T = 1/f$$

$$= -\omega^2 x_1$$

fáze $\omega t + \varphi$

$$F_1 = -m \underbrace{\omega^2}_{k} x_1$$

(rovní se, je to úhel)

záporná konstanta k

x_1 - výdejna (elongace)

amplituda A

rovnoměrný pohyb

Křivokáře:

rovnoměrný kruhový

$$x_1 = R \cos(\omega t + \varphi) \quad x_2 = R \sin(\omega t + \varphi)$$

$$v_1 = -R\omega \sin(\omega t + \varphi) \quad v_2 = R\omega \cos(\omega t + \varphi)$$

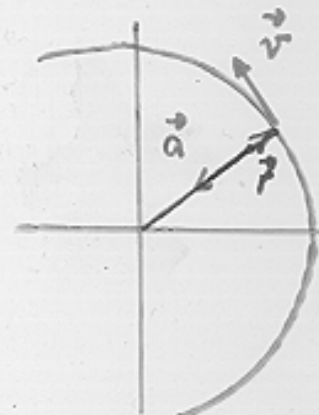
$$a_1 = -R\omega^2 \cos(\omega t + \varphi) \quad a_2 = -R\omega^2 \sin(\omega t + \varphi)$$

$$\text{Prům. } v = R|\omega| \quad \vec{v} = \vec{\omega} \times \vec{r} \quad \vec{a} = -\omega^2 \vec{r}$$

$$\vec{F} = -m\omega^2 \vec{r} \quad \vec{a}_2 = \vec{\omega} \times (\vec{\omega} \times \vec{r})$$

(dostředivé zrychlení)

(úhlové rychlosti ω se přizpůsobují
vektor ve směru osy otěžení)



nepravidelný pohyb
po kružnici

$$x_1 = R \cos \varphi(t) \quad x_2 = R \sin \varphi(t)$$

$$v_1 = -R \dot{\varphi} \sin \varphi(t) \quad v_2 = R \dot{\varphi} \cos \varphi(t)$$

$$v = |\vec{v}| = R |\dot{\varphi}|$$

(dráha může být)

pouze část kružnice)

úhlová rychlosť obecne $\omega = \frac{d\varphi}{dt} = \dot{\varphi}$

$$a_1 = -R \dot{\varphi} \sin \varphi(t) - R(\dot{\varphi})^2 \cos \varphi(t)$$

$$a_2 = R \dot{\varphi} \cos \varphi(t) - R(\dot{\varphi})^2 \sin \varphi(t)$$

tečné zrychlení $a_t = R\ddot{\phi}$, normálne zrychlení $a_n = R(\dot{\phi})^2$
 (prvni člen) — druhý člen v rovniciach
 pre a_1, a_2)

síkmy vrh

$$x_1 = k_6 t + k_5 \quad x_2 = k_4 t + k_3 \quad x_3 = -\frac{g}{2}t^2 + k_2 t + k_1$$

$$v_1 = k_6 \quad v_2 = k_4 \quad v_3 = -gt + k_2$$

$$a_1 = 0 \quad a_2 = 0 \quad a_3 = -g$$

$$\vec{F} = -mg \vec{e}_3$$

Pohybová rovnice $m \cdot \vec{a} = \vec{F}$ podľa pôsobiacich sil na telo
 $\vec{F} = \vec{F}(\vec{r})$, príp. $\vec{F} = \vec{F}(r, \vec{r}, t)$

?

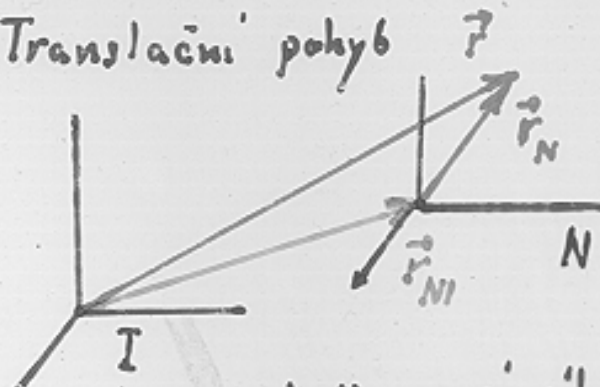
→ param. rovnica pohybu

řešení diferenciální (ch)
 rovnice (e)

Zdánlivé sily × sily pravé

Neinerciální systém - řešení
 1. přechod do inert. a nezpět
 2. zdánlivé sily započít

a) Translační pohyb



$$\vec{r} = \vec{r}_{N1} + \vec{r}_N$$

$$\vec{a} = \vec{a}_{N1} + \vec{a}_N$$

↑ prychl. vůči
neinerc. syst.
zrychlení neinerc.
syst. vůči inert.

je-li pravá síla $\vec{F}_p = m \cdot \vec{a}$,

$$\text{je } m\vec{a}_N = \vec{F}_p - m\vec{a}_{N1}$$

$$\text{Zdánlivá síla } \underline{\vec{F}_z = -m\vec{a}_{N1}}$$

(výtaž,

Země v grav. poli

Slnce $\sim 0.5 \times 10^{-3}$ g

b) Rotační pohyb

$$d\vec{A} = d_R \vec{A} + d_N \vec{A}$$

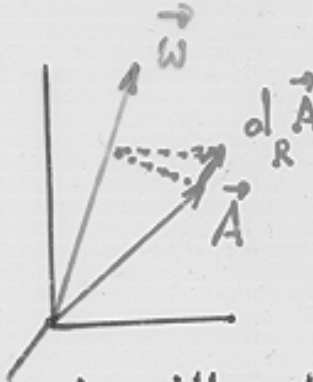
změna vůči neinerciál. systému

změna způsobená rotací vůči inert. systému

$$\frac{d\vec{A}}{dt} = \frac{d_N \vec{A}}{dt} + \vec{\omega} \times \vec{A} \quad \text{pro libov. vektor } \vec{A}$$

$$d_R \vec{A} = (\vec{\omega} \times \vec{A}) \cdot dt$$

$$\omega \cdot dt = d\phi$$



$$\vec{A} = \vec{r}: \quad \frac{d\vec{r}}{dt} = \frac{d_N \vec{r}}{dt} + \vec{\omega} \times \vec{r}, \text{ tedy } \vec{v} = \vec{v}_N + \vec{\omega} \times \vec{r}$$

$$\vec{A} = \vec{r}: \quad \frac{d\vec{v}}{dt} = \frac{d_N \vec{v}_N}{dt} + \frac{d}{dt} (\vec{\omega} \times \vec{r}) + \vec{\omega} \times \vec{v}_N + \vec{\omega} \times (\vec{\omega} \times \vec{r})$$

$$\vec{a} = \vec{a}_N + \frac{d_N \vec{\omega}}{dt} \times \vec{r} + 2\vec{\omega} \times \vec{v}_N + \vec{\omega} \times (\vec{\omega} \times \vec{r})$$

(ale: $\vec{A} = \vec{\omega} \Rightarrow \frac{d_N \vec{\omega}}{dt} = \frac{d\vec{\omega}}{dt}$, tedy následuje)

$$\vec{F}_z = m\vec{a}_N - \vec{F}_P = m\vec{a}_N - m\vec{a} \text{ vyjde}$$

$$\vec{F}_z = -m\vec{\omega} \times (\vec{\omega} \times \vec{r}) - 2m\vec{\omega} \times \vec{v}_N - \frac{d\vec{\omega}}{dt} \times \vec{r}$$

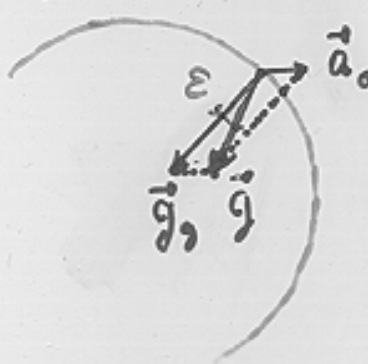
$\underbrace{\quad}_{\text{Sila odstředivá}}$ $\underbrace{\quad}_{\text{Sila Coriolisova}}$

\downarrow = 0 při konstantní
úhlové rychlosti

$$\vec{F}_0 = -m\vec{\omega} \times (\vec{\omega} \times \vec{r}) = \vec{F}_c = -2m\vec{\omega} \times \vec{v}_N$$

$$= m\omega^2 \vec{r} \perp \leftarrow \text{složka vektoru } \perp k \vec{\omega}$$

Důsledky: a) příspěvek k těkovému zrychlení:



\vec{g}_0 - gravit. zrychlení

\vec{a}_0 - odstředivé zrychlení ($= \frac{\vec{F}_0}{m}$,
výsledné těkové zrychlení $a_0 = \omega^2 R_z \cos \psi$)

$$g = g_0 - \underbrace{\omega^2 R_z \cos^2 \psi}$$

$$3,46\% \approx g_0$$

+ odchylna mezi geografickou a geocentrickou šírkou
(zeměpisnou zeměstřední) ϵ

b) zploštini Země $\frac{a-b}{a} = \frac{1}{297}$, $a = 6378 \text{ km}$
normál. zrychlení

$$g = 938.030 \left(1 + 0.005302 \sin^2 \psi - 0.000007 \sin^2 2\psi \right) - 0.0003086 H$$

\uparrow cm/s^2 (Helmert) \times skutečné zrychlení - anomalie třetí m

c) Foucaultovo kyvadlo (1851)

d) Koleje, pasáty, cyklony (severní polokoule: $\vec{\omega}_0$ \vec{v} \vec{F}_c)

Odrozené mechanické vztahy

(Historický spor: čím je určen účinek sily ve polohu?

Descartes: hybnost mr

Leibniz "čin sily" (vis viva) mr^2

R.D. 1596-1650
GW.L. 1646-1716
I.Neut. 1643-1727
PNPM 1682

integraci ("dle času")

$$\vec{F} = \frac{d}{dt} \vec{p}$$

$$\vec{p}_2 - \vec{p}_1 = \int_{t_1}^{t_2} \vec{F} dt \quad \text{"účinek sily 'dle času'"}$$

impuls sily

podobně

$$\vec{b}_2 - \vec{b}_1 = \int_{t_1}^{t_2} \vec{M} dt = \vec{L} - \underline{\text{impuls momentu díly}}$$

během čas. intervalu (t_1, t_2)

(důležité pro kritiku trojici sil, ktež zavádí
průměrnou sílu $\vec{F}_{\text{pr}} = \frac{1}{\Delta t} \int \vec{F} dt$)

integraci ("dle dráhy")

$$\int_{\vec{r}(t_1)}^{\vec{r}(t_2)} \vec{F} d\vec{r} = \int_{t_1}^{t_2} \vec{F} \frac{d\vec{r}}{dt} dt = \int_{t_1}^{t_2} m \underbrace{\frac{d\vec{v}}{dt} \cdot \vec{v}}_{\frac{d}{dt}(\frac{1}{2} \vec{v} \vec{v})} dt = \left[\frac{m \vec{v}^2}{2} \right]_{t_1}^{t_2}$$

ještě jde o definici krivkového integrálu
souvislost: věta o substituci

$$A_{21} = \int_{\vec{r}(t_1)}^{\vec{r}(t_2)} \vec{F} d\vec{r} \quad \begin{array}{l} \text{- práce vykonaná silou } \vec{F} \text{ po dráze} \\ \text{z bodu } \vec{r}(t_1) \text{ do bodu } \vec{r}(t_2) \end{array} \quad \int \text{joule}$$

(srov. kláš. definice?)

$$P = \vec{F} \cdot \vec{v} \quad \begin{array}{l} \text{- výkon, t.j. práce vykonané za} \\ \text{jednotku času } (= \frac{dA}{dt}) \end{array} \quad W \text{ watt}$$

$$E_k = \frac{m}{2} \vec{v}^2 \quad \text{- kinetická energie}$$

tedy:

$$E_{k2} - E_{k1} = A_{21}$$

pro $\vec{F} = \vec{F}(t, \vec{r}, \vec{v})$ [↑] závisí na konkrétní trajektorii

Vektorové pole

- případ silového pole expl. nezáv. na čase

$$\vec{F} = \vec{F}(\vec{r}) \quad \text{pak } A_{21} \text{ závisí jen na dráze, pro stejnou,} \\ \text{1 rozměrný případ } F_3 = F_3(x_3) \quad \begin{array}{l} \text{(není generativní} \\ \text{a je opět v místoru a dráhu} \\ \text{závislosti)} \end{array} \quad \boxed{A_{21} = -A_{21}}$$

$$\int F_3 dx_3 = -E_p(x_3) \quad F_3 = -\frac{dE_p}{dx_3}$$

primit. funk. F_3

pak $A_{21} = -(E_{p2} - E_{p1})$ potenciální energie
(třeba $E_p = mgh = -mgx_3$)

pak platí

zákon zachování mechanické energie

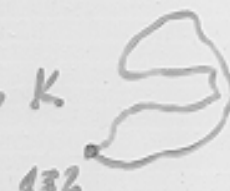
$$E_{k1} + E_{p1} = E_{k2} + E_{p2} = \text{konst}$$

3 rozměrný případ: nutné a dostatečné podmínky, aby se dala
zavést pot. energie $E_p(\vec{r})$, t.e., aby bylo
silové pole konzervativní - ekvivalent. podmínky

A) $\int_{K_1}^{\vec{F}} d\vec{r} = \int_{K_2}^{\vec{F}} d\vec{r}$ pro libovolné dvě křivky K_1, K_2 spojující
libovolné dva body 1, 2



B) $\oint_{K} \vec{F} d\vec{r} = 0$ pro libovolnou uzavřenou křivku K
(cirkulace vektoru \vec{F})



C) $\text{rot } \vec{F} = (\partial_2 F_3 - \partial_3 F_2, \partial_3 F_1 - \partial_1 F_3, \partial_1 F_2 - \partial_2 F_1) = 0$ v celé
výslovně oblasti
($\nabla \times \vec{F} = 0$, ∇ operátor se sloučení ($\partial_x, \partial_y, \partial_z$), t.j. $\left(\frac{\partial}{\partial x_1}, \frac{\partial}{\partial x_2}, \frac{\partial}{\partial x_3} \right)$)

pak lze zavést $E_p(\vec{r}) = - \int_{\vec{r}_r}^{\vec{r}} \vec{F} d\vec{r} + \text{konst}$

a platí $\vec{F} = -\text{grad } E_p = -\nabla E_p + ZZME \uparrow \uparrow$

$$\text{Intenzita } \vec{E} = \frac{\vec{F}}{m}, \text{ potenciál } V = \frac{E_p}{m} \quad E = -\text{grad } V \quad 12$$

Příklady:

homogenní gravitační pole $\vec{F} = (0, 0, -mg)$ $E = (0, 0, -g)$

$$E_p = mg h = mg x_3 \quad V = gh = gx_3$$

(konstante rovna 0 pro $x_3 = 0$)

centrální gravitační silový pole

Newtonův gravitační zákon (zákon všeobecné gravitace)

$$\vec{F}_2 = -\frac{G m_1 m_2}{|\vec{r}_2 - \vec{r}_1|^3} (\vec{r}_2 - \vec{r}_1)$$

$$G = (6,67259 \pm 0,00085) \cdot 10^{-11} \text{ N} \cdot \text{m}^2 \cdot \text{kg}^{-2}$$

fixujeme-li $m_1 \approx m_c (> m_2)$ v počtu soust. syst. ($\vec{r}_1 = \vec{0}$),
pádlo na $m_2 = m$ silový pole

$$\begin{aligned} F(\vec{r}) &= -\frac{G m_c m}{r^3} \vec{r} && \rightarrow \text{potenc. energie } E_2 = \frac{G m_c m}{r} \\ E(\vec{r}) &= -\frac{G m_c m}{r^2} \vec{r} && V = -\frac{G m_c m}{r} \end{aligned}$$

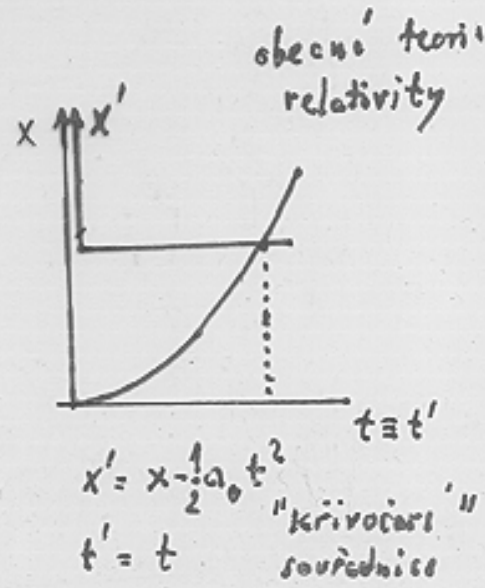
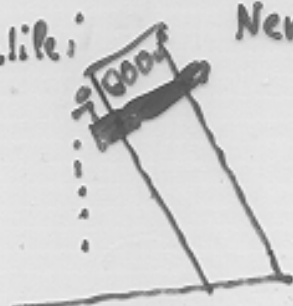
Poznámky

Gravitační pole koule (konstanta 0 pro $r \rightarrow +\infty$)

Měření G : Cavendish, Göttsch, Richard Krieger-Menzel

Poznámka o tahu a setrvací knutosti m

(Galilei: Newton: Göttsch)

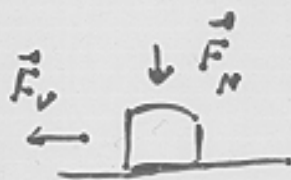


Dissipativní sily ("pole" ?) $E_{k2} + E_{p2} + Q = E_{k1} + E_{p1}$

odpor prostředí (macroskopický systém) - dán třením

tření vnitřní (viskosita, anelasticita, viskoelasticita)

a) snykové



tření ze pohybu
- dynamické

(kinetické)

$$\vec{F}_t = -\mu_s \vec{F}_N \hat{e}_v$$

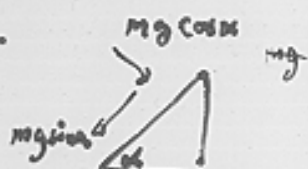
$$\hat{e}_v = \frac{\vec{F}_v}{F_v}$$

suché (Coulombovo) příliš nerovná se rychlosťi

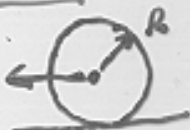
pro namazání plochy či plastické hmoty to moc nepřich

kritická hodnota průměru k uvedení do pohybu.

kritické tření $\tan \alpha = \mu_s / \mu_0$



b) rotativní



$$F_t = \frac{m_r F_N}{R}$$

m_r menší délka

$$m g \sin \alpha \geq \mu_s \cdot m g \cos \alpha$$

a) i b) - pohyb: konstantní síla,
- rovnováha způsobená
- či zrychlení (při či klesání
po svahu horizontální)

Pohyb v tekutině - odpor vzdachu

malé rychlosti $\vec{F}_o = -kv$ (Stokes)

$$\vec{F}_o = -6\pi\eta R \vec{v}$$

pohyb:
integrace
dif. rovnice

větší rychlosti - kvadratická závislost

$$\text{Newtonův vzorec } \vec{F}_o = -\frac{\vec{v}}{r} \cdot \frac{C}{2} S \rho_v v^2$$

($C \sim 0,4$ až 1)

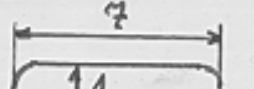
$$\text{odvození } F \cdot v = S \cdot v \cdot \rho_v \cdot \frac{1}{2} v^2 \Rightarrow$$

mezní rychlosť pádu

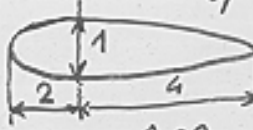
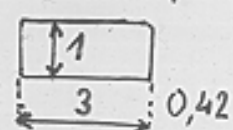
závislost

$$C = 2k \text{ závisí na tvaru}$$

hodnoty k :



$$v_m = \sqrt{\frac{2mg}{C \rho_v S}}$$



$$\ln v_i = -\frac{k}{m} t + C$$

$$v_i = v_{i0} e^{-\frac{k}{m} t} = v_{i0} e^{-\frac{kt}{m}}$$



+ působení gravitace $mg = kv_i$

VÝZNAČNÉ DRUHY POHYBŮ HM. BODU

15

Gravitační pole: homogenní -

Síkmy vrh $x_1 = v_{01} t$

$$x_2 = 0$$

$$x_3 = -\frac{gt^2}{2} + v_{03} t$$

$$\text{síla } \vec{F} = (0, 0, -mg)$$

Pohyb s rovnovážnou silou - použití zachování mechan. energie

$$\frac{m}{2} v_i^2 + mgh = \frac{m}{2} v_0^2 \quad \text{pro } v_0 = 0 \quad v_i = \sqrt{2gh}$$

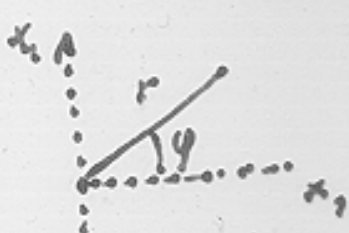


Keplerové úlohy:

$$\vec{F} = -GM_s m \frac{\vec{r}}{r^3} \quad E_p = -\overbrace{GM_s m}^K \cdot \frac{1}{r}$$

$\vec{M} = \vec{r} \times \vec{F} = 0 \Rightarrow$ moment hybnosti $\vec{b} = \vec{r} \times m\vec{v} = \vec{b}_0 \dots \text{konst.}$

\vec{r} i \vec{v} zůstávají v jedné rovině - polární souřadnice



$$r = \sqrt{x_1^2 + x_2^2} \quad x_1 = r \cos \varphi$$

$$\varphi = \arctg \frac{x_2}{x_1} \quad x_2 = r \sin \varphi$$

Velikost momentu hybnosti $b_0 = m_r r^2 \dot{\varphi}$

$$\Rightarrow \text{plošná rychlosť } \dot{r}^2 \dot{\varphi} = \frac{b_0}{2m} \text{ je konst.}$$

- II K. z. (pro centrální sílu platí obecně)

Integrace pohybu rovnic - integral energie

$$\frac{m}{2} \left[\dot{r}^2 + \underbrace{(r^2 \dot{\varphi})^2}_{\frac{b_0^2}{m^2 r^2}} \right] - \frac{\alpha}{r} = E_0$$

$$\text{tedy } \dot{r} = \pm \sqrt{\frac{2E_0}{m} + \frac{2\alpha}{mr} - \frac{b_0^2}{m^2 r^2}}$$

pro určení dráhy

$$\frac{dr}{d\varphi} = \frac{\dot{r}}{\dot{\varphi}} = \pm \frac{mr^2}{b_0} \sqrt{\frac{2E_0}{m} + \frac{2\alpha}{mr} - \frac{b_0^2}{m^2 r^2}}$$

obyč. dif. rovnice 1. řádu

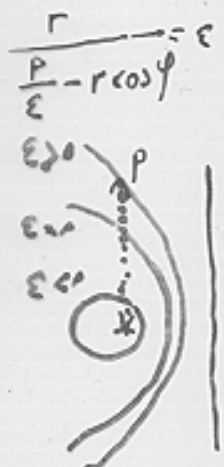
$$\frac{dy}{dx} = f(y)g(x)$$

~ separace proměnných

$$\int \frac{dy}{f(y)} = \int g(x)dx + C$$

$$\Rightarrow \varphi = \int \frac{\pm dr/r^2}{\sqrt{\frac{2E_0m}{b_0^2} + \frac{2\alpha m}{b_0^2 r} - \frac{1}{r^2}}} = \frac{\arccos}{\arcsin} \frac{\frac{1}{r} - \frac{\alpha m}{b_0^2}}{\sqrt{\frac{2mE_0}{b_0^2} + \left(\frac{\alpha m}{b_0^2}\right)^2}} + C$$

$$\frac{1}{r} = \frac{\alpha m}{b_0^2} + \sqrt{\frac{2mE_0}{b_0^2} + \left(\frac{\alpha m}{b_0^2}\right)^2} \cos(\varphi - C)$$



$$r = \frac{P}{1 + \varepsilon \cos \varphi}$$

$$\frac{1}{r} = \frac{1}{P} + \frac{\varepsilon}{P} \cos \varphi$$

$$P = \frac{b_0^2}{\alpha m}$$

$$\varepsilon = \sqrt{1 + \frac{2E_0 b_0^2}{\alpha^2 m}}$$

$\Rightarrow 1. K. 2.$

$$\varepsilon = \sqrt{1 - \frac{b_0^2}{a^2}} \quad P = \frac{b_0^2}{a} \dots$$

$$\pi_{ab} = \frac{b_0}{2m} \cdot T$$

$$\Rightarrow a = -\frac{\alpha}{2E_0}$$

$$\pi_{ab}^2 b^2 = \frac{\alpha m P}{4m^2} \cdot T^2$$

$$b = \frac{b_0}{\sqrt{2|E_0|m}}$$

$$\frac{4\pi^2 m}{\alpha} a^3 = T^2$$

I, II kosmické rychlosti Keplerov problem $t \rightarrow Y$
 problém dvou těles - problém tří těles
 parohy 1. řádu (xvysílení řádu)
 parohy periodické × sekulární

Mimoúčelové terminologie

$y = f(x)$ explicitní ('-ě zadána') funkce

$F(y, x) = 0$ implicitní

diff. rovnice - třeba 2. řádu $y'' = f(x, y, y')$

slouží integrál určení (v implicitním tvare) $F(x, y) = 0$

první integrál = vztah $F(x, y, y') = C$ s příslušnou konstantou
třeba integrál energie

Keplerův problém $t \rightarrow$ "první anomalie" φ

(nepovinné!!!)
jen koho by to zajímalo!

$$r^2 \dot{\varphi} = \frac{b_0}{m}$$

$$\int \frac{dy}{(1 + \epsilon \cos \varphi)^2} = \frac{2\pi}{T} \cdot t \cdot \frac{ab}{p^2}$$

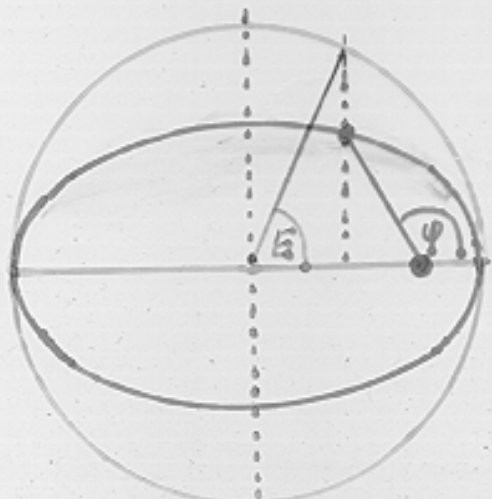
$$U = \sqrt{\frac{1-\epsilon}{1+\epsilon}} \operatorname{tg} \frac{\varphi}{2} :$$

$$\operatorname{tg} \frac{E}{2} = U \quad 2 \arctg U = \frac{\epsilon U}{1+U^2} = \underbrace{\frac{2\pi}{T} \cdot t}_{M} \quad \begin{matrix} \text{"střední anomalie"} \\ \text{of "první anomalie"} \end{matrix}$$

E - "excentrická anomalie"

$E - \epsilon \sin E = M$ - Keplerova rovnice (čejit pro E !)

$$\operatorname{tg} \frac{\varphi}{2} = \sqrt{\frac{1+\epsilon}{1-\epsilon}} \operatorname{tg} \frac{E}{2} \quad r = a(1 - \epsilon \cos E)$$



$\varphi - M \approx$ středové rovnice
spolu,
(česové rovnice)

Harmonické kmity - harmonický oscilátor - bez tlumení

$$m\ddot{x} = -kx,$$

$$\ddot{y} + a(x)\dot{y} + a_0(x)y = 0 \text{ homog.}$$

$$= f(x) \text{ nehomog.}$$

lineární diferenciální rovnice (2. řádu)

Vlastnosti:

1) homogenní: lin. kombinace několika řešení je opět řešením, 2. part. řešení y_1, y_2
→ obecné řešení $C_1 y_1 + C_2 y_2$

2) nehomogenní: obecné řešení:
partikulární řešení nehomog.
+ lin. kombinace dané part. řešení
příslušné homog. rovnice

3) a_0, a_1 konstanty \Rightarrow hledání řešení
 $x = \text{trans}(c)e^{kt}$ (lin. dif. rov. s Konstantními koeficienty)

$$m\omega^2 e^{wt} = -k e^{wt} \Rightarrow \text{charakter rovnice } m\omega^2 = -k.$$

řešení $\omega = \pm ik/m = \pm i\omega$

$$x_1 = C_1 e^{i\omega t} + C_2 e^{-i\omega t}$$

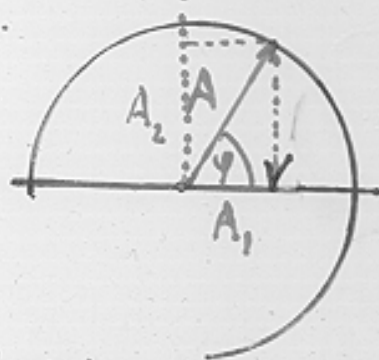
$\omega = \sqrt{\frac{k}{m}}$

$$(C_1 + C_2) \cos \omega t + (C_1 - C_2)i \sin \omega t = A_1 \cos \omega t - A_2 \sin \omega t$$

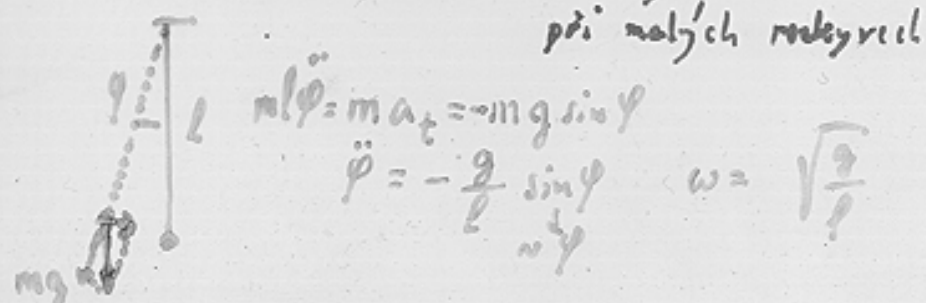
real imaginář $A_1 = A \cos \varphi \quad A_2 = A \sin \varphi$

$$x_1 = A \cos(\omega t + \varphi) = \text{Re}(A \cdot e^{i(\omega t + \varphi)}) = \text{Re}(A^* e^{i\omega t})$$

kde $A^* = A e^{i\varphi} = A(\cos \varphi + i \sin \varphi) = A_1 + i A_2$ je komplexe amplituda



Energie
Fázový prostor



Vložka: skládání kmitů

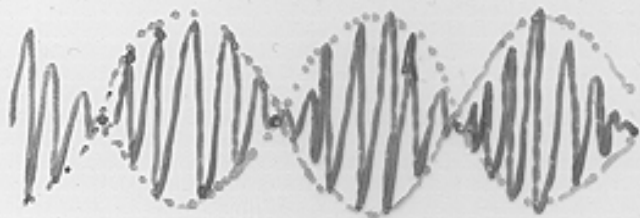
1) Stejné frekvence, stejný směr: $C^2 = A^2 + B^2$ skladují se
 $C^2 = A^2 + B^2 + 2AB \cos \psi$ koef. amplitud
 fáz. posuv

$$\text{mělo } C_1 = A_1 + B_1, \quad C_2 = A_2 + B_2$$

2) Stejný směr, mělo se lišit frekvence

$$\cos \alpha + \cos \beta \approx 2 \cos \frac{\alpha + \beta}{2} \cos \frac{\alpha - \beta}{2}$$

$$A \cos \omega_1 t + B \cos \omega_2 t = A \cos \frac{\omega_1 + \omega_2}{2} t + \cos \frac{\omega_1 - \omega_2}{2} t$$



různy frekv $\omega_1 - \omega_2$
 (ale pozor: závaz fáz.)



amplitudové
nadvládce

3) Kolmí směry - stejný frekv $x_1 = A_1 \cos \omega t$

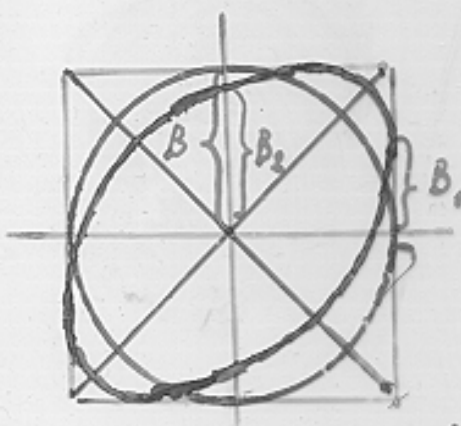
$$x_2 = B_1 \cos(\omega t + \varphi)$$

$$= B_1 \cos \omega t + B_2 \sin \omega t$$

$\cos \omega t / \sin \omega t$

$$B_1 = B \cos \varphi \quad B_2 = B \sin \varphi$$

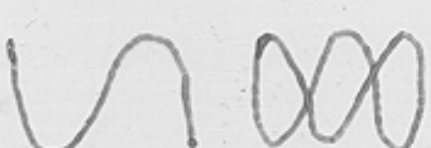
$$\cos \varphi = \frac{B_1}{B} \quad \sin \varphi = \frac{B_2}{B}$$



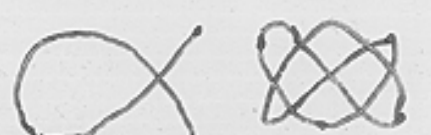
frekvence 1:2

Lissajous

1:3



2:3



Tlumenci knity

$$m\ddot{x}_1 = -kx_1 - h\dot{x}_1$$

$$\ddot{x}_1 + \frac{h}{m}\dot{x}_1 + \frac{k}{m}x_1 = 0 \quad x_1 = e^{\alpha t}$$

$$\alpha^2 + \frac{h}{m}\alpha + \frac{k}{m} = 0 \quad \text{charakt. rovnice}$$

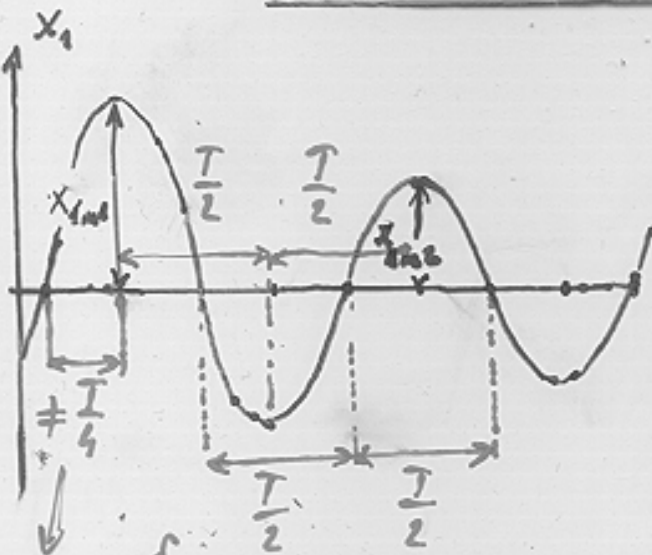
$$\alpha_{1,2} = -\frac{h}{2m} \pm \sqrt{\left(\frac{h}{2m}\right)^2 - \frac{k}{m}}$$

A) model Huvení: Diskr < 0 tlumení harmonický knyt
 $\alpha_{1,2} = -\delta \pm i\omega$ kde $\delta = \frac{h}{2m}$

$$x_1(t) = A e^{-\delta t} \cos(\omega t + \varphi)$$

$$\omega = \sqrt{\frac{k}{m} - \left(\frac{h}{2m}\right)^2}$$

$$= \sqrt{\omega_0^2 - \delta^2}$$



$$(dlobení) \quad (\omega_0 = \sqrt{\frac{k}{m}}) \\ \text{frekvence tlum. kny. } \omega = \frac{2\pi}{T} \\ \text{konstante tlumení } \delta = \frac{h}{2m} \quad \text{doba knytu} \\ \text{útlum } \beta = \rho + \delta T = \frac{x_1m1}{x_1m2} \\ \text{Logaritm. dekrement útlumu } \bar{\delta} = \ln \beta = \delta T \\ (\text{relativ. doba } \tau = \frac{1}{\bar{\delta}})$$

$$T \left(\frac{1}{4} - \frac{\arctg \delta}{2\pi} \right) \text{ maxima: } -\delta \cos(\omega t + \varphi) - \omega \sin(\omega t + \varphi)$$

$$\varphi_1 = -\arctg \frac{\delta}{\omega}$$

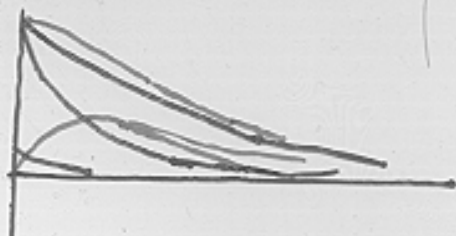
$$\text{Poč. podniky: } x_{10} = x_{10}, v_{10} = 0 : x_1 = x_{10} e^{-\delta t} \sqrt{1 + \frac{\delta^2}{\omega^2}} \cos(\omega t - \arctg \frac{\delta}{\omega})$$

$$x_{10} = 0, v_{10} = v_{10} : x_1 = \frac{v_{10}}{\omega} e^{-\delta t} \sin \omega t$$

$$\text{Ztrátý energie: energie } E_n = \frac{1}{2} m v_{\max}^2 \text{ za periodu poklesne o } (1 - e^{-2\delta T}) E_m \\ = 2T\delta E_m$$

aperiodický pohyb

B) velké tlumení: Diskr>0 $\alpha_{1,2} = -\delta \pm D$ ($D \in \mathbb{R}_{+}$)
 řešení $C_1 e^{(-\delta+D)t} + C_2 e^{(-\delta-D)t}$



max. jediný přechod nulovou polohou

$$(řešení C_1 e^{\delta t} + C_2 e^{-\delta t} = 0)$$

$$\frac{C_1}{C_2} = -e^{-2Dt}$$

$$\text{poč. podm} \quad x_{10} = x_{30} \quad v_{10} = 0 \quad x_1 = \frac{x_{10}}{D} e^{-\delta t} [\delta \sin Dt + D \cos Dt] \\ (\cos y = \frac{e^y + e^{-y}}{2} \quad \sin y = \frac{e^y - e^{-y}}{2})$$

$$x_{40} = 0 \quad v_{40} = v_{10} \quad x_1 = \frac{v_{40}}{D} e^{-\delta t} \sin Dt$$

C) menší tlumení: menší aperiodický pohyb

$$\text{Diskr.} = 0 \quad \text{řešení: } e^{-\delta t} \quad t e^{-\delta t} \quad (\lim_{t \rightarrow \infty} \frac{e^{\alpha_2 t} - e^{\alpha_1 t}}{\alpha_2 - \alpha_1})$$

$$\text{obecně: } x_1 = e^{-\delta t} (C_1 + C_2 t)$$

$$\text{poč. podm} \quad x_{10} = x_{30} \quad v_{10} = 0 \quad x_1 = x_{10} e^{-\delta t} (1 + \delta t)$$

$$x_{10} = 0 \quad v_{10} = v_{30} \quad x_1 = v_{10} t e^{-\delta t}$$

grafy níz ↑ opět mst. 1 přechod nulovu polohu

Aplikace: ustálivý tok, galvanometr
 balistický kyvadlo, bal. galv. - záření impulu

Využití kmity

$$m \ddot{x}_1 + h \dot{x}_1 + k x_1 = \underbrace{F_0 \cos \omega t}_{\text{Budoucí síla F}}$$

$$x_1 = \underbrace{C_1 e^{-\alpha_1 t} + C_2 e^{-\alpha_2 t}}_{\text{obecní řešení}} + \underbrace{X \cos(\omega t + \varphi)}_{\text{partikul. řešení nehomog. p.}}$$

homog. souřadnice
 přechodový stav

Budoucí síla F

nehomog. p.
 ustálující stav

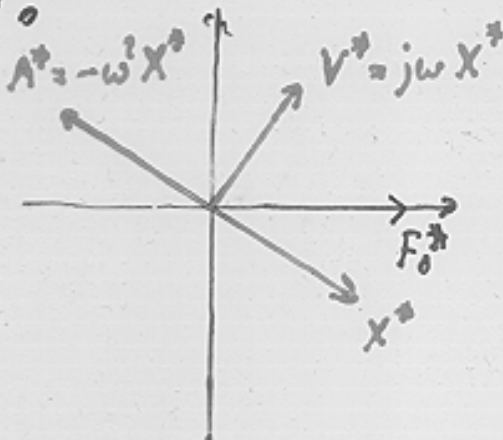
$$\begin{aligned} x_1 &= \operatorname{Re}(X^* e^{i\omega t}) & F &= \operatorname{Re}(F^* e^{i\omega t}) \\ \dot{x}_1 &= \operatorname{Re}(i\omega X^* e^{i\omega t}) = v & \downarrow & \text{komplekni} \\ \ddot{x}_1 &= \operatorname{Re}(-\omega^2 X^* e^{i\omega t}) & & \text{amplitudy} \\ & \text{nehomog rovnici splnuje, je-li} & & (j = "jot") \end{aligned}$$

$$-m\omega^2 X^* + j\omega h X^* + kX^* = F_0^*$$

$$X^* = \frac{F_0}{-m\omega^2 + j\omega h + k}$$

$$= \frac{F_0/m}{\omega_0^2 - \omega^2 + j\omega \cdot 2\delta}$$

$$\text{amplitude } X = \frac{F_0/m}{\sqrt{(\omega_0^2 - \omega^2)^2 + 4\delta^2\omega^2}}$$



$$\text{faz } \varphi = -\arctg \frac{2\delta\omega}{\omega_0^2 - \omega^2} \\ ! \text{ p\u00e9v. hodnota!}$$

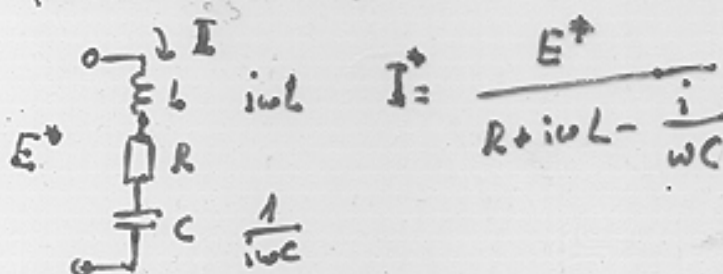
Rezonan\v{s}e v\u00edchylky - viz skripta
rychlosti

$$V^* = i\omega X^* = \frac{F_0}{h + j\omega n - \frac{ik}{\omega}} = \frac{F_0/h}{1 + jQ\left(\frac{\omega}{\omega_0} - \frac{\omega_0}{\omega}\right)} = \frac{F_0/h}{1 + 2jQx}$$

$$Q = \frac{\omega_0 m}{h} = \frac{\omega_0}{2\delta} \quad \omega_0 = \sqrt{\frac{k}{m}} \quad x = \frac{\omega - \omega_0}{\omega_0}$$

relat.
rozlozeni
($x = \ln \frac{\omega}{\omega_0}$)

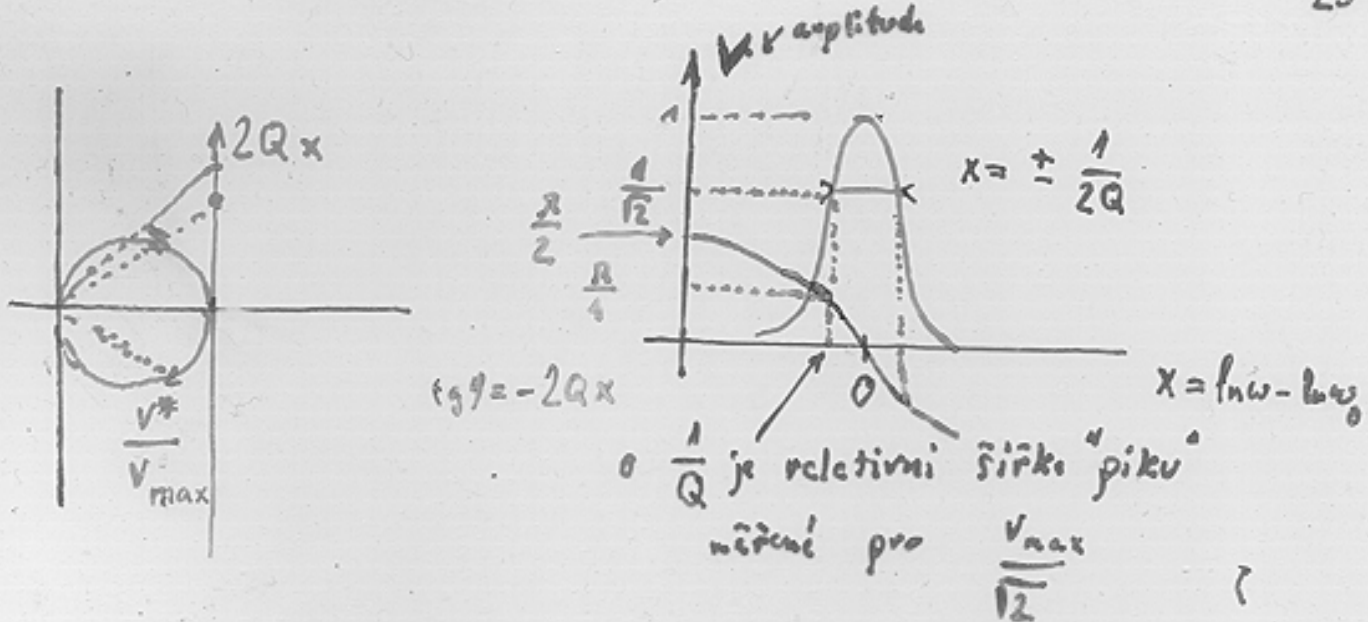
(elektrick\u00e1 analogie)



$$I^* = \frac{E^*}{R + j\omega L - \frac{j}{\omega C}}$$

$$\begin{aligned} E &\leftrightarrow F_0 \\ R &\leftrightarrow h \\ L &\leftrightarrow m \\ C &\leftrightarrow \frac{1}{k} \end{aligned}$$

$$\begin{aligned} I &\leftrightarrow v \\ Z &\leftrightarrow Z_m \text{ (mech. imped.)} \\ G &\leftrightarrow G_m \quad \frac{F_0}{V} \text{ admitt} \end{aligned}$$



další interpreta Q

střední výkon ztracený
v oscilátoru

$$P = \int_0^T F(t) v(t) dt$$

$$F_0 \cos \omega t \cdot \operatorname{Re}(v^*) \cos \omega t - \operatorname{Im}(v^*) \sin \omega t$$

$$P = \frac{1}{2} F_0 \cdot \operatorname{Re}(v^*) = \frac{1}{2} F_0 V \cdot \frac{\cos \Psi}{\text{amplituda zdaleka}}$$

$$\text{takže } P = \int h v(t) \cdot v(t) dt = \frac{1}{2} h V^2$$

- tedy $\frac{1}{Q}$ je čísloen' relativní šířka "piku"
výkonu pro pekles n. $\frac{1}{2}$ (FWHM)

- (činitel působení "setravné sile" $\frac{m \omega_0 V}{h V}$
"bradivé sile")

$$\text{Energii knitů } E_m = \frac{1}{2} m V^2$$

$$\text{ztrátě energie za periodu } E_2 = T \cdot P = \frac{2\pi}{\omega} \cdot \frac{1}{2} h V^2 = \frac{2\pi}{Q} \cdot E_m$$

$$\text{tedy při rezonanci } \frac{E_m}{E_2} = \frac{Q}{2\pi} \quad \left(= \frac{1}{2T\delta} \right)$$

Vázané knity

$$m \ddot{x}_1 = -kx_1 + k_p(x_0 - x_1)$$

$$m \ddot{x}_2 = -kx_2 - k_p(x_2 - x_1)$$

$$m(\ddot{x}_1 + \ddot{x}_2) = -k(x_1 + x_2) \quad x_1 + x_2 = A_1 \cos(\omega_0 t + \alpha_0)$$

$$m(\ddot{x}_2 - \ddot{x}_1) = -(k + 2k_p)(x_2 - x_1)$$

$$x_2 - x_1 = A_2 \cos(\omega_1 t + \alpha_1)$$

$$x_1 = \frac{A_1}{2} \cos(\omega_0 t + \alpha_0) - \frac{A_2}{2} \cos(\omega_1 t + \alpha_1) \quad \omega_0 = \sqrt{\frac{k}{m}}$$

x_2

+

$$\omega_1 = \sqrt{\frac{k+2k_p}{m}}$$

SOUSTAVA HMOTNÝCH BODŮ A TUHÉ TĚLESO

počet stupňů volnosti

Soustava N hmotných bodů

veliček

$3N$

$m_i, \vec{r}_i(t) \quad i=1, \dots, N$

s V rozborjní podmínkou

$3N - V$

Tuhé soustava \equiv tuhé těleso

6

(3 body se třemi podmínkami)

Kinematika tuhého tělesa ("tuhé soustavy")

pohyb translacií + otáčivý (rotace)

(posuvný,
povrchní)

rotace kolem pevné osy

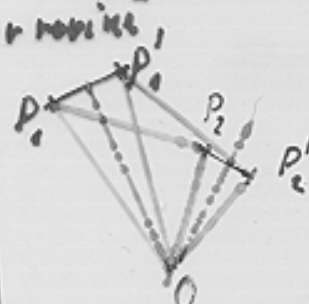
$$\vec{v} = \vec{\omega} \times \vec{r}$$

$$\vec{v} = \vec{V}(t) + \vec{\omega}(t) \times \vec{r}$$

okamžitá
úhlová
rychlosť

kolem pevného bodu

koncové otocení:

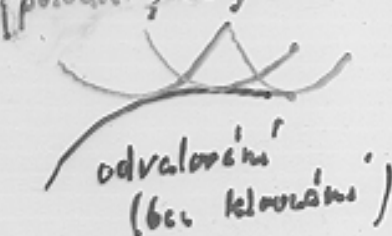


kolem bodu:
nakulovitý plán

pro $\Delta t \rightarrow 0$

okamžitá osc
otáčivé

(polohy
herpolohy)



odvážování
(bez kroužku)

$$(\vec{r}_i = \vec{a} + \vec{r}' - \text{stejné zhl.})$$

$$\vec{V}' = \vec{V} + \vec{\omega} \times \vec{a}$$

$$\vec{v} = \vec{V}' + \vec{\omega} \times \vec{r}'$$

ne vobtí rot. bodu \vec{V}' vzniká
 $\vec{\omega}$ mimož. v.

Pohybové rovnice

$$\frac{d}{dt} \vec{r}_i = \frac{d}{dt} (\vec{r}_i + \vec{r}_i^E) = \vec{F}_i^E + \sum_k F_{ik}$$

sih mijoši

pružinu - od jednoho bodu

II. N. Z.: $F_{ik} = -\vec{F}_{ki}$

$$\frac{d}{dt} \sum_i \vec{r}_i = \sum_i \vec{F}_i^E + \boxed{\sum_{i,k} \vec{F}_{ik}}$$

výsledná mijoška sil působiacích

na soustavu

$$\vec{F}^E$$

celková hybnosť soustavy \vec{P}

Věta o hybnosti soustavy - 1. věta impulsu

$$\frac{d\vec{P}}{dt} = \vec{F}^E$$

zavedením pojmu "hmotný střed" (težiště)

$$\vec{r}_S = \frac{1}{M} \sum_{i=1}^N m_i \vec{r}_i, \quad M = \sum_{i=1}^N m_i \quad \text{celková hmotnost soustavy}$$

lze formulovat jako větu o pohybu hmotného středu

$$M \ddot{\vec{r}}_S = M \vec{a}_S = \vec{F}^E$$

(pozn.:

1) pokud máme několik rotace tělesa, chová se těleso jako hmotný bod, umístěný v hmotném středu - jde-li o vnitřní síly dledejí se součinně

2) v případě tuhých tělesa spojíme výplňujícího prostoru přechodem
sumou v prostorový integrál

$$\text{hmotnost } p = \lim_{V \rightarrow 0} \frac{m}{V} \quad "dm = p \cdot dV"$$

$$\vec{r}_S = \frac{1}{M} \int \vec{r} p \, dV, \quad M = \int p \, dV$$

také pro moment hybnosti:

$$\frac{d}{dt} \vec{b}_i = \frac{d}{dt} (\vec{r}_i \times m_i \vec{v}_i) = \vec{r}_i \times (\vec{F}_i^E + \sum_k \vec{F}_{ik}) \quad \text{sečením}$$

$$\underbrace{\frac{d}{dt} \sum_i \vec{r}_i \times m_i \vec{v}_i}_{\vec{B} = \sum_i \vec{b}_i} = \sum_i \vec{r}_i \times \vec{F}_i^E + \underbrace{\sum_{i,k} \vec{r}_i \times \vec{F}_{ik}}$$

pro i k dle druhého i k a k i:
 $\vec{r}_i \times \vec{F}_{ik} + \vec{r}_k \vec{F}_{ki} = (\vec{r}_i - \vec{r}_k) \times \vec{F}_{ik} = 0$ pro

$$\vec{M}^E = \sum_i \vec{M}_i^E \quad \text{celkový moment vnitřních sil}$$

věta o momentu hybnosti soustavy - 2. věta impulsu

$$\frac{d\vec{B}}{dt} = \vec{M}^E$$

Pro tuhé těleso obecně platí pohybová rovnice

Důsledky i věty o zachování: (zájdu pro izolovanou soustavu,
 t.j. nejedobitelné mezipříslušnosti)
 $\vec{F}^E = 0 \Rightarrow \vec{P} = \text{konst}$
 $\vec{M}^E = 0 \Rightarrow \vec{B} = \text{konst}$

Energie s.h.b.:

Kinetická energie - píšeme-li $\vec{v}_i = \vec{V}_s + \vec{v}_i^s$ (prahlost vůči h.s.
 rychlosť h.m.s.)

$$E_k = \sum_i \frac{m_i}{2} (\vec{V}_s + \vec{v}_i^s)(\vec{V}_s + \vec{v}_i^s) = \sum_i \frac{m_i}{2} (V_s^2 + 2\vec{V}_s \cdot \vec{v}_i^s + \vec{v}_i^s \cdot \vec{v}_i^s) =$$

(A) $= \frac{1}{2} M V_s^2 + \sum_i \frac{1}{2} m_i \vec{v}_i^s \cdot \vec{v}_i^s \quad (\text{Königova věta:})$

↑ kin.energie polohy h. bodů soustavy vůči
 jejich h. středu

"h. středu", t.j. bodu o hmotnosti rovné celkové hmotnosti
 soustavy M polohujícího se rychlostí h. středu

(B) přírůstek kinetické energie s.h.b. $E_k^{\text{II}} - E_k^{\text{I}}$ se rovná práci
 A vykonané rnejsí i vnitřními silami při přechodu ze stavu I
 do stavu II

(C) jsou-li rnejsí i vnitřní sily konservativní, platí zákony
 zachování mechanické energie

$$E_k^{\text{I}} + E_p^{\text{I}} = E_k^{\text{II}} + E_p^{\text{II}}$$

(D) pro tuhé tělesa ("tuhou s.h.b.") lze ve tvrzeních B, C
 zmíntku o vnitřních silách vynechat

Poznámky:

1) rovnice zachování - důsledky invariance poloh. rovnice všech
 posunutí v čase a v prostoru (homogenní prostor) a otáčení v prostoru
 (isotropie) - t.j. všech transformací (tvoří Lieovu grupu - charakteristika
 ne spojuje se nějakým parametry, teorema Eny Noetherové)

2) Problém dvou těles -

hm. sily (tělesa) se polohují v množstvě, lze řešit v "číslostech" vzhledem
soustředěně

$$m_1 \ddot{\vec{r}}_1 = F(|\vec{r}_1 - \vec{r}_2|) \cdot \frac{\vec{r}_2 - \vec{r}_1}{|\vec{r}_2 - \vec{r}_1|}$$

$$\vec{r} = \vec{r}_1 - \vec{r}_2$$

$$m_2 \ddot{\vec{r}}_2 = -F(|\vec{r}_1 - \vec{r}_2|) \cdot \frac{\vec{r}_1 - \vec{r}_2}{|\vec{r}_1 - \vec{r}_2|}$$

v soust. hm. sil je

$$m_1 \ddot{\vec{r}}_1 + m_2 \ddot{\vec{r}}_2 = 0 \quad \ddot{\vec{r}}_2 = -\frac{m_1}{m_2} \ddot{\vec{r}}_1$$

(vzdálelce odrazit) $\vec{r} = \frac{m_1 + m_2}{m_2} \vec{r}_1$
do první rovnice

za $\vec{r}_1 - \vec{r}_2$ - hnutí m_1 , ale jiné sile

Nebudu dát rovnici vzdálenosti m_1 a odrazit

$$\ddot{\vec{r}} = \left(\frac{1}{m_1} + \frac{1}{m_2} \right) F(r) \cdot \frac{-\vec{r}}{r} \quad \text{tedy pro relativní redukci hmotnosti } \vec{r}$$

dostane rovnici

$$m \ddot{\vec{r}} = -F(r) \cdot \frac{\vec{r}}{r} \quad \text{kde } m = \frac{m_1 m_2}{m_1 + m_2} \text{ je redukovaná hmotnost}$$

- pohyb v centrální
poli

(což snad stále ve skriptech užívají a
přibližně stejně)

3) Soustavy s proměnnou hmotností

$dM < 0$: (raketa)

$$(M + dM)(\vec{v} + d\vec{v}) - dM \vec{v}_1 - M \vec{v} = \vec{F}^E \cdot dt$$

$\underbrace{(M + dM)}_{dM > 0} \underbrace{\vec{v} + d\vec{v}}_{p_0} \underbrace{- dM \vec{v}_1}_{\text{před}} \underbrace{- M \vec{v}}_{\text{před+p0}} = \vec{F}^E \cdot dt$

$dM > 0$ (kapsa)

$$M \cdot d\vec{v} - dM (\vec{v}_1 - \vec{v}) = \vec{F}^E dt$$

$\underbrace{M \cdot d\vec{v}}_{\vec{U} = \vec{v}_1 - \vec{v}} - \underbrace{dM (\vec{v}_1 - \vec{v})}_{\text{před}} = \vec{F}^E dt$

Mejčerského
rovnice

tak reaktivního motoru

Pro $\vec{F}^E = \vec{0}$: $d\vec{v} = \frac{dM}{M} \vec{U}$ a pro konstantní \vec{U}

$$\vec{v} - \vec{v}_0 = \vec{U} \cdot \ln \frac{M_k}{M_p} = -\vec{U} \cdot \ln \frac{M_p}{M_k}$$

(Ciolkovského rovnice) (Pozn: výstupní
rakety)

Ciolkovského číslo

4) Praktické příklady: zpětný náraz při výstřelu, zákluz hlavňí, bezzákluzový zábraní, balistické kyvadlo

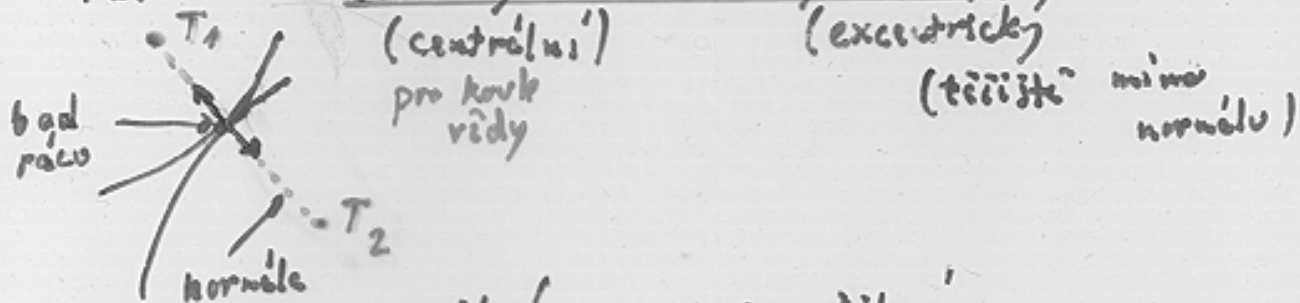
$$mv = (m+M)v_i \quad \frac{m+M}{2} v_i^2 = (m+M)gh$$

$$v = \frac{m+M}{m} \sqrt{2gh}$$

jiné "balistické" metody měření (balistický galvanometr)

5) Rázy těles, srážky částic

ráz (obecně komplikovaný - i vliv tloušťek plstech plynů)



prímý \times šikmý opak

délka, délka
délka, délka

těžitě se polohují

ve směru normály

A) (dokonalé) nepružný $v = \frac{m_1 c_1 + m_2 c_2}{m_1 + m_2}$

B) (dokonalé) pružný (restituce)

C) neudávané pružný

(riskoelast. odpověď)
prímý ráz koule

(k - koef. restituce (Newton))

sloučiviny $k = 0.81$

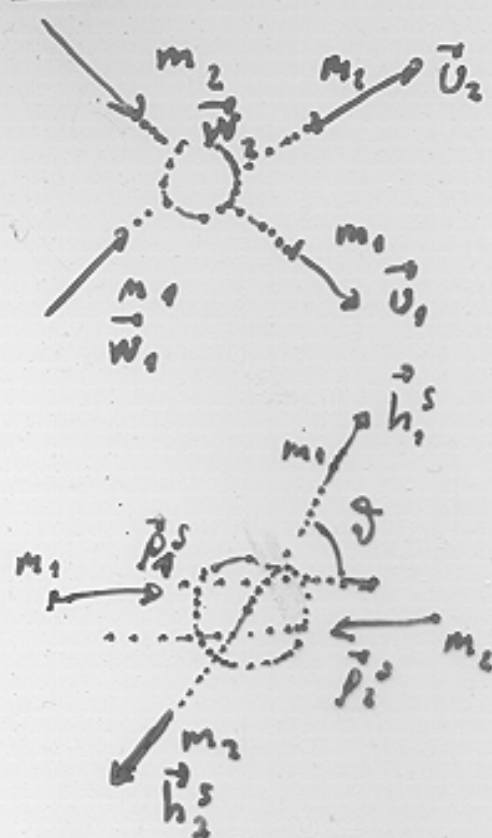
atomy $k = 0.20$

šikmý ráz
(hladké pružné koule)

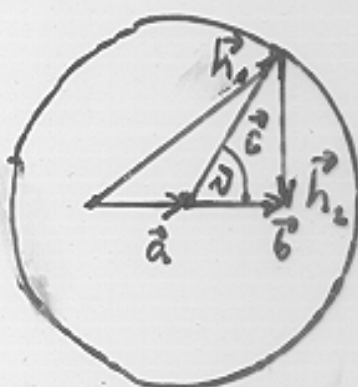
$$\begin{aligned} v_1 &= u - (c_1 - v) & c_1 - v &= -c_2 - u \\ v_2 &= u - (c_2 - v) & \text{pro } m_1 = m_2 & \text{je rovnoboj.} \\ v_1 &= u - k(c_1 - u) & v_2 = u - k(c_2 - u) & v_1 = v_2 \\ v_2 &= u - k(c_2 - u) & u = v_1 + v_2 & \end{aligned}$$



Sročka dvou částic (kinet. bodů)
první



(řešení konkrétní pro daný příběh sily)



$a \sin \vartheta_{\max} = \frac{b^L}{a^L} = \frac{m_2}{m_1}$
(max úhel, pod kterým
se odohýví odpadající
-částice)

$$\tan \vartheta_1 = \frac{c^L \sin \vartheta}{c^L \cos \vartheta + a^L} = \frac{m_2 \sin \vartheta}{m_2 \cos \vartheta + m_1}$$

$$\vartheta_2 = \frac{\pi - \vartheta}{2}$$

Spec. pro $m_1 = m_2$: $\vartheta_1 = \frac{\pi}{2}$, $\vartheta_1 + \vartheta_2 = \frac{\pi}{2}$

$$m_1 \vec{w}_1 + m_2 \vec{w}_2 = m_1 \vec{v}_1 + m_2 \vec{v}_2$$

$$\frac{m_1}{2} \vec{w}_1^2 + \frac{m_2}{2} \vec{w}_2^2 = \frac{m_1}{2} \vec{v}_1^2 + \frac{m_2}{2} \vec{v}_2^2$$

Těžistový systém: základní energie

$$\Rightarrow W_1^S = v_1^S \quad \vec{v} = \vec{w}_1 - \vec{w}_2, \quad v = w \quad \vec{a}$$

obecně:

$$\vec{h}_1 = \vec{m} \vec{w} \vec{v} + \left(\frac{m_1}{m_1 + m_2} (\vec{p}_1 + \vec{p}_2) \right)$$

$$\vec{h}_2 = -\vec{m} \vec{w} \vec{v} + \left(\frac{m_2}{m_1 + m_2} (\vec{p}_1 + \vec{p}_2) \right)$$

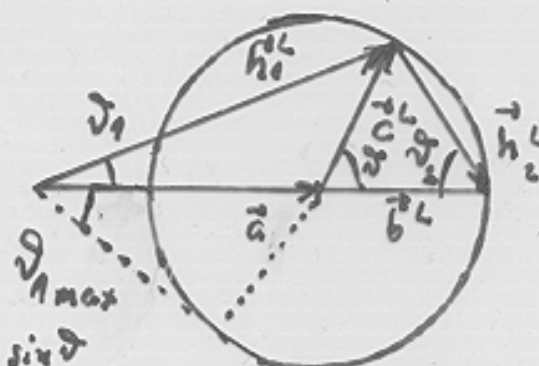
jednotk. vektor
ve směru určeném
úhlov. sf.

V laboreck. soustavě $\vec{p}_2 = \vec{0}$

$$\text{tedy } \vec{c}^L = \vec{b}^L$$

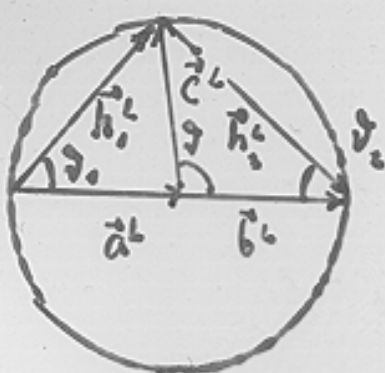
a před sročkou $\vec{p}_1^L \parallel \vec{v}_S^L = \frac{m_1 \vec{w}_1^L}{m_1 + m_2}$

takže obtížnost (pro $m_1 > m_2$)



Pro $\vartheta = \pi$ a $m_1 > m_2$ je $\vartheta_1 = \vartheta_2 = 0$
-ii- $m_1 < m_2$ je $\vartheta_1 = \pi, \vartheta_2 = 0$

Pro $m_1 > m_2$:



$$\vartheta_1 = \frac{\omega}{2} \quad \vartheta_1 + \vartheta_2 = \frac{\pi}{2}$$

... body se rovneti pod pravym
s výjimkou $\vartheta = \pi/2$

- když si body vyznají rychlosť
(nejlepšie sa odviedú v tiažistisku
soustavy)

5) Zjednodušení soustavy sil pro tuhé teléso

v podstatě nepotrebujeme, ale musí upřesnitci zjednodušených problémů
(technické optikau)

ekvivalentní úpravy soustavy sil: musí zachovať $\sum \vec{F}_i^E = \sum \vec{r}_{ix} \vec{F}_i^E$
pozna působení sily podél „vektorové přímky“

$$\vec{F}' \quad \vec{F}'' \quad \xrightarrow{\text{kompozice}} \quad \vec{F}$$

("intritivní" odraz)

skládání sil s různoběžnými rácti přidáme
+ oritivní ekvivalence
s různoběžnými přímkami



Nelze použít pro dvojici sil:

(moment dvojice sil $\vec{d} \times \vec{F}_2$)



F_1 F_2 - zvláštne
útvary

Očárka nezávislosti účinku sloje sil se stejným momentem na polohu referenčního bodu, rovně sily a naměřené sily - (!)

Možnost přenosu všech sil do libovolného zvoleného bodu (třeba těžiště) s připojením příslušných silových slojí - součet jejich momentů = "moment výsledné silové sloje" \tilde{M}^D

\tilde{F} + výslednice sil \tilde{F} - záleží popisuje účinek silového systému závisí ref. bodu \rightarrow výslednice sil se nemění
moment výsledné silové sloje se může změnit

Možnost zvolit ref. bod tak, že $\tilde{F} \parallel \tilde{M}^D$

(složka \tilde{M}^D kolmá ke svému směru je nulová)
homogenní gravitační silové pole:
zvolit u - li za referenční bod těžiště, je

$$\tilde{M}^D = \sum \tilde{r}_i \times m_i \cdot \tilde{g} = (\sum m_i \cdot \tilde{r}_i) \times \tilde{g} = 0$$

pro libovolnou orientaci grav. pole \Rightarrow hm. střed lze chydat jako "přesobití" grav. sily (i když normálně je písmobílou určena vůči nejvýše podél vertikální osy)
proto hm. střed \equiv "těžiště"

Rovnorovná tělesa ... $\tilde{F}^E = 0$, $\tilde{M}^E = 0$

- "statická" rovnorovná - těleso zůstane v klidu, (pokud se už předtím nepohybovalo)
- podmínky nutné, ne dosahovatelné treba neplatit
atg.

těleso podrobí varžení (pohyb po podložce
vhodné vlivem energetického úrova)



rotace kolem perní osy (restau: ložiska)

polohy koute na rovině zakřivené podložce



Klasifikace: rovnorovná (poloha

stálá (stabilní)

minimum

vrátká (labilní)

maximum

volná (indiferentní)

konstantní

pot. energie E_p



Rotace tuhého tělesa kolem pevné osy

Element. přístup: Raději alternativní odvození.

$$E_k = \sum_i \frac{1}{2} m_i v_i^2 = \frac{1}{2} \left(\sum_i m_i R_i^2 \right) \omega^2 = \frac{1}{2} J \omega^2$$

$v_i = \omega R_i$ $\sum_i m_i R_i^2$ moment setrvačnosti rotace
zádlenost bodu od osy otěžení kose

(analogie k postup. pohybu: $m \leftrightarrow J$
 $v \leftrightarrow \omega$)

Pohybová rovnice: $\frac{d}{dt} E_k = J \omega \frac{d\omega}{dt} = \text{výkon} \text{ akce sil}$

Alternativní
odvození

$$\begin{aligned} F & \quad \Rightarrow F \cdot r = F \omega r_0 = \\ & = M \omega \end{aligned}$$

Tedy pohyb. rovnice

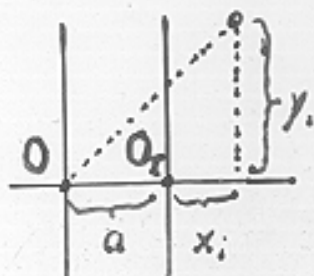
$M = F r_0 = \text{moment sil v oboucích}$

$$\frac{dB}{dt} = \frac{d(J\omega)}{dt} = M \quad \text{a pro konstantní } J: \quad J \cdot \frac{d\omega}{dt} = M$$

Príklad: Moment setrvačnosti homogenního válce (délka l, průměr d)

$$\begin{aligned} M &= \int r^2 \rho dV = \\ &= \int_{r=0}^{R/2} g r^2 \underbrace{l \cdot 2\pi r \cdot dr}_{dV} = \\ &\approx g l \cdot 2\pi \int_0^{R/2} r^3 dr = 2\pi gl \cdot \frac{R^4}{4} = \\ &= \frac{1}{2} \pi R^2 l \cdot \rho \cdot R^2 = \frac{1}{2} M R^2 = M R_{gyr}^2 \end{aligned}$$

Steinerova věta - 2 rovnoběžné osy, jedna prochází tělesem gyroskopičtí polomír

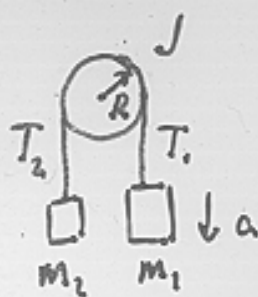


$$J = \sum_i m_i [(a + x_i)^2 + y_i^2] = \frac{R}{\sqrt{2}}$$

$$= \sum_i m_i [a^2 + 2ax_i + x_i^2 + y_i^2], \text{ tedy } J = Ma^2 + J_T$$

Příklady:

1) Těžká kladka



$$J \frac{d\omega}{dt} = R(T_1 - T_2)$$

$$m_1 a = m_1 g - T_1 \quad v = R\omega$$

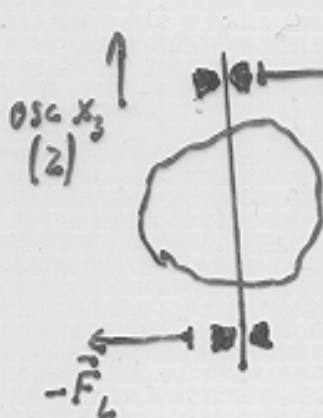
$$m_2 a = T_2 - m_2 g \quad a = R \frac{d\omega}{dt}$$

$$\frac{Ja}{R} = R(m_1 g - m_1 a - m_2 g - m_2 a)$$

$$(m_1 + m_2 + \frac{J}{R^2})a = (m_1 - m_2)g$$

$$a = \frac{(m_1 - m_2)g}{m_1 + m_2 + \frac{J}{R^2}}$$

"záporný" polohy



Sily od "ložisek"
(drojice sil | vytvářejí
silové momenty v rovině XY,
příspěvek ve směru třetí osy je nulový)

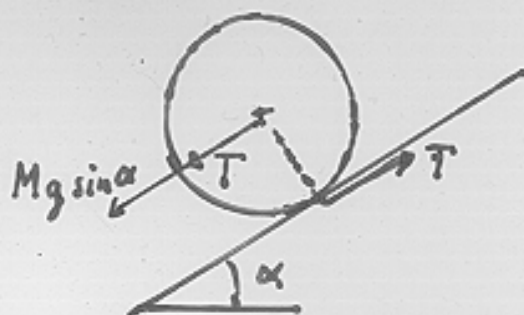
$$B_3 = \sum_i (\vec{r}_i \times m_i \vec{v}_i) = \sum_i m_i (x_{1i} v_{2i} - x_{2i} v_{1i}) = \sum_i m_i R_i \dot{\varphi}_i$$

index $i \rightarrow$
sprechán $R \cos \varphi$ $R \sin \varphi$ $R \cos \varphi - R \dot{\varphi} \sin \varphi$
 $R \sin \varphi + R \dot{\varphi} \cos \varphi$

$$\text{jel. } \dot{\varphi}_i = \omega_3 \text{ pro vrchol } i, \text{ je } B_3 = \omega_3 \cdot \underbrace{\sum_i m_i R_i^2}_{\text{moment setrvačnosti tělesa vzhledem k ose gyrování}} \quad J$$

moment setrvačnosti tělesa vzhledem k ose gyrování (polomer setrvačnosti) $R_o = \sqrt{J/M}$

2) Valení po uklonění roviny



$$Mg \sin \alpha - T = Ma$$

$$T \cdot R = J_T \ddot{\varphi} = J_T \frac{a}{R}$$

$$Mg \sin \alpha = \left(M + \frac{J_T}{R^2} \right) a$$

$$a = \frac{Mg \sin \alpha}{M + \frac{J_T}{R^2}}$$

Nebo: je-li J mom. sítrovač. vůči osy prachovějšímu dohromady

$$J \ddot{\varphi} = J \frac{a}{R} = R \cdot Mg \sin \alpha \Rightarrow a = \frac{Mg \sin \alpha}{\frac{J}{R^2}}$$

$$\text{ale (St. r.) } J = J_T + MR^2$$

(Lze využít i u zakončené energie) (čímž mítí polaris utro, vůči posuvající)

3) Fyzické kryadlo

(neplatí si $\omega = \dot{\varphi} \cdot R$)

$$R = \sqrt{\frac{Mg r}{J}}, \text{ doba kmitání}$$

$$T = \frac{2\pi}{\Omega} = 2\pi \sqrt{\frac{J}{Mg r}}$$



$$J \ddot{\varphi} = -Mg r \sin \varphi$$

mali' mimoř.:

$$\sin \varphi \approx \varphi$$

$$\varphi = \Phi \sin(\Omega t + C_\varphi)$$

matematické kryadlo - spec. případ $J = Mr^2 \Rightarrow \Omega = \frac{2\pi}{J} = \sqrt{\frac{1}{r}}$

reduk. délka fyzic. kryadla $l_r = \frac{J}{Mr}$ (problyž s nimi!!!)

reverzní kryadlo

$$T = T' \Rightarrow \frac{J}{Mr} = \frac{J'}{Mr'} \Rightarrow (\text{St. r.}) \frac{J_s + Mr^2}{r} = \frac{J_s + Mr'^2}{r'}$$

$$\text{tedy } r'^2 - r^2 \frac{J_s + Mr^2}{Mr} + \frac{J_s}{M} = 0$$



$$\text{kdež } r'_1 = r_1, r_2 = \text{agnět } r_1 + r_2 = \frac{J_s + Mr^2}{Mr} = \frac{J}{Mr} = \frac{1}{r} \approx \text{redukovaná délka}$$

Velké rotačny: (jen pro rájence, nepovinné)

$$\frac{J}{2} \dot{\psi}^2 + Mgr \underbrace{(1 - \cos \psi)}_{2 \sin^2 \frac{\psi}{2}} = E$$

$$\frac{d\psi}{dt} \dot{\psi} = \sqrt{\frac{2E}{J} - \frac{4Mgr}{J} \sin^2 \frac{\psi}{2}}$$

$$\int_0^\psi \frac{d\psi}{\sqrt{1 - \frac{2Mgr}{E} \sin^2 \frac{\psi}{2}}} = \sqrt{\frac{2E}{J}} \cdot t + C \quad \left. \begin{array}{l} \sin \frac{\psi}{2} \approx 0 \\ \psi = 2 \arcsin u \end{array} \right\}$$

$$\int \frac{du}{\sqrt{(1-u^2)(1-k^2u^2)}} = \sqrt{\frac{E}{2J}} t \quad \left. \begin{array}{l} d\psi = \frac{2}{\sqrt{1-u^2}} \\ k = \sqrt{\frac{2Mgr}{E}} \end{array} \right.$$

A) $k=1 \quad u = \tanh \sqrt{\frac{E}{2J}} t$

B) $k < 1$ (rotace)

definice neúplného eliptického (čili Lagrangeovo) integruj. 1. druhu

$$\int_0^u \frac{du}{\sqrt{(1-u^2)(1-k^2u^2)}} = \int_0^\psi \frac{d\psi}{\sqrt{1-k^2 \sin^2 \psi}} = F(k, \psi) = y$$

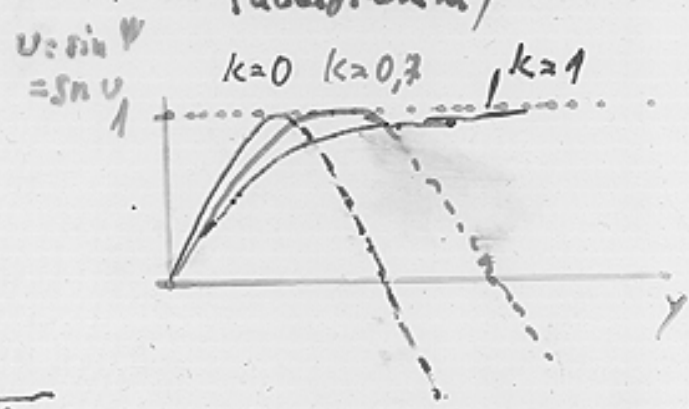
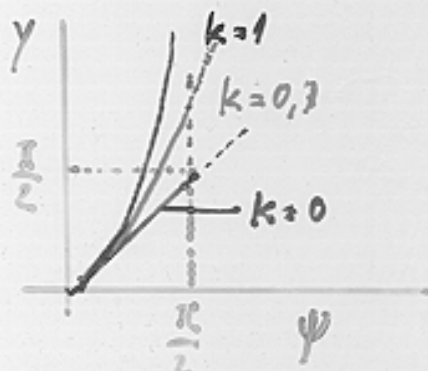
subst. $u = \sin \psi$

k ... modul (=amplituda)

úplný integrál: $F(k, \frac{\pi}{2})$

ψ ... "amplitude"

inverzní funkce $u = \text{sn}(y)$ s periodou $4K = 4F(k, \frac{\pi}{2})$
 (dodatečně)



kosinusamplitude $cn(y) = \sqrt{1 - \sin^2(y)}$, deltaamplitude $dn(y) = \sqrt{1 - k^2 \sin^2(y)}$

Pro $k < 1$

$$v = \sin \left(\sqrt{\frac{E}{2J}} \cdot t \right)$$

C) Pro $k > 1$ (kyvóní)
substituice $v' = k v = v/k'$, kde $k' = \frac{1}{k} = \sqrt{\frac{E}{2M_{gr}}} = v_{max}$

$$v = \sqrt{\frac{E}{2M_{gr}}} \sin \left(\sqrt{\frac{M_{gr}}{J}} t \right) \quad \varphi = 2 \arcsin v$$

periode : $T = \frac{2}{\pi} T_m \cdot F(v_{max}, \frac{\pi}{2}) = T_m \left(1 + \left(\frac{1}{2} v_{max} \right)^2 + \left(\frac{1 \cdot 3}{2 \cdot 4} v_{max}^2 \right)^2 + \left(\frac{1 \cdot 3 \cdot 5}{2 \cdot 4 \cdot 6} v_{max}^3 \right)^2 + \dots \right)$

kde $T_m = 2\pi \sqrt{\frac{J}{M_{gr}}}$ periode pro nádej

Rotace tuhého tělesa kolem pevného bodu

$$\vec{B} = \sum_i \vec{r}_i \times m_i \vec{v}_i = \sum_i m_i \vec{r}_i \times (\vec{\omega} \times \vec{r}_i) =$$

$$= \sum_i m_i (\vec{\omega} \cdot \vec{r}_i^2 - (\vec{\omega} \cdot \vec{r}_i) \vec{r}_i)$$

$$B_k = \sum_i m_i (x_{q,i} x_{q,i} w_k - x_{k,i} x_{l,i} w_l) \\ x_{1,i}^2 + x_{2,i}^2 + x_{3,i}^2$$

$$= \sum_i m_i (x_{q,i} x_{q,i} \delta_{kl} - x_{u,i} x_{l,i}) w_l$$

$$B_i = \left(\sum_i m_i (x_{1,i}^2 + x_{2,i}^2 + x_{3,i}^2 - x_{i,i}^2) \right) w_i + \left(\sum_i m_i x_{1,i} x_{2,i} \right) w_2 +$$

a.t.p. tedy ...

$$B_1 = J_{11} w_1 + J_{12} w_2 + J_{13} w_3 \quad \text{souhrnně } B_k = J_{kl} w_l$$

$$B_2 = J_{21} w_1 + J_{22} w_2 + J_{23} w_3$$

$$B_3 = J_{31} w_1 + J_{32} w_2 + J_{33} w_3$$

$$\overleftrightarrow{B} = \overleftrightarrow{J} \overrightarrow{\omega}$$

(lineární zobrazení)

kde $J_{kl} = \sum_i m_i (x_{q,i} x_{q,i} \delta_{kl} - x_{k,i} x_{l,i})$

tedy např. $J_{11} = \sum_i m_i (x_{2,i}^2 + x_{3,i}^2), \dots$ složky tensoru momentu sítřečnosti

a $J_{12} = \sum_i m_i x_{1,i} x_{2,i}, J_{21} = J_{12}, \dots$

Tensor sítřečnosti J_{ik} - moment vůči osi souřadnic v_{ik}
 symetrický tensor $J_{ik} = J_{ki}$ souhlasí s definicí derivací momentu J_{ik} , t.j.

pre prvnou osu

Kinet. energie

$$E_k = \frac{1}{2} \sum_i m_i v_i^2 = \frac{1}{2} \sum_i m_i (\underbrace{\vec{\omega} \times \vec{r}_i}_{\vec{a}}) (\underbrace{\vec{\omega} \times \vec{r}_i}_{\vec{b}}) = \frac{1}{2} \sum_i m_i \vec{\omega} (\underbrace{\vec{r}_i \times (\vec{\omega} \times \vec{r}_i)}_{\vec{c}}) = \frac{1}{2} \vec{\omega} \vec{B}$$

tedy $E_k = \frac{1}{2} \vec{\omega} \vec{B} = \frac{1}{2} \vec{\omega} \vec{J} \vec{\omega} = \frac{1}{2} \omega_k J_{kl} \omega_l$

(kvadratické forma s ω_k)

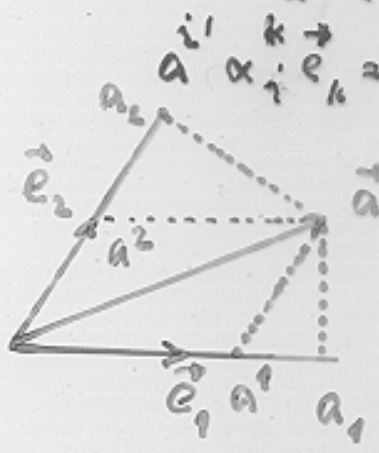
s tím souvisí moment seřeďinového libovolného osy $\vec{\omega}$
 jednotkový vektor
 daný \uparrow místu $\vec{\omega}$

$$E_k = \frac{1}{2} \vec{J} \vec{\omega}^2 \Rightarrow \vec{J} = \frac{1}{\omega^2} \vec{\omega} \vec{J} \vec{\omega} = \frac{\vec{\omega}}{\omega} \vec{J} \frac{\vec{\omega}}{\omega}, \text{ tedy}$$

$$\vec{J} = \vec{\nu} \vec{J} \vec{\nu}$$

Pojem tenzoru .. 2 rádu .. transformace složek jako se transformuje
 součin složek vektorů - t.j. jak!

dleme $\vec{a} = a_i \vec{e}_i; \quad \vec{e}'_i = \alpha_i^k \vec{e}_k$ - transformace vektoru
 bazu
 $\Rightarrow a^i \vec{e}_i = a^i \vec{e}'_i$ scíká se prav stejný (příp. neortonormální)
 $a^{i'} \vec{e}'_i = a^i \vec{e}_i$ horu a dolu bazi !!!)



$$a^{i'} = \alpha_i^k a^k \quad \text{kontravariantní složky vektoru}$$

$$a_i = (\vec{a} \cdot \vec{e}_i) \quad \text{kovariantní složky:}$$

$$\frac{a'_i = \alpha_i^k a^k}{a_i = \beta_i^k a'_k} \quad \alpha_i^k \beta_k^m = \delta_{im}$$

$$\alpha_i^k \beta_m^m = \delta_{im}$$

$$\text{Skalérní součin } \vec{a} \cdot \vec{b} = a^i \vec{e}_i \cdot b^k \vec{e}_k = a^i b^k (\vec{e}_i; \vec{e}_k) = g_{ik} a^i b^k$$

složky metrického tensoru g_{ik}
v orthonormální bázi $g_{ik} = \delta_{ik}$

$$a^i \rightarrow ? a_i$$

$$a_i = (\vec{a}; \vec{e}_i) = a^k \vec{e}_k \cdot \vec{e}_i$$

tedy $a_i = g_{ik} a^k$... snížený index

$$g^{li} a_i = g^{li} g_{ik} a^k = a^l \dots zvýšený index$$

(inverzní matice) $g^{li} g_{ik} = \delta_{lk} \Rightarrow g^l_k = \delta_{lk}$

transformace $g'_{ik} = \alpha_i^l \alpha_k^m g_{lm}$ transformace u

stejný jde součin, střík reakce: $a'_i b'_k = \alpha_i^l \alpha_k^m a^l b_m$... definice tensoru

$$d_{ijk}^{\dots ln}$$

střídkov!

"kolem" tensor g_{ik} (δ_{ik})

(izotropní)

dyada $(\vec{a}; \vec{b})$

dyadickej součin

reakce: $c_{ij} = a_i b_j$

Operace s tensory

scítání

$$a_{ij} b_{ik} = c_{ijk}$$

$$d_{ijk}^{\dots ln}$$

$$r_i r_j = f_{ij}$$

$$d_{ij}^{\dots ik} = e_{jk}$$

$$\text{"přidružení"} = \text{snížení a zvýšení indexů}, f_i^j = h \text{ skalar růždu}$$

tensor
o 2 násobku

Orthonormální báze: nezávisle vektory k vektoru a kontravariantní k kontravectoru.

Symetrický tensor 2. řádu J_{ik}

složky

$$J_{ik} x^i x^k = 1 \text{ oběsí krychlika}$$

-spec. elipsoid setrvečnosti

napsl.: $J_{ik} w_i w_k = 2E_k$ plácha konstantní energie v prostoru vektoru w

grad $E_k = \vec{B}$ má směr normály k této pláše

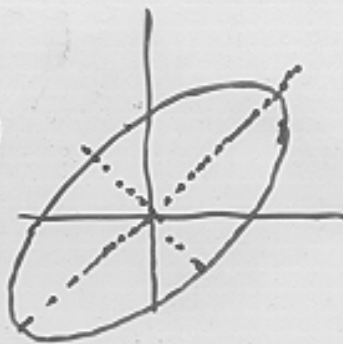
pro vzdálenost d tělesní rovin od posílky: $\frac{\vec{B}}{B} \cdot \vec{w} = d \Rightarrow d = \frac{B}{B}$

Převedení \vec{J} na hlavní osy

(neplést s: s diagonálními koef. formy)

vlastní vektory, vlastní čísla

$$\vec{J}\vec{\omega} = \lambda \vec{\omega}$$



$$(J_{ik} - \lambda \delta_{ik}) \omega_k = 0 \rightarrow \text{hodnost matice} < 3 (n)$$

tedy $\det(J_{ik} - \lambda \delta_{ik}) = 0$ sekulární rovnice (také'

algebra. rovnice \rightarrow existuje alespoň 1 kořen $\lambda \in C$

$$\vec{J}\vec{\omega} = \lambda \vec{\omega} \Rightarrow \vec{J}\vec{\omega} = \bar{\lambda} \vec{\omega}$$

$$\vec{\omega}^T \vec{J} \vec{\omega} = \lambda \vec{\omega}^T \vec{\omega} = \bar{\lambda} \underbrace{\vec{\omega}^T \vec{\omega}}_{> 0 \text{ norma } \vec{\omega} \text{ vektoru}} \Rightarrow \lambda \text{ je reálné}$$

a je-li $\vec{\omega}^T \vec{\omega} = 0$, je: $\vec{\omega}^T \vec{J} \vec{\omega}' = \lambda \vec{\omega}^T \vec{\omega}' = 0$ >0 norma $\vec{\omega}'$ vektoru'

$\Rightarrow \vec{J}$ obrazuje prostor všech vektorů kolujích k $\vec{\omega}$ do sebe \rightarrow další vlastní vektory hledat v toto prostoru stejně

\rightarrow hlavní osy momentu směrovosti, $\lambda_i = J_i$ hlavní momenty setrv. zprávobr.

Rotace tuhého tělesa kolem pevných bodů: spec. třídy

soustav souž. pevní spojené s tělesem

aplikace - vyučování

Spec: Volná rotace - vnější síly nulové

(skript: velké R_i /)
 \Rightarrow Eulerovy rovnice

$$\sum_i J_i \omega_i^2 = 2E_i \text{ konst}$$

$$\sum_i J_i^2 \omega_i^2 = B^2 \text{ konst}$$

Eulerovy rovnice

$$\beta_i = J_{ij} \omega_j$$

Je: $\dot{\beta}_i = J_{ij} \ddot{\theta}_j$ ← totíž v souvíd. soustavě pohybu spojené s tělesem

$$\tilde{M}^E = \frac{d\tilde{\vec{B}}}{dt} = \left(\frac{d\tilde{\vec{B}}}{dt} \right)_T + \tilde{\omega} \times \tilde{\vec{B}}$$

$$\text{tedy } \left(\frac{d\tilde{\vec{B}}}{dt} \right)_T + \tilde{\omega} \times \tilde{\vec{B}} = \tilde{M}^E$$

$$\begin{cases} \frac{d\beta_1}{dt} + \Omega_2 \beta_3 - \Omega_3 \beta_2 = M_1 \\ \frac{d\beta_2}{dt} + \Omega_3 \beta_1 - \Omega_1 \beta_3 = M_2 \\ \frac{d\beta_3}{dt} + \Omega_1 \beta_2 - \Omega_2 \beta_1 = M_3 \end{cases}$$

a dosudně $\omega_i = J_{ij} \dot{\theta}_j$

$$\begin{aligned} & J_{11} \dot{\theta}_1 + J_{12} \dot{\theta}_2 + J_{13} \dot{\theta}_3 + \\ & + \Omega_2 (J_{21} \theta_1 + J_{22} \theta_2 + J_{23} \theta_3) - \Omega_3 (J_{31} \theta_1 + J_{32} \theta_2 + J_{33} \theta_3) = M_1 \\ & a t d \quad \text{Euler. rovnice v obecném form.} \end{aligned}$$

Speciální pro $\Omega_1 = \Omega_2 = 0$
(rotace kolmou k osám 2)

smysl derivacních
momentů
vypočítání statické a dynamické
prakt. aplikace

(kolo, rotor
turbo)

$$\begin{aligned} J_{13} \dot{\theta}_3 - \Omega_2^2 J_{23} \theta_2 &= M_1 \\ J_{23} \dot{\theta}_3 - \Omega_3^2 J_{13} \theta_1 &= M_2 \\ J_{33} \dot{\theta}_3 &= M_3 \end{aligned}$$

v kolmých osách

$$\begin{cases} J_1 \dot{\theta}_1 + \Omega_2 \Omega_3 (J_3 - J_2) = M_1 \\ J_2 \dot{\theta}_2 + \Omega_3 \Omega_1 (J_1 - J_3) = M_2 \\ J_3 \dot{\theta}_3 + \Omega_1 \Omega_2 (J_2 - J_1) = M_3 \end{cases}$$

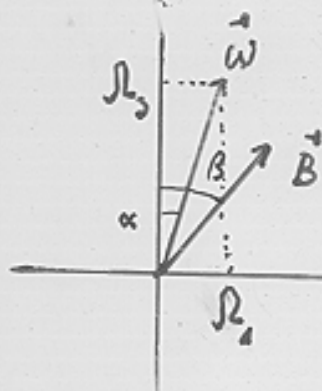
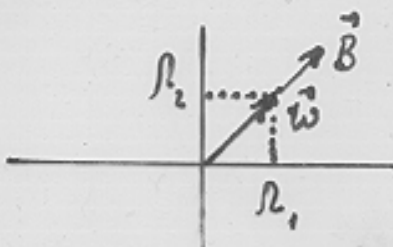
Sestrrečník asyntetický
symetrický
kulový

volný
tělesy

(běžné: symetrický $\rightarrow J_{33} \gg J_1 = J_2$)

volný symetrický sestrrečník

$$J_1 = J_2$$



$$R_3 = \text{const}$$

$$\dot{R}_1 + R_2 \frac{R_2(J_3 - J_1)}{J_1} = 0$$

$$\dot{R}_2 - R_1 \frac{R_2(J_3 - J_1)}{J_1} = 0$$

$$\Rightarrow R_1 = A \sin(\Omega t + \alpha)$$

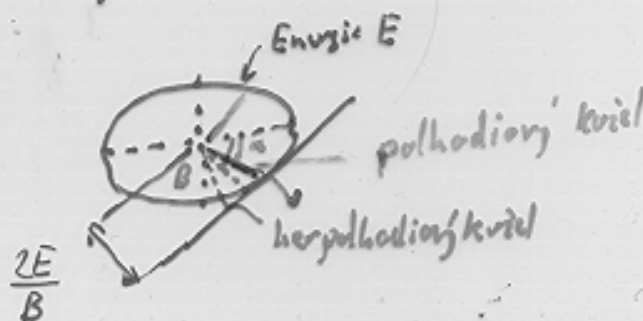
$$R_2 = -A \cos(\Omega t + \alpha)$$

$$R = \frac{J_3 - J_1}{J_1} R_3 \quad \text{rychlosť precese v tike}$$

$$\frac{\tan \beta}{\tan \alpha} = \frac{J_3}{J_1}$$

$$R_p = \omega \cdot \frac{\sin \alpha}{\sin \beta} \quad \text{rychlosť precese v prostoru}$$

regulární precese
geometrické interpretace:



volné osc. rotac.

stabilita rotac. - polhodil
- v geometrickém systému
- z energetického hlediska

$$\underbrace{J_1^2 A^2 + J_3^2 R_3^2}_{\text{II}} = J_3^2 \omega^2$$



stabilní

$$2E_{kk} J_3 = J_1 J_3 A^2 + J_3^2 R_3^2 > 2E_{kp} J_3$$

je-li $J_3 > J_1$

Asymetrický setrvačník (volný)

$$\sum J_i \cdot R_i^2 = 2E$$

$$\sum J_i \cdot R_i^2 = B^2$$

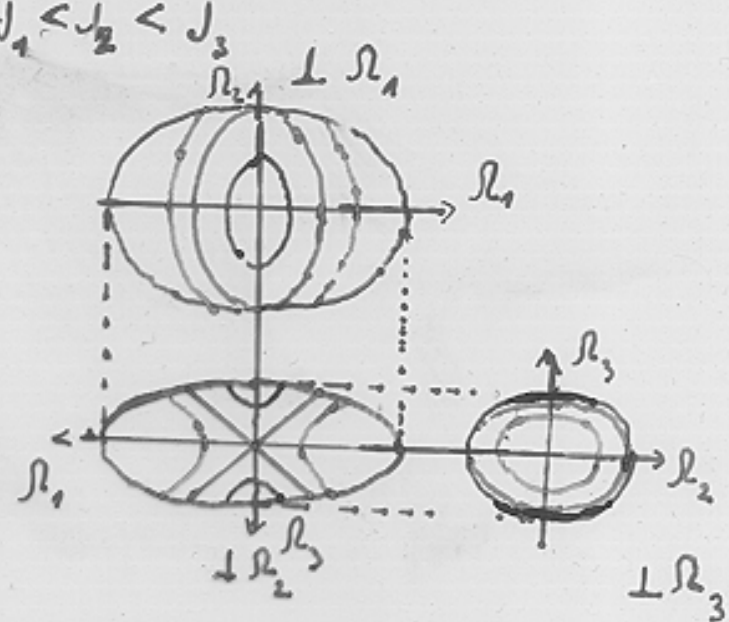
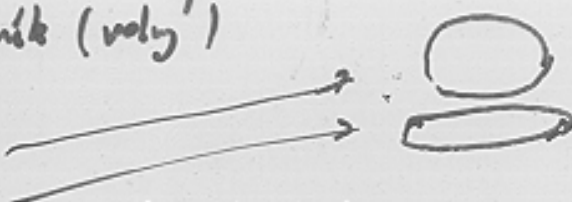
↓

$$R_1 = \sqrt{\frac{2EJ_3 - B^2}{J_1(J_3 - J_1)}} \sin \tau$$

$$R_2 = \sqrt{\frac{2EJ_3 - B^2}{J_2(J_3 - J_2)}} \sin \tau$$

$$R_3 = \sqrt{\frac{B^2 - 2EJ_1}{J_3(J_3 - J_1)}}$$

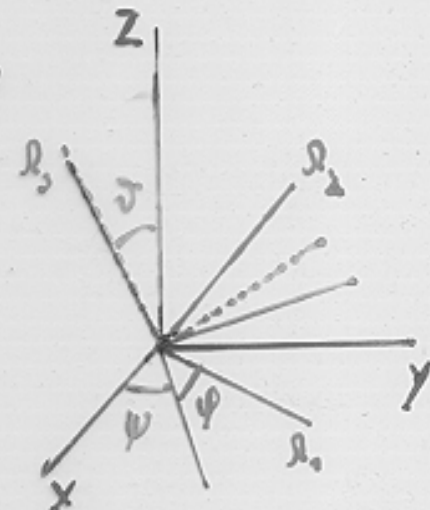
$$c = t \sqrt{\frac{(J_3 - J_1)(B^2 - 2EJ_1)}{J_1 J_2 J_3}}$$



Vlastní grotové polohy - Eulerovy úhly

nebudem dělat

$\varphi, \delta, \psi(t)$



Těžký symetrický setrvačník

$$\frac{d\vec{B}}{dt} = \vec{M}_G = \vec{r}_s \times \vec{M}_g$$



$$\frac{d\vec{B}}{dt} = \vec{J}_p \times \vec{B} \rightarrow \vec{J}_p = \frac{\vec{r}_s M_g}{\vec{B}} = \frac{r_s M_g}{J_3 \omega}$$

Regulérní precese - pravdourov. po., nutace

Nácoru výklenek chorvátky setrvačníku
(gyroskop. efekt)

Využití: stabilizace svěrů, lodí
jiřide (na kote), kotletem lodi
gyrokompenz.



KONTINUUM - spojité prostředí

Základní pojmy

ignoruje se atomová struktura, pracuje se s jakousi střední hodnotou veličin v konkrétní bodě.

polohy v čase t polohy v místech θ

Kinematika: a) $y_j = y_j(x_i, t)$ Lagrangiov popis

b) $v_i = v_i(y_j, t)$ Eulerov popis

↑
rychlosť v bodě (zde v_i - posunutí)

je záležit pravidlice tecím vlivem bodě ní rychlosť v_i

ve výbraném okamžiku

trajektorie bodů - pro stacionární pravidlo je shodné s pravidly

1. Helmholtzova věta - Polohy kontinua v okolí určitého bodu lze

rozložit na polohy translační (posuvný), rotacní (otáčející)

a deformacní polohy

↑ hlavní výplň mechaniky kontinua

Deformace: $y_i = y_i(x_i, t)$: $y_i = y_i(x_i, 0) = x_i$

$y_i = y_i(x_i, \delta t) = y_i(x_i)$

vektor posunutí $v_i = y_i - x_i$, jeho závislost na polohu bodu

$v_i = v_i(x_i)$

$$y_i + dy_i = x_i + dx_i + v_i + du_i \quad dy_i = dx_i + dv_i +$$

$$dv_i = \frac{\partial v_i}{\partial x_j} dx_j \quad dy_i = \left(\delta_{ij} + \frac{\partial v_i}{\partial x_j} \right) dx_j$$

$$\begin{aligned} \text{Změna délky: } dy_i &= dy_i - dx_i dx_i = \left(\delta_{ij} + \frac{\partial v_i}{\partial x_j} \right) \left(\delta_{jk} + \frac{\partial v_k}{\partial x_n} \right) dx_j dx_n \\ &= \underbrace{\left(\frac{\partial v_k}{\partial x_n} + \frac{\partial v_l}{\partial x_n} + \frac{\partial v_i}{\partial x_j} \frac{\partial v_j}{\partial x_n} \right)}_{2 \varepsilon_{lk}} dx_j dx_n - dx_i dx_n \end{aligned}$$

$dx_j dx_n - dx_i dx_n$

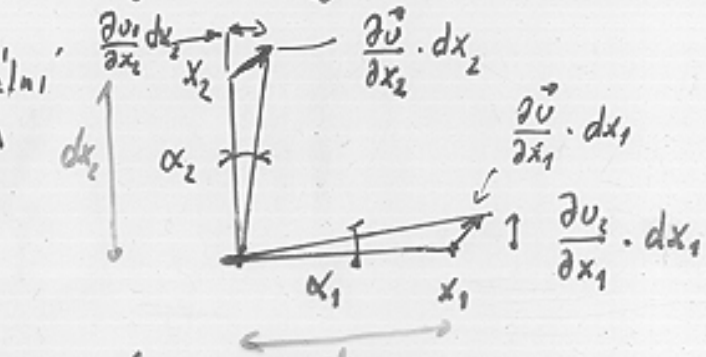
$2 \varepsilon_{lk}$ - tensor velkých deformací (symetrický)

podobně $\overline{E_{lk}} = \frac{\partial u_k}{\partial x_l} + \frac{\partial u_l}{\partial x_k} + \frac{\partial u_i}{\partial x_k} \frac{\partial u_i}{\partial x_l}$ - derivace podle "deformovaného" souřadnic

pro uzel $\frac{\partial u_i}{\partial x_k}$ je součin mnoha menších praví druh coby -

zavádí se tensor polohy deformací $e_{lk} = \frac{1}{2} \left(\frac{\partial u_l}{\partial x_k} + \frac{\partial u_k}{\partial x_l} \right)$

smysl slova - diagonální $\frac{1}{2} \frac{l^2 - l_0^2}{l_0^2} = \frac{l - l_0}{l_0}$ relativní prodloužení
ve směru os

nediagonální 

$$e_{12} = \frac{1}{2} (\alpha_1 + \alpha_2) = \frac{\pi}{2}$$

= $\frac{1}{2}$ úhlu smyku

(úhel smyku - úhel, o který se změnil úhel os, původní proj. úhel)

Hlavní smysl tensoru polohy deformací

Veličina $\frac{\partial u_i}{\partial x_k}$ tvoří tensor 2. r. ($du_i = \frac{\partial u_i}{\partial x_k} dx_k$) vektor

- je rovnožit ne čist symetrickou $e_{ik} = e_{ki}$

a ne čist antisymetrickou $a_{ik} = \frac{1}{2} \left(\frac{\partial u_k}{\partial x_i} - \frac{\partial u_i}{\partial x_k} \right)$

$a_{ik} = -a_{ki}$ "symetrie" i "antisymetrie" se po transformaci zachová → obě části mohou být často pohledávány "fyzikálně odlišné"

veličiny:
Speciální technika: symetrický čist charakterizuje deformaci a antisymetrický čist - " - rotaci

(pro rotaci) $\vec{v} = \vec{\omega} \cdot dt \times \vec{r} \rightarrow$ matice $v_i = \omega_2 dt x_3 - \omega_3 dt x_2$ $\frac{\partial v_i}{\partial x_k} = \frac{\partial v_i}{\partial x_k}$ je

$$\begin{pmatrix} 0, & \omega_2 dt, & -\omega_3 dt \\ -\omega_3 dt, & 0, & \omega_1 dt \\ \omega_2 dt, & -\omega_1 dt, & 0 \end{pmatrix}$$

Pro zajištění pozn. antisymmetrický tensor 2. řádu si odpovídá v ortonormálních báziích s pseudorektory

↑ skutečná $e_{ik} = 0$
ale
 $a_{ik} = e_{ik} \omega_i \cdot dt$
ještě jinak

$\text{rot } \vec{v} = \nabla \times \vec{v} = 2\vec{\omega} dt$

operator rotace skutečně "vyjadřuje rotaci" vlastnosti

Pro kapaliny: \vec{v} se mění s časem, za čas akt. růstce vektor defor-
mace z hmoty $\vec{\epsilon}$ ne hodnotu $\vec{v} = \vec{v} \cdot dt$ - pro dletočnou mezi dt
je on $\frac{\partial v_i}{\partial x_k}$ malé a lze užit tensor užel defomací $\epsilon_{ij} = D_{ij} \cdot dt$, kde

$$D_{ij} = \frac{1}{2} \left(\frac{\partial v_j}{\partial x_i} + \frac{\partial v_i}{\partial x_j} \right)$$

tensor rychlosti deformace

Spec. pro Couette - ovo prováděj:

$$D_{11} = D_{22} = \frac{1}{2} \frac{\partial v_x}{\partial y}$$

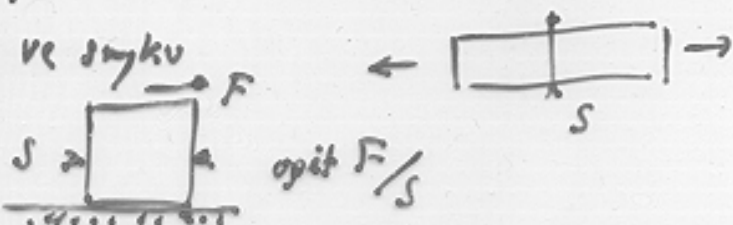
$\gamma \uparrow \vec{v} \rightarrow x$

ostatní D nulové

(poznáka: na počtu odčítaní čísla v posloupnosti násilně)

Napětí v kontinuu vystihuje působení sil - v tahu - tgc $T = \frac{F}{S}$

v tlaku obdobně, ve smyku



obecně síly působici na ^{obecnou} plochu urnitou tělu

(tgc): čistý tah
čistý tlak
čistý smyk
obecné tahání
obecné tlakování
neupří

$$\vec{G} = \frac{d\vec{F}}{dS}$$

spec. plochy v rovině sestav

$$\vec{G}_1, \vec{G}_2, \vec{G}_3$$

$$\vec{F}_1 + \vec{F}_2 + \vec{F}_3 + \vec{V} \vec{G} = 0$$

($\vec{G} = \lim_{V \rightarrow 0} \frac{\vec{F}_0}{V}$
objemové síly)



$$\vec{G}_1 S_1 + \vec{G}_2 S_2 + \vec{G}_3 S_3 + \frac{Sh}{3} \vec{V} = 0$$

$$\vec{G} = \vec{G}_1 + \vec{G}_2 + \vec{G}_3 \quad (\text{tah všude})$$

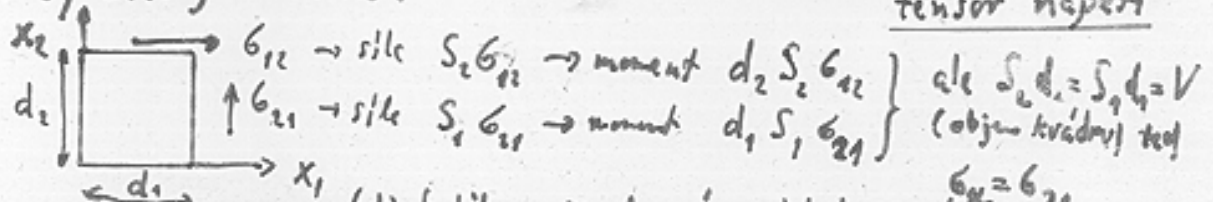
$$\vec{F} = \vec{G}_1 S_1 + \vec{G}_2 S_2 + \vec{G}_3 S_3$$

$$\vec{G}_i = (G_{1i}, G_{2i}, G_{3i})$$

$$\vec{F}_i = \frac{G_{ii} S_i}{S_1 + S_2 + S_3} \quad \text{neboli} \quad \vec{F} = \frac{G}{S} \vec{S}$$

Opat symetricky?? Ano!

opat tensor 2. řádu - tensor napětí

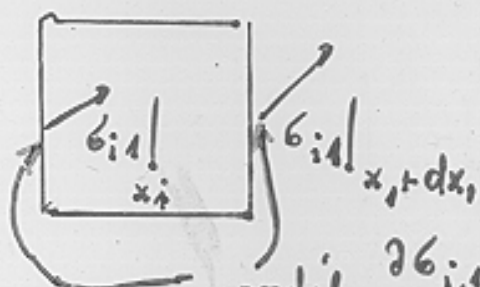


(Jiný důkaz pro dokazání podobnosti momentů) $G_{12} = G_{21}$

Opet je rigid klamnice, klam' napětí a klam' rozmíření,
[stáří]

pro něj tečná složka napětí ($\bar{\sigma}$) je nulová. Toto pro malé deformace

Rovnice rovnováhy a pohybové rovnice



$$\frac{\partial \sigma_{ij}}{\partial x_i} + G_j = 0 \quad \text{rovnováha}$$

$$\frac{\partial \sigma_{ij}}{\partial x_i} + G_j = f \frac{d^2 u_j}{dt^2}$$

podíl $\frac{\partial \sigma_{ij}}{\partial x_i} \cdot dx_i$ | .ploše $dx_1 dx_2$
 napětí

obdobně x_1, x_2 , objem V_h - příspěvek $G_i dx_1 dx_2 dx_3$
 a lim. pro objem kvádru $\rightarrow 6$

(jiné odvození pro Gaussovo větu „zobecnění“)

Vztahy mezi deformacemi a napětím

Robert Hooke : Ut tensio, sic vis "

$$\frac{F}{S} = Ee \quad 1678$$

právě konstrukce

$F \rightarrow S \rightarrow F$

$\frac{F}{S} = G_{ij}$

tah/tlak \uparrow Poissonova smyk

obecně lineární vztah mezi σ_{ij} a e_{ij} $\sigma_{ij} = C_{ijkl} e_{kl}$
Hookeův zákon \uparrow svedené do 21

$$\sigma_{ij} = \lambda e_I \delta_{ij} + 2G e_{ij}$$

izotropie: 2 konstanty

kde $e_I = e_{ii}$ lineární invariant
 inverze: viz str. 53

$$(e_I = e_{11} + e_{22} + e_{33} = \frac{V - V_0}{V_0} \text{ rel. změna objemu})$$

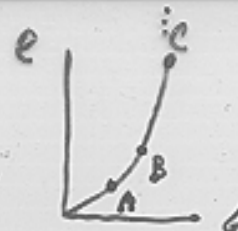
(jinak)

$$\sigma_{ij} = \frac{G(E-2G)}{3G-E} e_I \delta_{ij} + 2G e_{ij}$$

$$(e_I = \frac{\lambda}{2(\lambda+G)} \epsilon_{\langle i,j \rangle})$$

Poznámky k Hookovu zákonu

1) mezi vlněností, pružnosti (elasticity), pevností



2) rozklad tenzoru (symetr. 2. řádu) na isotropní část a anisotropní

třeba

$$e_{ij} = \frac{e_I \delta_{ij}}{3} + \left(e_{ij} - \frac{e_I \delta_{ij}}{3} \right)$$

isotropní část $e_{ij}^{(s)}$
objemové deformace

derivační tensor malých deformací
tvarové deformace $e_{ij}^{(0)}$

totéž pro napětí $\sigma_{ij}^{(0)} + \sigma_{ij}^{(s)}$ - konstanty $\sigma_{ij}^{(s)} = K_1 e_{ij}^{(s)}$

$$\left(j.e. \frac{K_1 - K_2}{3} = \lambda \quad K_2 = 2\mu = 26 \right)$$

$$\sigma_{ij}^{(0)} = K_2 e_{ij}^{(0)}$$

případ prvního řádu můžeme $\sigma_I = K_1 e_I$ a proti $\sigma_E = -3p$,

j.e. $K_1/3 = k$ modul stlačitelnosti

a druhý řád → pro jednoduchý systém
elektrolytický Hookův zákon, $(k = -V_0 \frac{dp}{dv})$

$$e_s = \frac{\sigma_s}{2G} \rightarrow \dot{\gamma} = \frac{\tau}{\eta} = \text{stoj. k. napětí}$$

stoj. třískov.

Další zajímavý případ (ideální kapaliny a absolutně tuhé tělesa jsou modely)
- viskozní třískoviny, spec. v. kapaliny

Newtonův
viskozní zákon $D_s = \frac{\sigma_s}{2\eta}$ - koeficient viskozity $\frac{\partial \tau}{\partial t} = \frac{\tau}{\eta}$

odchyly od lineární závislosti

nenewtonovské viskozní látky, tříšť, nelineární vztahy

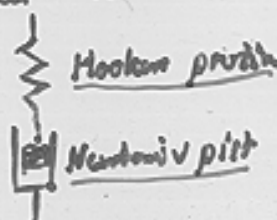
(empirické) approximace: Ostwald-de Waele $D = \frac{(\tau)^n}{2\eta^{\alpha}}$



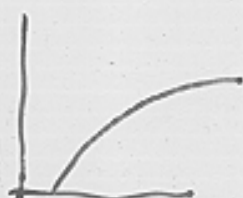
Díky: viskoelastické látky,
viskoelastické modely (lineární),
Maxwellův model H-N

Reologie

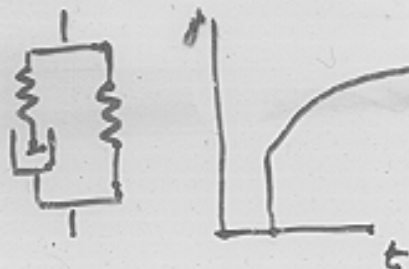
Kelvinův model H/N



- seriální



/ paralelní reakce /



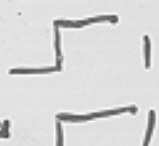
testy: toby creep

důsledek i relaxace napětí (deformace)

dynamické návratní - sinusové průběhy síly i deformace !!

síla
(zátěž)

deformace



a komplikovanější model

nebo obecně popsat

velmi pro

lineární odzvou

Komplikovanější princip, kdy odzvou nemají lineární

Saint Venantov model

"Obecně mechatologické
modely"

Prandtlův model

$$\rho = H - StV$$



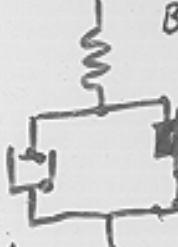
$$\rho = 0, D = 0 \text{ pro } \dot{\epsilon} < \dot{\epsilon}_0$$

$$D \neq 0 \text{ pro } \dot{\epsilon} = \dot{\epsilon}_0$$

(syntetické tělo)

Binghamov model

$$B = H - (StV/N)$$



(binghamské
plastické
kepaliny)



(plasticité tvaru)

$$+ D = 0 \text{ pro } \dot{\epsilon} < \dot{\epsilon}_0 \text{ nečinnost } \\ D = \frac{\dot{\epsilon} - \dot{\epsilon}_0}{2\eta} \text{ pro } \dot{\epsilon} > \dot{\epsilon}_0 \text{ viskoita}$$

D



D



Schredof

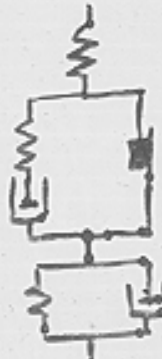
$$Schw = H - (StV/M)$$



(izotropia)

Schofield a Scott-Blair

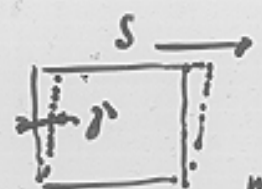
$$SSB = Schw - K$$



(movené testy)

$$\sigma_{ik} = \lambda \delta_{ik} e_{ll} + 2\mu e_{ik}$$

$$\frac{\mu}{\lambda + \mu} = \frac{F/S}{\delta}$$



mechanická
vlastnost
modul snyku (tension)
 G

inverze: nejprve vyjádřit

"lineární invariant" e_{ll} a pak oči σ_{ik}

$$\sigma_{ll} = (3\lambda + 2\mu) e_{ll} \quad \text{snysl } e_{ll} = e_{11} + e_{22} + e_{33} = \text{relativní zámena objemu} \frac{\partial V}{V_0}$$

$$(V = V_0 (1 + e_{11})(1 + e_{22})(1 + e_{33}))$$

isotropní tlak: $\sigma_{ll} = -3p$

$$\text{modul objek. pružnosti} \quad \frac{\mu}{\frac{p}{\partial V/V_0}} = \lambda + \frac{2}{3}\mu$$

invertovaný vztah

$$e_{ik} = \frac{-\lambda}{2\mu(3\lambda + 2\mu)} \delta_{ik} \sigma_{ll} + \frac{1}{2\mu} \sigma_{ik}$$

Pro naměření v taku: $\sigma_{11} \neq 0$, ostatní nulové

$$e_{11} = \left(\frac{1}{2\mu} - \frac{\lambda}{2\mu(3\lambda + 2\mu)} \right) \sigma_{11} = \frac{\lambda + \mu}{\mu(3\lambda + 2\mu)} \sigma_{11}$$

tedy modul
pružnosti v taku
(a tlaku)

$$E = \frac{\mu(3\lambda + 2\mu)}{\lambda + \mu}$$

$$e_{22} = e_{33} = -\frac{\lambda}{2\mu(3\lambda + 2\mu)} \sigma_{11} \quad \text{tedy Poissonova}$$

číslo (Poissonův číslo)

$$\text{principní krokus}/M_p = \frac{\lambda}{2(1 + \mu)}$$

$$\text{zpětně} \quad \lambda = \frac{G(E - 2G)}{3G - E}$$

$$E = \frac{F/S}{\Delta l/l}$$

$$\lambda > 0 \Rightarrow \mu < \frac{1}{2}$$

$$\mu > 0 \quad 2G < E < 3G \quad \begin{array}{l} \text{mezní hodnota} \\ \text{pro } \lambda \rightarrow \infty \text{ nestlečitelné} \\ \text{těleso } (\lambda \rightarrow \infty) \end{array}$$

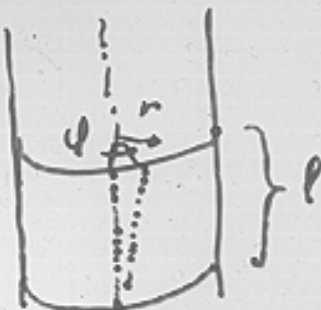


Poznámky: rozdíl mezi tensorovou napětí a deformací ne isotropní částí
a deviator - viz str 51

Formule se řeší celou úlohu tvoří pružnosti - najít σ_{ij} , U_i splňující podmínky rovnováhy (3), Hookeův zákon a okrajové podmínky, nebo σ_{ij} , e_{ij} splňující totéž + podmínky kompatibilita

Saint-Venantův princip

Torse týče s kruhovým průřezem



moment R

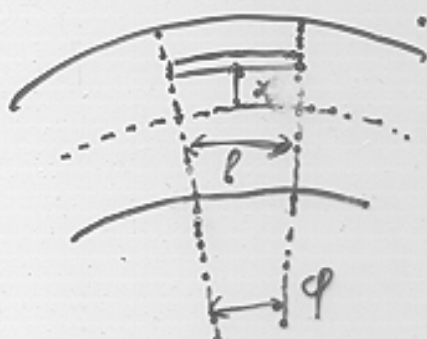
$$M = \int_0^R r \cdot 2\pi r dr \cdot G \cdot \frac{r\varphi}{l} =$$

plášť napětí

$$= \frac{2\pi G l}{l} \int_0^R r^3 dr = \underbrace{\frac{\pi G R^4 \varphi}{2l}}_{k = \text{direkční moment}} = k\varphi$$

$k = \text{direkční moment}$

Ohyb týče 1) MOMENT \leftrightarrow ZAKŘIVENÍ



neutralní vlákno
("střednice")
neutralní rovinu

$$\text{relativní prodloužení} \quad \epsilon_{11} = \frac{\Delta l}{l} = \frac{x \cdot \varphi}{l}$$

$$\text{napětí } \sigma_{11} = E \epsilon_{11}$$

$$\text{Celkové síly} \quad F = \int \sigma_{11} dS = \frac{EI}{l} \int x dS$$

průsek P

je nulové, je-li $\int x dS = 0 \rightarrow$ neutralní vlákno
prochází těmito pláštěmi

Moment sil: $M = \int x \sigma_{11} dS$

$$= \frac{EI}{l} \int x^2 dS = \frac{EI}{l} I_p$$

"plošný moment" ("schrennosti") I_p
(poznáte o hranulaci ozáhl.)

$$\frac{\varphi}{l} = \frac{1}{R} = k$$

1) krivost
poloměr krivosti

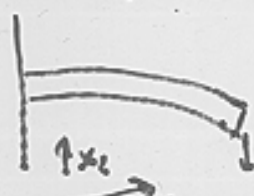
$$M = EI_p k$$

2) Tvar momentu

$$(\text{obecnější}) EI_p \left(k - k_o \right)$$

krivost ve protilehlých
vývodech v hranulaci

Naučený moment - kruhový tvar
Vektorový nosník

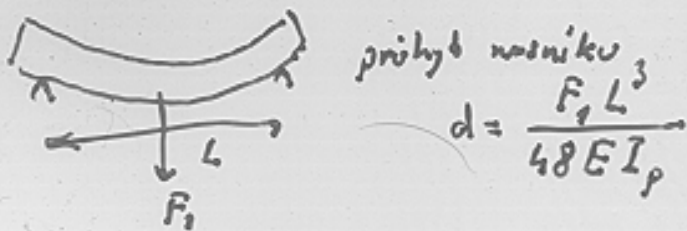


$$k = \frac{1}{R} = \frac{\frac{d^2 x_2}{dx_1^2}}{\left(1 + \left(\frac{dx_2}{dx_1}\right)^2\right)^{3/2}} = \frac{\frac{d^2 x_2}{dx_1^2}}{\frac{1}{EI_p}}$$

tedy průběh neutralního vlákna

$$\frac{d^2 x_2}{dx_1^2} = \frac{1}{EI_p} \cdot M(x_1) = \frac{1}{EI_p} F(l-x_1) \Rightarrow \text{integrujte}$$

$$x_2 = \frac{F}{EI_p} \left(\frac{Lx_1^2}{2} - \frac{x_1^3}{6} \right) \Rightarrow x_p = \frac{FL^3}{3EI_p}$$



Tekutiny

dokonale tekutine $\delta_{ij} = -\delta_{ij}\rho \quad (\rho \geq 0)$

dokonale kapaliny : nerie $\rho = \text{konst.}$

t.j. nestatické, t.j. $E_I = 0, K_p = 00$

"dokonale" plyn : $\rho = \rho(p)$ v libovolném místě \rightarrow model strukturního $K_p = 00$
barotropní (plyn, tekutina)

rovnice $-\frac{\partial p}{\partial y_i} + G_i = 0$ t.j. $\text{grad } p = \vec{G}$ - zeměd. intenzity \vec{I}

rovnice hydrostatické $\frac{1}{\rho} \text{grad } p = \vec{I} \leftarrow$ intenzita silorů
 pod

aditivní konstanta v p rovnici rovnice \rightarrow Pascalin zákon o tlaku v tekutinách

hydrostatický lis $\frac{F_2}{F_1} = \frac{S_2}{S_1}$

tlakové pole : $p = -\rho g y_1 + k \Rightarrow$ hydrostatický tlak $\Delta p = p - p_0 = \rho g h$

plyn : $pV = k \Rightarrow \rho = \frac{m}{V} \Rightarrow p = \frac{m}{k} P \Rightarrow \frac{dp}{dy_1} = -K_p \rho$

$p = A e^{-K_p y_1} = p_0 e^{-\frac{p_0}{p_0} \rho g y_1}$ barometrické rovnice

rovnice objevující plných sil - pravítní těleso - Archimedov zákon - větve

(Stevinova dráha) plavní těleso - stabilita - metacentrum

kapalina v rotující nádobě



Proudění ideální tekutiny

$$v_i = v_i(y_j, t)$$

opakování: proudnice x. trajectories,

pro stationární proudění se shodují s němi
až i indexy

$$\frac{\partial v_i}{\partial y_j} - \frac{\partial v_j}{\partial y_i} \neq 0, \text{ t.j. } \underbrace{\text{rot } \vec{v}}_{\text{výška rychlosti } \vec{J}} \neq \vec{0} \quad \text{proudění neníréné}$$

(v nízké oblasti)

$$\text{uogek: } \vec{J} = \text{rot } \vec{v} = 0 \text{ značí } \quad \text{(rotace, curl } \vec{v})$$

$$\text{proudění neníréné} \Rightarrow \vec{v} = \text{grad } f \quad |v_i = \frac{\partial f}{\partial x_i}|$$

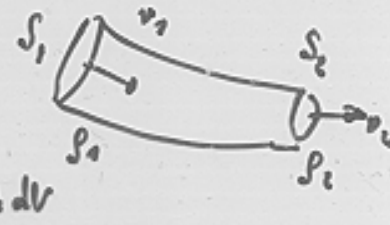
rychlostní potenciál - proudění potenciální

Rovnice kontinuity

$$\text{pro proudoprov trubici} \quad S_1 v_1 \rho_1 = S_2 v_2 \rho_2$$

$$\text{obecní: } \int \vec{v} d\vec{S} = \frac{d}{dt} \int \rho dV$$

tok vektoru plachou
pro vnitřní plachu



$$\int \vec{A} d\vec{S} = \int \text{div } \vec{v} dV$$

Gaussovo věc

$$\frac{\partial p}{\partial t} + \text{div}(\rho \vec{v}) = 0$$

$$\frac{\partial p}{\partial t} + \rho \text{div } \vec{v} = 0$$

Spec. nestlačitelní kapaliny

$$\frac{\partial p}{\partial t} + \vec{v} \cdot \text{grad } p$$

lokální konzervativní
zároveň

$$\text{div } \vec{v} = 0$$

Polytropické rovnice

$$\frac{\partial}{\partial t} \bar{v}_i + G_i = \rho \frac{\partial^2 v_i}{\partial t^2}$$

$$\downarrow$$

-grad p

$$\rho \frac{d\vec{v}}{dt} = - \text{grad } p + \vec{G}$$

$$\rho \frac{dv_i}{dt} = - \frac{\partial p}{\partial y_i} + G_i;$$

Eulerova hydrodynamická rovnice

s rovnici kontinuity

rovnice pro konzervaci

$$v_i, P$$

$$\frac{dv_i}{dt} = \frac{\partial v_i}{\partial t} + v_j \frac{\partial v_i}{\partial y_j} = I_i - \frac{1}{\rho} \frac{\partial p}{\partial y_i}$$

individuální lokální konzervativní
(sobstancionální) zvyšování

Pro stationární případ a konzervativní silové pole $\vec{I} = - \text{grad } V$ lze získat
integraci podél proudnice 1. integrál: - Bernouilleova rovnice

$$\frac{v^2}{2} + V + \int \frac{dp}{\rho} = \text{konst}$$

Pro kapaliny

$$\frac{1}{2} \rho V^2 + \rho V + p = \text{konst}$$

kinetická potenciální energie

pro $V=0$ je počítatelná sada

pro izotermické proudy $\rho = kT$:

$$\frac{V^2}{2} + V + \frac{kT}{K} = \text{konst} \quad \text{a } T = p$$

otáčky zábezními a průměr rotačního toku (například pro Couetteho tok)

laminární proudy pro celý proud

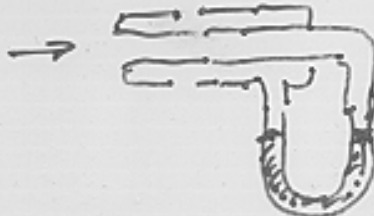


hydrodynamický paradoxon

(vodní výšky, rovníkové, karburátory atd.)

Venturiho rovník, Prandtlova trubice

Viskozni' tekutina



$$\sigma_{ij} = -\delta_{ij} p + \tau'_{ij}$$

$\tau'_{ij}^{(s)} + \tau'_{ij}^{(d)}$

isostaticus deviator

$$\text{tedy } \tau_{ij} = -\delta_{ij} p + k D_{ij}^{(s)} + 2\eta D_{ij}^{(d)} = -\delta_{ij} p + \frac{1}{3} k \delta_{ij} D_I +$$

$$+ 2\eta D_{ij} - \frac{2}{3} \eta D_I \delta_{ij} \quad \text{kde } D_I = \operatorname{div} \vec{v}$$

pro nestloučitelnou tekutinu = 0

Navier-Stokesovy rovnice:

$$\text{tedy pak } \tau_{ij} = -\delta_{ij} p + 2\eta D_{ij}$$

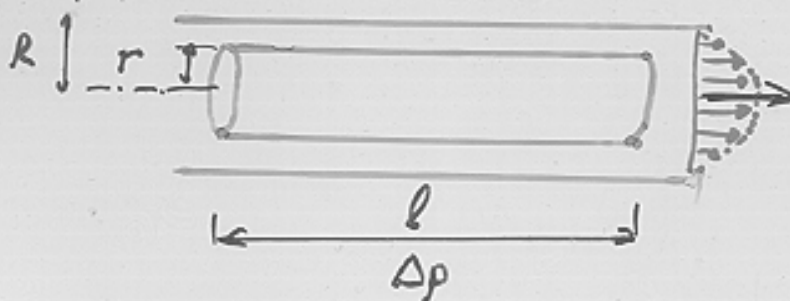
$$\text{a } \frac{d\vec{v}}{dt} = \vec{F} - \frac{1}{\rho} \operatorname{grad} p + \frac{\eta}{\rho} \Delta \vec{v} \quad \text{a pro stálého}$$

$\longrightarrow + \longrightarrow + \frac{k+\eta}{3\rho} \operatorname{grad} \operatorname{div} \vec{v}$

$(\Delta = \operatorname{div} \operatorname{grad})$

$\frac{\eta}{\rho}$ kinematická viskozita

$$\text{Proudini' trubici'} - \Delta p \cdot \pi r^2 = 2\pi r l \eta \cdot \frac{dr}{dt} \Rightarrow -\frac{\Delta p}{2l\eta} \cdot r \cdot dr = dt$$



$$v = k - \frac{\Delta p r^2}{4\eta l}$$

$$r = \frac{\Delta p}{4\eta l} (R^2 - r^2)$$

a objem V za čas t :

$$\frac{V}{t} = \int_0^R v \cdot 2\pi r dr = \frac{2\Delta p}{4\eta l} \int_0^R (R^2 r - r^3) dr$$

$$\text{tedy } \frac{V}{t} = \frac{\pi \Delta p R^4}{8\eta l}$$

$$\Delta p = \frac{8\eta l V}{\pi R^4 t}$$

Poiseuilleův ritah
(veorice)

$$\dots \quad (+ \frac{mg \bar{v}^2}{\text{čili } \frac{mg V^2}{\pi^2 R^4 t^2}}) \quad \text{Hagenova formule}$$

Hagenov-Poiseuilleův ritah /

$$\text{Proudini' laminární } Re = \frac{2R\bar{v}}{\eta} = \frac{2R\bar{v}\rho}{\eta} \quad \text{Reynoldsovo číslo}$$

pro $Re < Re_k$

kritické hodnoty 1000 až 2000 (až 20 000)

x turbulentní
(pek odpor $\propto v^2$)

Obtíkaná koule: $F = 6\pi\eta r v$ Stokesův ritah

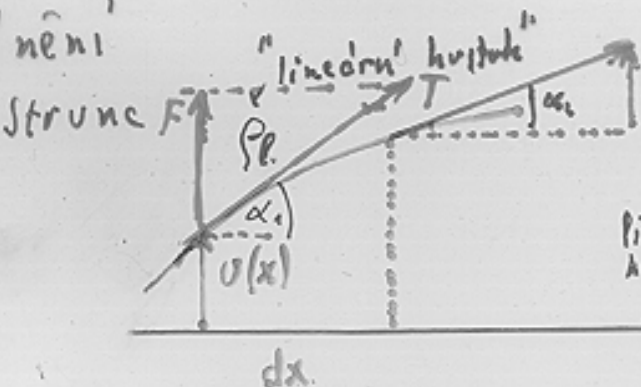
větší rychlosť - opět turbulentní proudění ($Re = \frac{vR}{\eta} = \frac{vR\rho}{\eta}$)

Aerodynamika ~ Newtonův ritah $F = \frac{1}{2} \rho S v^2$ $Re_k = ?$
Odpor a rítak, křídla, odtržení, názn. rustrý

Metody podobnosti
modely



Vlnění



$$F = T \sin \alpha \approx T \tan \alpha = T \frac{du}{dx} \quad 59$$

$$dx \cdot \rho_l \cdot \frac{\partial^2 u}{\partial t^2} = F(x+dx) - F(x) = \frac{\partial F}{\partial x}$$

$$\rho_l \frac{\partial^2 u}{\partial t^2} = T \frac{\partial^2 u}{\partial x^2}, \text{ tedy}$$

$$\frac{1}{c^2} \frac{\partial^2 u}{\partial t^2} = \frac{\partial^2 u}{\partial x^2} \text{ cíleme } \frac{1}{c^2} \frac{\partial^2 u}{\partial t^2} - \frac{\partial^2 u}{\partial x^2} = 0$$

je t.zv. vlnové rovnice (je to lineární parciální diferenciální rovnice 2. řádu hyperbolického typu)

kde jsou označili $c = \sqrt{\frac{T}{\rho_l}}$ - fázová rychlosť vlny

Rешení různými sposoby:

$$1) \text{ D'Alembertův zákon } u = f_1(x-ct) + f_2(x+ct)$$

olvé postupné vlny
s opačným směrem

analogie: d.e. vedení
(elektrické proudy)

$$u \leftrightarrow \text{ síla } F \quad \text{rychlosť } v = \frac{\partial u}{\partial t} \Leftrightarrow i$$

$$\text{rovnice } \frac{\partial F}{\partial t} = T \frac{\partial u}{\partial x} \quad \frac{\partial v}{\partial t} = \frac{1}{\rho_l} \frac{\partial F}{\partial x}$$

- výkon P = F \cdot v = tok energie
- pro post. vlnu f_2 je posil

$$\frac{F}{v} = \frac{T}{c} = \rho_l c = \sqrt{T \rho_l} \quad \text{vlnová impedance vedení}$$

určení f_1, f_2 :

odraz na konci - okrajové podmínky -
příčemí podmínka

$u(0) = 0$ nulová výchylka
→ opačný fáz

nulová síla
→ střední fáz
vlnová impedance
→ bez odporu
(prizpůsobení)

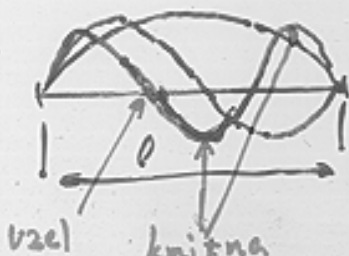
$$2) \text{ separace proměnných } u(x, t) = f_x(x) f_t(t) \left| \frac{\partial u}{\partial x} \right|_{x=0} = 0 \quad \text{nulová síla}$$

$$\frac{1}{\rho_l} f_x''(x) f_t(t) = f_x''(x) f_t''(t)$$

$$\frac{1}{\rho_l} \frac{f_t''(t)}{f_t(t)} = \frac{f_x''(x)}{f_x(x)} = C_0 \Rightarrow f_x(x) = C_1 \cos(kx + \varphi_1)$$

$$f_t(t) = C_2 \cos(\omega t + \varphi_2)$$

$$u = C_3 \cos(kx + \varphi_1) \cos(\omega t + \varphi_2) \quad \text{stojaté vlny}$$



$$C = \frac{\omega}{k}$$

$$k \cdot l = n \pi \quad n = (0, 1, 2, 3, \dots)$$

Splňující příčemí podmínky - rozklad funkce (periodické)
ne Fourierova řada.

Harmonické postupné vlny: $v = A \cos(\omega t - kx + \varphi_0)$

$$\omega = \frac{2\pi}{T} = 2\pi f \quad k = \frac{2\pi}{\lambda} = 2\pi n \quad v = \frac{\omega}{k}$$

↑ ↑ ↑
číslo frekvence číslo vlny vlnová délka

opět $v = \frac{\omega}{k}$ komplexní zápis: $v = A e^{i(\omega t - kx)}$

Zobecnění na 3 rozměry: $\frac{1}{v^2} \frac{\partial^2 v}{\partial t^2} = \underbrace{\frac{\partial^2 v}{\partial x_1^2} + \frac{\partial^2 v}{\partial x_2^2} + \frac{\partial^2 v}{\partial x_3^2}}$

řešení vektorem
 $v = A e^{i(\omega t - kr)}$

$\Delta v = \operatorname{div} \operatorname{grad} v$
Laplaceův operátor

rovinné monochromatické vlny vektor $\vec{k} \perp k$ vlnoplášť
a velikost splňuje opět $v = \frac{\omega}{k}$

Vlnami v pravidelných prostředích:

$$\rho \frac{d^2 v_i}{dt^2} = \frac{\partial^2 v_i}{\partial x_k} = \partial_k \zeta_{ik} = \lambda \delta_{ik} e_{ll} + 2\mu \partial_k e_{ik}$$

$$\zeta_{ik} = \delta_{ik} \cdot \lambda e_{ll} + 2\mu e_{ik} \quad \partial_k v_l \quad \mu \underbrace{\partial_k \partial_i v_k}_{\partial_i \partial_k v_l} + \mu \partial_k \partial_k v_i$$

tedy $\rho \frac{d^2 v_i}{dt^2} = (\lambda + \mu) \partial_i \partial_k v_k + \mu \partial_k \partial_k v_i$
(zároveň konzervativní)

Příklad: V závislosti jen na x_1 :

$$\rho \frac{d^2 v_1}{dt^2} = (\lambda + \mu) \partial_1 \partial_1 v_1 + \mu \partial_1 \partial_1 v_1 = (\lambda + 2\mu) \frac{\partial^2 v_1}{\partial x_1^2} \quad \text{- podélné vlny}$$

$$\rho \frac{d^2 v_2}{dt^2} = \mu \partial_2 \partial_2 v_2 = \mu \frac{\partial^2 v_2}{\partial x_2^2} \quad \text{průříčné rychlosti}$$

podobně s v_3 - polarizace

síření kmitů v týci: $C = \sqrt{\frac{E}{\rho}}$ v tekutině: $C = \sqrt{\frac{\rho}{\mu}}$ odraz: $d\rho = -\frac{\partial \rho}{\partial x} \rho \cdot dx$

objem stlačitelnosti: $= \frac{1}{\rho}$ $\frac{d\rho}{\rho} = -\frac{dV}{V} = -\frac{\partial \rho}{\partial x} \cdot \frac{\partial V}{\partial x}$

$\rho_2 = \frac{\partial \rho}{\partial x} \cdot \rho \cdot \frac{\partial V}{\partial x}$

Princip superpozice

interferencie: Konstrukтивní
destruktivní
částečné

61

- Stejná frekvence + stejný vln. vektor - ekvinentní skladání kmití
(v příčného vlnání v různých směrech - vlnky polostroje (lineární, kruhové, eliptické))
- Obecní vlnové vektory - možnost vzniku částečně i v plném stojatém vlnání $e^{i\omega t+kx} + e^{i\omega t-kx} = e^{i\omega t} \cdot 2 \cos(kx)}$
(říkejte při odrazu - ponor stojatých vln)
- Může se lišit vlnové vektory a frekvence - důležitě pro případ kdy obecné závislost $\omega = \omega(k)$ není jednoduchá - pravidlo smeru - "dispersní zákon"

$$e^{i(\omega t-kx)} + e^{i((\omega + \Delta\omega)t - (k + \Delta k)x)} \\ = C e^{i((\omega + \frac{\Delta\omega}{2})t - (k + \frac{\Delta k}{2})x)} \underbrace{\cos(\frac{\Delta\omega}{2}t - \frac{\Delta k}{2}x)}$$

modulace amplitudy

maximum se pohybuje s grupovou rychlosťí $C_G = \frac{\Delta\omega}{\Delta k}$

a rohne-li $\Delta\omega$ male $C_G = \frac{d\omega}{dk}$. Zdechněl - v trojrozměrném případě, při superpozici více vlnodů zdrojení vln lze vytrnit vlnový balík (klubko), který se pohybuje grupovou rychlosťí $C_G = \text{grad}_k \omega$ (závislost $\omega(k)$ je pak fáz vektoru k)

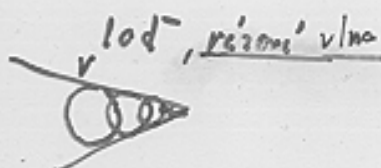
(důležitě v kvant. mechanice - písomí teorie perovských látek, sonony, a.t.d.)

- Sférické (kulové) vlny - v isotropním prostředí ($\epsilon_f \mu_0 \sigma = \text{stejný}$ (rozšíření))

$$v(r,t) = \frac{a}{r} e^{i(\omega t - kr)}$$

$\vec{p}_{WSE} = \text{poloha, směr}$

Huygenson - Fresnelov princip
 $t + \Delta t$, obálka kulových elementárních vlnoploch



Povištěl: zákon lomu a odrazu (Huygenson konstrukce)

- jde o událost i přes vlnové vektory - teď si myslíte, že máme objektivní jazyk. Pořádání vzdáleno - Kirchhoffův vzorec.

monochromatické vlny $U = U e^{i\omega t}$

$$\Delta U = -k^2 U$$

$$k = \frac{\omega}{c}$$

(okraj podnižky):
vlastní kmity
pro membránu a desku
Chladniho obrazce

Kirchhoffův vzorec:

z Gaussovy věty

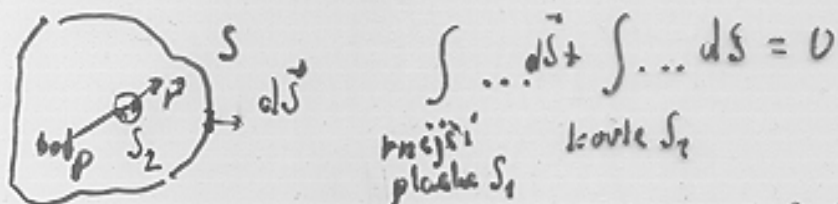
$$\int_S (U \nabla V - V \nabla U) d\vec{S} = \int_V (\nabla U \cdot \nabla V - V \nabla \cdot \nabla U) dV =$$

Greenova věta

$$= \int_V (U \Delta V + (\nabla U) \cdot (\nabla V) - (\nabla U) \cdot (\nabla V) - V \Delta U) dV = \int_V (U \Delta V - V \Delta U) dV$$

a splňují-li $U; V$ vlnovou rovnici, rovní se to 0

daleko polohu $V = \frac{e^{-ikr}}{r}$ $\Rightarrow \text{grad } V = -\left(\frac{1}{r^2} + \frac{ik}{r}\right) e^{-ikr} \frac{\vec{r}}{r}$



$$\int_{S_1} \dots d\vec{S} + \int_{S_2} \dots d\vec{S} = 0$$

konečné
plochy S_1, S_2

Pre polohu P : $\int_S U \text{grad } V d\vec{S} \rightarrow U(P) \cdot 4\pi R_k^2 \cdot \left(\frac{1}{R_k^2} + \frac{ik}{R_k}\right) \rightarrow 4\pi U_P$
 kde $R_k \gg 0$, kde S_1, S_2

$$\int_S V \text{grad } U d\vec{S} \rightarrow 0$$

konečné S_2

a dle Kirchhoffův vzorec $U = \frac{e^{-ikr_2}}{r_2}$

$$\text{grad } U = -\left(\frac{1}{r_2^2} + \frac{ik}{r_2}\right) e^{-ikr_2} \frac{\vec{r}_2}{r_2}$$

$$U(P) = \frac{1}{4\pi} \int_{S_1} \left(\frac{e^{-ikr}}{r} \text{grad } U - U \text{grad } \frac{e^{-ikr}}{r} \right) d\vec{S}$$

a pro $kr \gg 1, kr_2 \gg 1$

$$U_P = \frac{i}{2\lambda} \int \frac{e^{-ik(r+r_2)}}{rr_2} \left(\cos(\vec{r} \cdot \vec{n}) - \cos(\vec{r}_2 \cdot \vec{n}) \right) d\vec{S}$$

$$= \int_S U(\vec{r}_s) G(\vec{r}_s, \vec{r}) d\vec{S}$$

Greenova funkce

Dopplerův jev



a) polohy zdroje

? se sítou vznik
zvuk c
zdroj v

$$(\lambda = \frac{c - v}{v}) \quad v'$$

$$\text{zdrojem} \rightarrow \text{v pohybu} \frac{c}{c - v}$$

$$v' = v \cdot \frac{c}{c - v} = \frac{v}{1 - \frac{v}{c}}$$

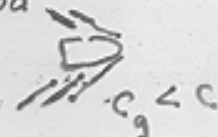
$$(\lambda = \frac{c}{v}) \quad v = \frac{c - v}{\lambda}$$

$$v' = v \left(1 - \frac{v}{c} \right)$$

b) polohy pozorovatele

$$\text{obecně} \quad v' = v \frac{c - v_p}{c - v_2}$$

využití: měření rychlosti (radare, kontrole), Hubbleův mysl jasem
akustika, intenzita zvuku $P = \frac{1}{2} \rho c v_m^2$ || $v > c$
vlakové impedience $(\omega \delta_m)^2$ || Machův kritický
Machov číslo
"lod"



$$I_0 = 10^{-12} \text{ W/m}^2 \text{ refer. hlesáka} + \text{logaritmické stupnice}$$

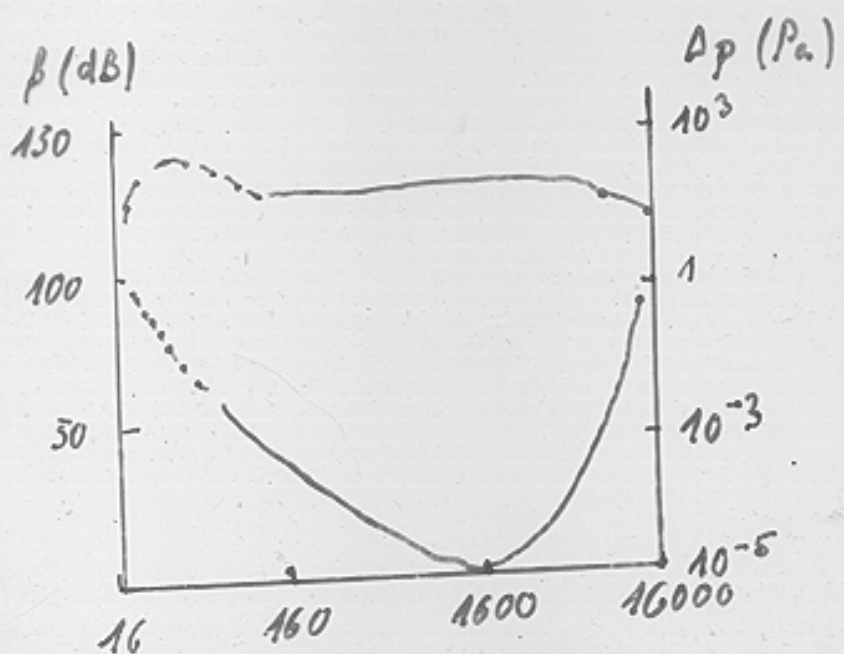
$$\text{hlesáková intenzita zvuku} \quad \beta = (10 \text{ dB}) \cdot \log_{10} \frac{I}{I_0}$$

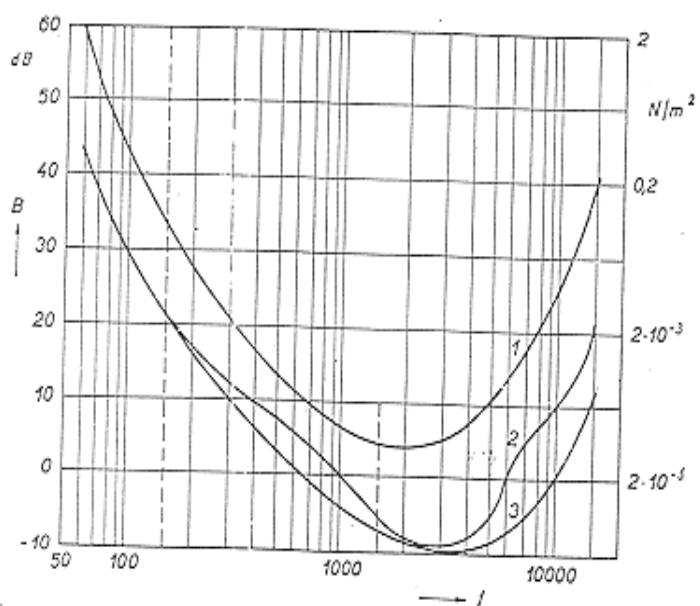
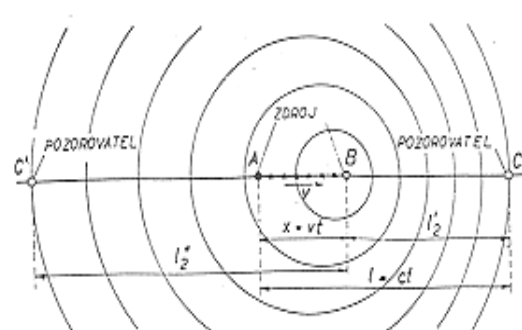
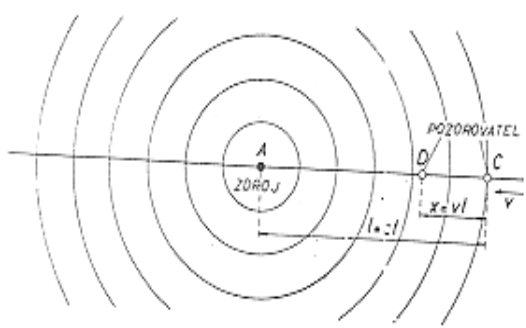
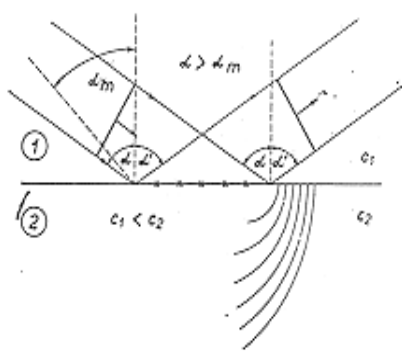
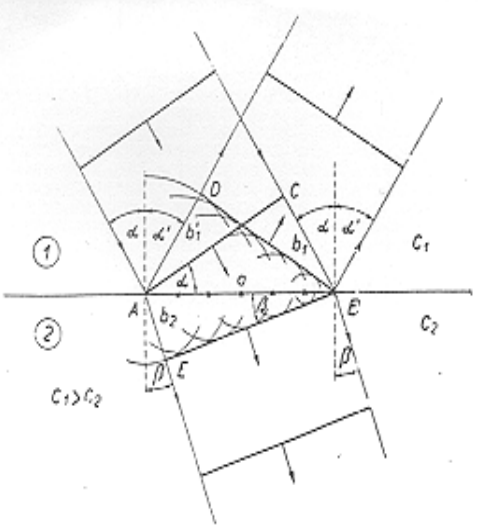
Hudební nástroje

zdroje → struna, píšťala, deska, membrána

zvuk 16 Hz - 16 kHz, ultrazvuk (kaníče), infrazvuk

práh slýchitelnosti, práh bolesti



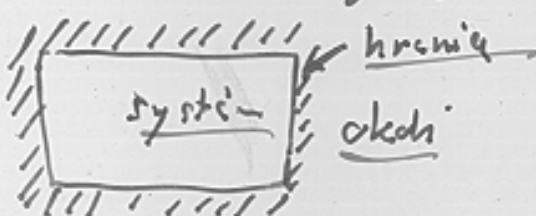


25,10 Závislost sluchového prahu na kmitočtu.

1 — Monaurální prah sluchu vyjádřený zvukovým tlakem při bubince
2 — Binaurální prah ve volném poli při odrazu ze píedu
3 — Binaurální prah při dopadu ze všech směrů.

Základní pojmy termodynamiky

- zabyje se využíváním pravidel o energii větší energie předávání mezi sledovacími systémy - t.j. termodynamickou soustavou - a okolím - zajímá se formě tepla. Je to fenomenologické mnoho - zkratka růží něž přímo pozorování vlastností systémů (objem, délka, tlak, polárna), t.j. mikroskopických vlastností, které charakterizují systém jeho celku. Zároveň jsou některé obecné charakteristiky nezávislé na okolí.



příklad termodynamického systému
plyn v nádabe
zachování a deformace t.j.
vzrůst

soustava - látka "jednotné struktury", chemické individuální (vodík, voda, ...)
část homogenní část soustavy s definovanou hranicí

Interakce systému s okolím (kapalina, plyn, vzrůst)

a) pozor (stříbrný, magnetický, polární)

b) redeninu tepla (zahrnující plamen, povrchy a tepelné lázně)
achybabilis stěny (nepropustné teplo - deventer)

elektrotermické stěny - typ kontaklet (např. keramika)

termodynamické rovnováha - neprůchývě mechanické unice ani výměnu tepla

Pokud lze popsat stav stacionárního rovnováhy až užíváním tepla
st. rovnováhy / interní (dlaž. v 1 bodu - teplota, tlak, hustota, el. pole) / okolí

jiné dělení: / externí (vztahuje se na celý svět - objem, hustota, mimo energii)

/ vnitřní (charakterizuje vnitřní stav - hustota, energie, polárnost)

počet stupňů volnosti - počet nezávislých stacionárních relací v určitém stavu systému

děje - kvalitativické (systém je v každém okamžiku v rovnováze)

vratný ↓
nevratný

Termodynamika

Termodynamické soustava - teplotní rovnováha $A \cdot B, B \cdot C \Rightarrow A \sim C$

Teplota, "nultý zákon termodynamiky" (transitivnost teplotní rovnováhy)

teplotní stupnice, ${}^{\circ}\text{C}$ ${}^{\circ}\text{R}$ ($80^{\circ}\text{R} \equiv 100^{\circ}\text{C}$) a ${}^{\circ}\text{F}$ ($0^{\circ}\text{C} \equiv 32^{\circ}\text{F}$, $100^{\circ}\text{C} \equiv 212^{\circ}\text{F}$)

teplotní růstoviny, (lít, toluen, ...), plyny, termodynamické stupnice

T_0 (tróz) bod rody $\equiv 273,15\text{ K}$ (kelvin) K "ideální plynová teplota"

(odporový Pt teploměr, termometr) IPTS-68, první body, sekundární body

Teplotní růstoviny těkavých látek - délka, objem, bimetál $\xrightarrow{\text{invar}}$ j. aplikace,

$$l = l_0(1+\alpha t) \quad V = V_0(1+\beta t) \quad \beta = 3\alpha$$

kopeling - objem. růstoviny β - anomalistický $\gamma = \frac{1}{273,15\text{K}} = \frac{1}{T_0} \quad T = T_0 + t$

plyny - isobarický dej - růstovina $V = V_0(1+\gamma t) \approx V_0 \frac{T}{T_0} \quad \frac{\text{Gay-Lussac}}$

isochorický dej - rozpršení $p = p_0 / (1 + \gamma t) = p_0 \frac{T}{T_0} \quad \text{Charles}$

isotermický dej - $pV = \text{konst} - \text{Boyle-Mariotte}$

(rozpršení, expenze, stříhaní-komprese)

odchylky - menší pro nižší tlak \rightarrow ideální plyn (blízko - vzdálen)

$$\downarrow \quad \text{stavové rovnice} \quad pV = nRT$$

reálný plyn

použit. notace

mol - použit. cílem 12C ve 12g této

$6,02 \cdot 10^{23}$ Avogadro. konst.

teplota - název fluidum (kálorikum)

fluidum teorie (praktický latentní teplo)

Rumford 1798 - teplo vzniklé při určitém dělení

Joule 1840-73 mechanický ekvivalent teply

Mayer 1842 - rozdíl $\frac{1}{2}(C_p - C_v) = p_0 \cdot \Delta V = p_0 V_0 \cdot \gamma = \frac{p_0 V_0}{T_0} \quad \gamma$

$$(C_p - C_v = R)$$

$$\gamma = 4,186 \text{ J/cal}$$

Helmholtz 1847 - ekvivalence (Jah) Mayerov nárok

princip energie

teplota ekvivalent práce $K = \frac{1}{\gamma} = 0,2389 \text{ cal/J}$

1. hlavní věta termodynamické teplota = druh energie, může se měnit

v průběhu a obnovit

termodynamické soustava - může konat práci či dodávat teplo 2) ne "uvidět"

energií U , U závisí pouze na stavu - stavové veličiny

$U_c - U_f = Q - A$ Q - teplo dodané systému, A práce vykonané systému

Q, A „dějové“ veličiny

$$\frac{dQ}{dA} = dU + p dV$$

^{úplný}
dU - totální diferenciál

dQ ne (Pfaffova forma) $dQ = \sum A_i (q_i) dq_i$

Ohraničení / ohlášení: teplotné kapacity ($= \frac{dQ}{dT}$) (Diferenciální
měrné — " —)
molární — " — kalorimetrie (sériovou
pro plyny se výrazně liší) C_V — při stále objemu
 C_p ... tlaku

$$C_p - C_v = R$$

$$C_v = \left(\frac{\partial U}{\partial T} \right)_v$$

$$C_p = \left(\frac{\partial U}{\partial T} \right)_p + P \left(\frac{\partial V}{\partial T} \right)_p$$

tedy vlastní: Mayerův vzorec $\frac{dU}{dT} = C_v - \frac{R}{V}$

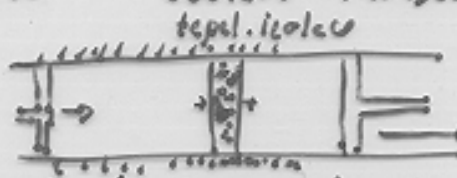
i-k-lí $\left(\frac{\partial U}{\partial T} \right)_V = \left(\frac{\partial U}{\partial T} \right)_P \dots ?$ To by patřilo obecně k výplňbám,

pokud by U závisela i na V (např. p/V)

- pokud Gay-Lussacův



Jouleův - Thomsonův



gradienční
výměnník
průvodu
(rata?)

Ternary diagram showing the relationship between pressure p , volume V , and temperature T for an ideal gas. The vertices represent pure components, and the interior represents mixtures.

! ideální plyn — splňuje stav. rovnici ideálního plynu a jeho vnitřní

energie závisí pouze na teplotě $\Rightarrow U = C_v T + \text{konst}$

isothermický dej: $T = \text{konst}$ $dQ = dA = p dV$

$$Q = A = \int p dV = RT \int \frac{dV}{V} = RT \ln \frac{V}{V_0} \quad \boxed{= RT \ln \frac{P_0}{P}}$$

isochorický dej: $V = \text{konst}$

$$A = 0 \quad Q = C_v (T_1 - T_0)$$

isobarický dej: $p = \text{konst}$

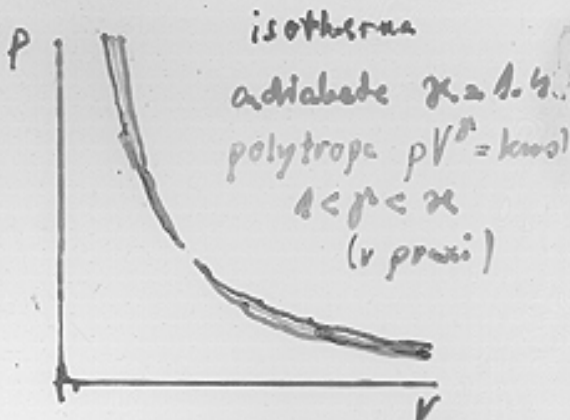
$$dQ = C_v dT + p dV = (C_v + R) dT = C_p dT$$

$$Q = (C_v + R)(T_1 - T_0) = C_p (T_1 - T_0)$$

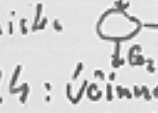
adiabatický dej: $dQ = 0$ $C_v dT + p dV = 0$ $C_v dT + \frac{RT}{V} dV = 0$

$$\frac{C_v dT}{T} + \frac{R dV}{V} = 0 \quad C_v \ln T + R \ln V = \text{konst.} \Rightarrow T \cdot V^{\frac{R}{C_v}} = k'$$

$$\text{tedy (Poissonova) rovnice } PV^{\frac{R}{C_v}} = k'' \quad \text{až } k'' = \frac{C_p}{C_v} \quad PV^{1+\frac{R}{C_v}} = k''$$



Výměna tepla: teplotní rozdíl
děje neplatné

vratné - opět ideálníce
Tepelný stroj - chladnička 
Sadi Carnot 1824: účinnost píšou
Clausius 1850: teplo v práci
zpravidla I. růžy největší
pro pravý
stroj

Carnotův cyklus mezi teplotami T, T_0 (isothermy, adiabaty)

I isothermické expenze - ohřívání

$$Q = RT \ln \frac{V_2}{V_1} = A_I$$

II adiabatické expenz

$$A_{II} = U_2 - U_3 = C_v (T - T_0)$$

III isothermické komprese

$$Q_0 = R T_0 \ln \frac{V_3}{V_4} = A_{III}$$

IV adiabatická komprese

$$A_{IV} = U_4 - U_1 = C_v (T - T_0) = A_{II}$$

Cyklický průběh:

$$p_1 V_1 = p_2 V_2, p_2 V_2^x = p_3 V_3^x, p_3 V_3 = p_4 V_4, p_4 V_4^x = p_1 V_1^x$$

$$\Rightarrow V_2^{x-1} V_4^{x-1} = V_1^{x-1} V_3^{x-1} \Rightarrow V_2 V_4 = V_1 V_3 \text{ t.j. } \frac{V_2}{V_1} = \frac{V_3}{V_4}$$

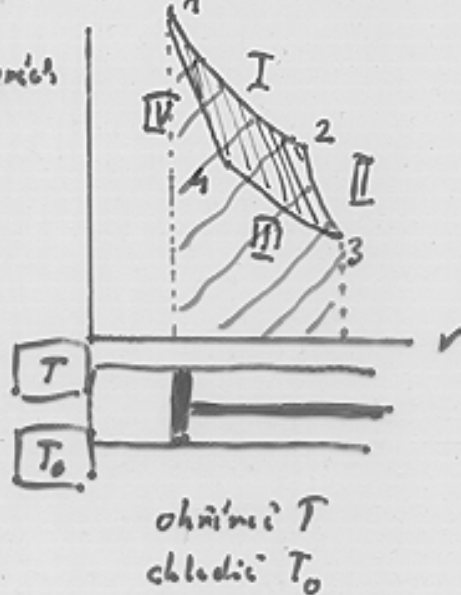
Bilancovat odeběrivo Q z ohřívání Q_0 přidáme chladit?

průběh $A = A_I - A_{III} = Q - Q_0$, a účinnost $\eta = \frac{A}{Q} = \frac{Q - Q_0}{Q} = \frac{T - T_0}{T}$

(lednický ohřevní faktor $K = \frac{(Q_0)}{A} = \frac{T_0}{T_1 - T_0}$
tep.pumpe: $K = \frac{A}{Q_0} = \frac{T_0}{T_0 - T_1}$)

Uvítěznení Carnotova: Clausius (1850): Teplotu nemůžete srovnat s fázemi studených a teplých!

Thomson (Lord Kelvin 1851): Neexistují srovnatelné teploty, které mají jen
tím, že lze se jednou hmotou ochlazovat na vící teplotu, než je
nejvhodnější, může různý



Planck: velce hustý/periodický stroj, ktorý by použil ochlazovací tepelnou činnosť a ktorú využíva proti.

Carnotové rôzne: rôzny rozhľad stroj prevežie meniace teplotu až do súčasnosti, rôzny nepraktický stroj neži učinok/ meni;

Ekvivalentné rôzne formule:

Diskedek: pre vratný Carnotov cyklus je $\eta = 1 - \frac{Q_2}{Q_1} = 1 - \frac{T_2}{T_1}$

nerovnosť na lebe systému \Rightarrow termodynamické stupňu teplosti

(kdežto všetky fyzikálne, je řešení s ideálnym plynom tepelnou)

Dále: $\frac{Q_1}{Q_2} = \frac{T_1}{T_2} \Rightarrow \frac{Q_1}{T_1} = \frac{Q_2}{T_2} \xrightarrow{\text{odvodenie}} \text{pro teplu dodanú (systém)} \frac{Q_1}{T_1} + 0 \cdot \frac{Q_2}{T_2} + 0 = 0$

teda $\oint \frac{dQ}{T} = 0$ pro vratnú dejú

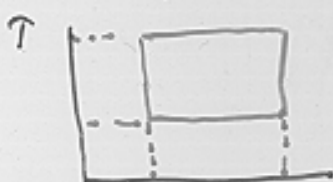
Uzáver: \Rightarrow existencia sterové funkcie S také, že $\frac{dQ}{T} = dS$ - entropia

($\frac{1}{T}$ je integrální faktor Pfeffing formy dQ)

Nevratná dejú: $\eta = \frac{Q_1 - Q_2}{Q_1} < \frac{T_1 - T_2}{T_1} \Rightarrow \frac{Q_1}{T_1} - \frac{Q_2}{T_2} < 0$, t.j. $\oint \frac{dQ}{T} < 0$

a $\int\limits_{\text{nerr}}^K \frac{dQ}{T} < \int\limits_{\text{vhod}}^K \frac{dQ}{T} = S_K - S_0$ a pro isol. systém $S_K - S_0 > 0$
pri nevrat. dejú entropia
isol. systému nastane

Carnotov cyklus v diagramu $T-S$

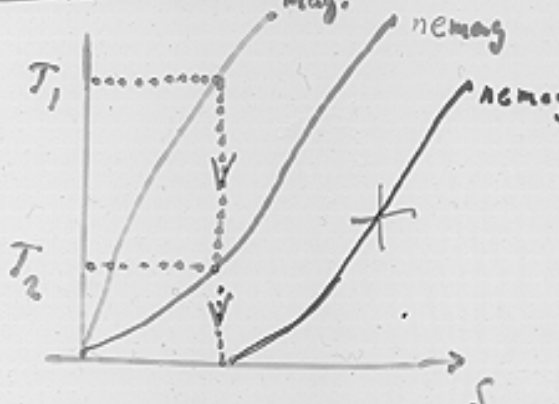


III vrátne termodynamické - odvoziteľnosť absolutnej nuly - chovanie systému v blízkosti - netre smieť teplotu libovolného systému nebo jeho časti k absolutnej nuli koncentrácií posúten kratek

$$\equiv \lim (\Delta S) = 0 \text{ - pro } T \rightarrow 0$$

$T \rightarrow 0$ se mali entropii rôznych staveb blízko k nule

Priklad: adiabatické demagnetizácia



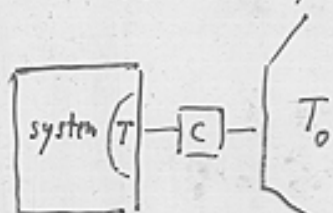
$$\delta Q = dU(T, V) + p(T, V) dV$$

$$\partial_T U \, dT + (\partial_V U + p) \, dV$$

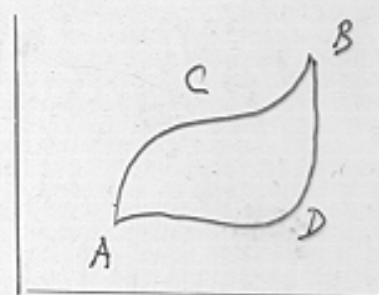
$$\oint \frac{\delta Q}{T} = 0 \text{ reverz.}$$

< 0 irreverzib.

(Clausiova věta)



V



$$\int_{ACBDA} \frac{\delta Q_{rev}}{T} = 0$$

$$S_B - S_A = \int_{ACB} \frac{\delta Q_{rev}}{T} = \int_{ADB} \frac{\delta Q_{rev}}{T}$$

$$dS = \frac{\delta Q_{rev}}{T}$$

$$\geq \frac{dQ}{T}$$

$$\geq \int_{ADB} \frac{dQ}{T}$$

$$\underline{TdS = dU + p dV}$$

$$dU = TdS - p dV$$

$$dU = TdS + \sum X_i dx_i$$

$dS \geq 0$ pro izolovaný systém

degradace energie

Důsledky 2. věty termodynamiky:

$$TdS = dU + p dV \quad dU = \left(\frac{\partial U}{\partial T} \right)_V dT + \left(\frac{\partial U}{\partial V} \right)_T dV \quad (\dagger)$$

$$dS = \frac{1}{T} \left(\frac{\partial U}{\partial T} \right)_V dT + \underbrace{\frac{1}{T} \left(\left(\frac{\partial U}{\partial V} \right)_T + p \right) dV}_{\frac{\partial S}{\partial V}}$$

$$\frac{\partial S}{\partial T} \downarrow \quad = \frac{\partial}{\partial T} \downarrow \quad (\text{závislost 2. derivací})$$

$$\cancel{\frac{1}{T} \frac{\partial^2 U}{\partial V \partial T}} = \frac{\partial}{\partial T} \left(\frac{1}{T} \left(\left(\frac{\partial U}{\partial V} \right)_T + p \right) \right) = -\frac{1}{T^2} \left(\left(\frac{\partial U}{\partial V} \right)_T + p \right) + \frac{1}{T} \frac{\partial^2 U}{\partial T \partial V} + \frac{1}{T} \left(\frac{\partial p}{\partial T} \right)_V$$

$$\left(\frac{\partial U}{\partial V} \right)_T = T \left(\frac{\partial p}{\partial T} \right)_V - p \quad \begin{matrix} \text{vztah mezi stárodnou formou} \\ \text{a tepelnými vlastnostmi} \end{matrix}$$

$$\text{tedy } pV = nRT \Rightarrow \left(\frac{\partial U}{\partial V} \right)_T = 0$$

$$\text{nebo obrácení pokud } \left(\frac{\partial U}{\partial V} \right)_T \neq 0 \quad \begin{matrix} \text{(vnitřní energie} \\ \text{zob. jen m. teplotě)} \end{matrix}$$

c. $pV = f(T)$ (Boyle - Mariotte), pak

$$T \left(\frac{\partial p}{\partial T} \right)_V = T \cdot \frac{f'(T)}{V} = p = \frac{f(T)}{V}$$

$$\frac{df(T)}{f(T)} = \frac{dT}{T}, \quad \ln f(T) = \ln T + \text{kost}$$

$$\therefore f(T) = k' \cdot T, \quad \text{t.j. platí 'staromí' formule ideál plazm}$$

Jiné forma $(*)$

$$dU = TdS - pdV \quad \text{v proměnných } S, V: \quad T = \left(\frac{\partial U}{\partial S} \right)_V, \quad p = - \left(\frac{\partial U}{\partial V} \right)_S$$

- proměnné T, V :

$$\left(\frac{\partial T}{\partial V} \right)_S = - \left(\frac{\partial p}{\partial S} \right)_V$$

$$F = U - TS - \underline{\text{vnitřní energie}} \quad dF = -SdT - pdV$$

(Legendreova transformace) \quad (pri vratném termickém dílu)
 zálež. v. e. = výkonnost příj

- průměrní S, P

$$H = U + pV \quad \underline{\text{enthalpie}} \quad (\text{teplotu} 'obzah}) \quad dH = TdS + Vdp$$

znamená = přijaté teplo při izobarickém deji:

průměrní T, P

$$(\text{i.e. platí: } H = CpT + H_0)$$

$$G = U + pV - TS \quad \underline{\text{Gibbsův termodynamický potenciál}} \quad dG = - SdT + Vdp$$

(tečk. volné enthalpie)
pri změně skupenství (konst. T, P) spojit'

Kinetické teorie

mikroskopický výkles tepelných jevů - atomy, molekuly, teploty, průměr
úrby v rámci 17. století, rozpracování R. E. Clausius, J. C. Maxwell
(rozdíl mezi teorií 1860), koncem 19. století J. Gibbs a L. Boltzmann
nejjednodušší případ plynů, pak krystalické tuky (těkky), nejdříji
 P kapaliny (a amorfické tuky / těkky)

představa molekul jako kruhové částice s koncemi poloměrem
srážek molekul (například částek) - jinak rovnouří působení průměr
z hlediska počtu rovníků. základní problém prakticky neroešitelný
(i když možný)

\Rightarrow statistický metod \rightarrow statistické fyzika - statistické

(pojmu z teorie pravděpodobnosti pravděpodobnost) $w_{ij} = \lim_{n \rightarrow \infty} \frac{n_i}{n}$
 ψ hustota pravděpodobnosti $d\omega(s) = \psi(s) ds$

$$\text{základní pravděpodobnost: } w(a_i, b_j) = p(a_i) q(b_j)$$

$$\text{základní hustota } \bar{f}(s) = \int_{-\infty}^{\infty} f(s) d\omega(s) = \int_{-\infty}^{\infty} f(s) \psi(s) ds$$

$$\text{např.: } (\bar{a} - \tilde{a})^2 = \bar{a}^2 - \tilde{a}^2$$

tlak plynu - jednoduše (Krönig 1856):

$$P = \frac{1}{3} \bar{v}^2$$

přemyslejme

$$P = \int_{r_x=0}^{\infty} 2\pi r_x \cdot n v_x \cdot \psi(v_x) dv_x =$$

$$= mn \int_{v_x=0}^{\infty} v_x^2 \psi(v_x) dv_x = \bar{v}_x^2$$

$$v_x^2 = -\infty$$

$$\text{ak } \bar{v}_x^2 = \bar{v}_1^2 + \bar{v}_2^2 = \frac{1}{3} \bar{v}^2 \Rightarrow P = \frac{1}{3} \bar{v}^2$$



$\frac{1}{6}$ vzdálenost molekul $f(v, 0, 0)$
 $v = 1m^2$ v sekundu $\frac{1}{6} n \cdot V$ molekul
základní hustota $\sim 2mv$
celková základní hustota $\frac{1}{6} nmv^2$
 $= \frac{1}{3} P v^2$

ještě není mikroskopický popis a fenomenologickou veličinou P

Vztah mezi tlakem a rychlosí molekul

$$pV = \frac{1}{3} m \cdot N_A \cdot \bar{v}^2 = RT$$

tedy $\bar{v}^2 = \frac{3RT}{M}$ a střed. kružnat. rychlosí $v_{\text{r}} = \sqrt{\bar{v}^2} = \sqrt{\frac{3RT}{M}}$
molární hmotnost

(př.: pro He je $M=2 \text{ g mol}^{-1}$ a při $T=300 \text{ K}$ je $v_{\text{r}}=1900 \text{ m/s}$
> rychlost střechy = průkaz - pouze rovnice je 10x menší)

Unitní energie ideál. plynu

$$\text{kinet. energie } E_k = \sum_{i=1}^{N_A} \frac{m}{2} v_i^2 = \frac{m}{2} \sum_{i=1}^{N_A} v_i^2 = \frac{m N_A}{2} \bar{v}^2 = \frac{3}{2} RT$$

pro jednovatomý plyn $V=E_k \Rightarrow C_V = \left(\frac{\partial U}{\partial T}\right)_V = \frac{3}{2} R = N_A \frac{3}{2} k$

víceatomý plyn - rotacní stupni volnosti - lineární ($+2$ st.v.) (tříčlenné CO₂)
prostorné molekuly ($+3$ st.v.)

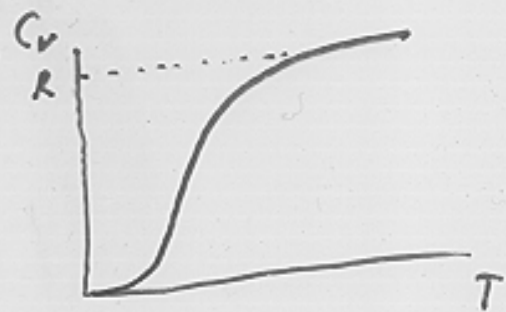
Ekvipartiční princip (Heisen?) na kružnici stupni volnosti (translační)

či rotacioní molekuly případě energie $\frac{1}{2} kT$

+ na kružnici vibrační st.v. případě energie kT (odpovídá druhé eliptické vlny pro energii energii potenciálu + kinetického vibrace)

tedy pro j. kružnat. člunku b) $U = \frac{1}{2} RT$, $C_V = \frac{1}{2} R$

plyn	C_V	C_P	α
1-atom.	$\frac{3R}{2}$	$\frac{5}{2}R$	5/3
2-atom.	$\frac{7R}{2}$	$\frac{9}{2}R$	2/3
(3+2+1-vibr.)			
3-atom. lin.	$13R/2$	$15R/2$	15/13
3-atom. neline.	$12R/2$	$14R/2$	14/12
n-atom.	$(3n-3)R$	$(3n-2)R$	$(3n-2)/(3n-3)$



6-atom. lineární	$\frac{5}{2}R$	$\frac{7}{2}R$	$\frac{4}{3} \sim 1,33$	(Einfach), kružnat., harmonický oscilátor
6-atom. nelineární	$\frac{6}{2}R$	$\frac{9}{2}R$	$\frac{8}{6} \sim 1,33$	nelineární oscilátor
cílen. $3n$, z toho 3 jedny tříčlenné, zbytek unitní stupňovat				rotacioní 2 3 vibrační 3n-5 3n-6

Sounislost entropie a mikroskopické pravděpodobnosti

(L. Boltzmann) $S \longleftrightarrow w$ - termodynamická pravděpodobnost
- počet různých reakcí daného stavu

$$S_1 + S_2 \longleftrightarrow W_1 \cdot W_2$$

tedy $S = \text{konst} \cdot \ln w$ $\left(\frac{PdV}{T} = R \frac{dV}{V} \right)$

$$S_2 - S_1 = \int_1^2 \frac{dQ}{T} = \int_1^2 \left[\frac{C_V dT}{T} + \frac{PdV}{T} \right] = C_V \ln \frac{T_2}{T_1} + R \ln \frac{V_2}{V_1}$$

Q₂₁-Luzzasch
expans.
 \uparrow
 $\Delta S = R \cdot \ln 2$

$\ln \frac{m_2}{m_1}, \ln 2^N_A$

$$dQ = dU + PdV$$

Boltzmannův vztah $S = k \cdot \ln w$

$$\text{konst} = \frac{R}{N_A} = k$$

Boltzmann h.

tedy entropie - míra pravděpodobnosti
nížit S odp. přechodu do pravděpodobn. stavu

odpočet reverzibilitý dílčí - zákon, jenž je dle irreverzibil.,
když zákon mechaniky, jsou reverzibilní, otáčení informace -
reverzibilité by vyžadovalo detailně znest konfiguraci do dleších,
které mohou získat - přistoj. teorie informac - minimální informace
(Prigogine) maximální entropie

otáčení fluktuace, Maxwellov dům, povinní II. větě tedy

Statistické rozdělení

Maxwellovo rozdělení (Maxwellovo odnosení 1860 (!!))

pravděpodobnost $v_x \in (v_x, v_x + dv_x) \dots \dots \Psi(v_x) dv_x$
 $v_y \in (v_y, v_y + dv_y) \dots \dots \Psi(v_y) dv_y$
 $v_z \in (v_z, v_z + dv_z) \dots \dots \Psi(v_z) dv_z$

současná platnost - v podne do objemu $dv_x dv_y dv_z$: $\varphi(v^2) dv_x dv_y dv_z$
 závisí jen na velikosti v

$$\Psi(v_x) \Psi(v_y) \Psi(v_z) = \varphi(v^2)$$

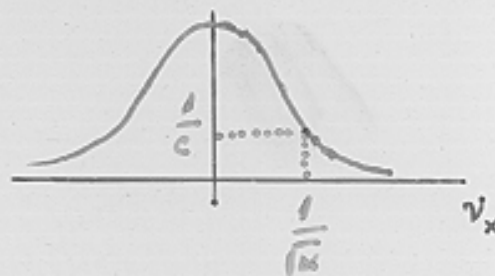
nezávislé vzdělosti !!!?

(parciální derivace podle v_x : $\psi'(v_x) \Psi(v_y) \Psi(v_z) / \Psi(v^2) = 2 \varphi'(v^2) v_x$)

a vzdělení $\frac{1}{v_x} \frac{\Psi(v_x)}{\Psi(v^2)} = 2 \frac{\varphi'(v^2)}{\varphi(v^2)}$, totéž pro v_y, v_z ,
 tedy $= -2\alpha$ a integrace konstante

$$\therefore \underline{\Psi(v_x) = A e^{-\alpha v_x^2}}, \text{ podobně } \Psi(v_y) = A e^{-\alpha v_y^2} \\ \Psi(v_z) = A e^{-\alpha v_z^2}$$

$$\underline{\alpha \Psi(v) = A^3 e^{-\alpha v^2}}$$



Normalizaci konstante A:

$$\int_{-\infty}^{\infty} A \Psi(v_x) dv_x = 1 \Rightarrow A \int_{-\infty}^{\infty} e^{-\alpha v_x^2} dv_x = 1$$

$$\underbrace{\frac{A}{\sqrt{\pi}} \int_{-\infty}^{\infty} e^{-\xi^2} d\xi}_{I = \sqrt{\pi}} = 1 \Rightarrow A = \sqrt{\frac{\alpha}{\pi}}$$

$$I^2 = \int_{-\infty}^{\infty} e^{-\xi^2} d\xi \cdot \int_{-\infty}^{\infty} e^{-\eta^2} d\eta = \underbrace{\int_{-\infty}^{\infty} \int_{-\infty}^{\infty} e^{-(\xi^2 + \eta^2)} d\xi d\eta}_{\text{integrál přes plánek}} = \int_0^{\infty} e^{-\rho^2} 2\pi \rho d\rho =$$

subst. $\rho^2 = \xi^2 + \eta^2$

$d\xi d\eta = \rho d\rho d\theta$

$$\pi \int_0^{\infty} e^{-\rho^2} d\rho = \pi$$

určení α :

$$\overline{v_x^2} = A \int_{-\infty}^{\infty} v_x^2 e^{-\alpha v_x^2} dv_x = \frac{A}{\alpha^{3/2}} \frac{\sqrt{\pi}}{2} = \frac{1}{2\alpha}$$

integruji per parti

$$\int \xi^n e^{-\xi^2} d\xi = \frac{\xi^{n+1} e^{-\xi^2}}{n+1} + \frac{2}{n+1} \int \xi^{n+2} e^{-\xi^2} d\xi$$

$n=0: \int \xi^0 e^{-\xi^2} d\xi = \frac{\sqrt{\pi}}{2}$

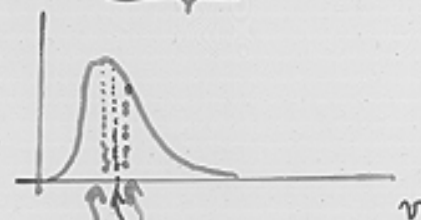
ale $\overline{v_x^2} = \frac{R\Gamma}{M} = \frac{k\Gamma}{m}$

$$\alpha = \frac{1}{2 \overline{v_x^2}} = \frac{m}{2k\Gamma}$$

$$\Psi(v_x) = \sqrt{\frac{m}{2\pi k\Gamma}} \cdot e^{-\frac{m v_x^2}{2k\Gamma}}$$

Vlastnost Maxwellova rozdělení

$$n_v dv = 4\pi v^2 \varphi(v) dv = 4\pi A^3 e^{-\alpha v^2} v^2 dv$$



charakteristiky:

střední kvadratická rychlosť

$$v_c = \sqrt{\bar{v}^2} = \int_0^\infty 4\pi v^2 \varphi(v) \cdot v^2 dv = \sqrt{\frac{3kT}{m}}$$

střední rychlosť

$$\bar{v} = \int_0^\infty 4\pi v^2 \varphi(v) v dv = \sqrt{\frac{8kT}{\pi m}}$$

nejpravděpodobnější rychlosť

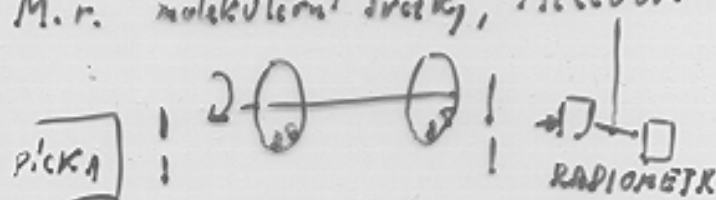
$$\frac{d}{dv} (v^2 e^{-\alpha v^2}) = 0 \Rightarrow 2v e^{-\alpha v^2} - v^2 \cdot 2\alpha v e^{-\alpha v^2} = 0 \Rightarrow \alpha v_p^2 = 1$$

$$v_p = \sqrt{\frac{2kT}{m}}$$

Rozptýl:

$$\begin{aligned} (\bar{v} - \hat{v})^2 &= \bar{v}^2 - \hat{v}^2 = \\ (3 - \frac{8}{\pi}) \frac{kT}{m} &\approx 0,454 \frac{kT}{m} \\ (\text{střed.kvadrat.odch.)} & \end{aligned}$$

Experimentální ověření M. r. molekulové rychlosti, Fizekovou metodu



Maxwellovo - Boltzmannovo rozdělení → se srazech molekul (Zánička, Boltz.)
 (1866) (1868) před srazech → $\vec{v}_1, \vec{v}_2 \rightarrow v_1, v_2$ (po srazech)

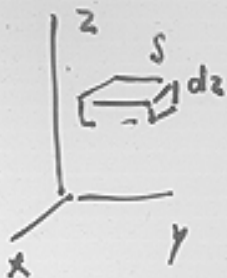
$$f(\vec{v}_1) \cdot f(\vec{v}_2) \cdot d\vec{v}_1 d\vec{v}_2 = f(\vec{v}'_1) f(\vec{v}'_2) d\vec{v}'_1 d\vec{v}'_2$$

($d\vec{v}$, označující 3rozměrný element

Boltzmannova funkce $H = V \int f(v) dv$, $\log f(v) = -\frac{S}{k} + \text{konst}$
 pro srazech lze užít $d\vec{v}_1 d\vec{v}_2 = d\vec{v}'_1 d\vec{v}'_2 \Rightarrow f(\vec{v}_1) f(\vec{v}_2) = f(\vec{v}'_1) f(\vec{v}'_2)$
 z toho lze uplatnit Maxwellovo rozdělení

(další Boltzmannova úvaha: funkce $H = V \int (\log f(v)) \cdot f(v) dv = -\frac{S}{k} + \text{konst}$)
 (v Zánička)
 vlastnosti: H s časem v důsledku srazech klesá,
 minimální hodnota pro Maxwellovo rozdělení souvisí s entropií:

Zwei konzentrierte Partikel in einem



$$S n(z) \psi(v_z) dv_z dz$$

$$n(z) \psi(v_z) dv_z dz \approx n(z') \psi(v'_z) dv'_z dz'$$

$$\frac{dz}{v_z} = \frac{dz'}{v'_z}$$

$$\frac{m}{2} v_z^2 + m g z = \text{konst} \Rightarrow v_z dz = v'_z dz' \Rightarrow \frac{n(z')}{n(z)} = \frac{\psi(v_z)}{\psi(v'_z)} = e^{-\frac{m(v_z^2 - v'^2_z)}{2kT}}$$

$$\frac{n(z')}{n(z)} = e^{-\frac{m g (z' - z)}{kT}} = e^{-\frac{mgh}{kT}}$$

$$p = nkT \Rightarrow p = p_0 e^{-\frac{E_p}{kT}}$$

$$n(E_p) = n_0 e^{-\frac{E_p}{kT}}$$

Bose-Einstein Formel

Boltzmannsches Modell

$$n_i = \text{konst} e^{-\frac{E_i}{kT}}$$

$$\text{Fluktuation} \quad (\overline{\Delta v^2})^2 = \overline{v^4} - (\overline{v^2})^2 = 6 \left(\frac{kT}{m} \right)^2$$

$$\frac{15}{4} \left(\frac{2kT}{m} \right)^2$$

relat. Fluktuation

$$\delta(v^2) = \sqrt{\frac{(\Delta v^2)^2}{\overline{v^4}}} = \sqrt{\frac{2}{3}}$$

$$\text{Relat. Fluktuation} \quad \overline{E} = N_A E_1 = \frac{3}{2} N_A kT$$

$$(\overline{\Delta E})^2 = \Delta \left(\overline{\sum_{N_A} E_i} \right)^2 = \sum_{N_A} (\overline{\Delta E_i})^2 = \sum_{N_A} \left(\frac{1}{2} m \Delta v^2 \right)^2 = \frac{6}{4} N_A (kT)^4$$

relat. fluktuation energie v^4 mal

$$\delta E = \sqrt{\frac{(\overline{\Delta E})^2}{\overline{E}}} = \sqrt{\frac{2}{3 N_A}} \sim \frac{1}{\sqrt{N_A}}$$

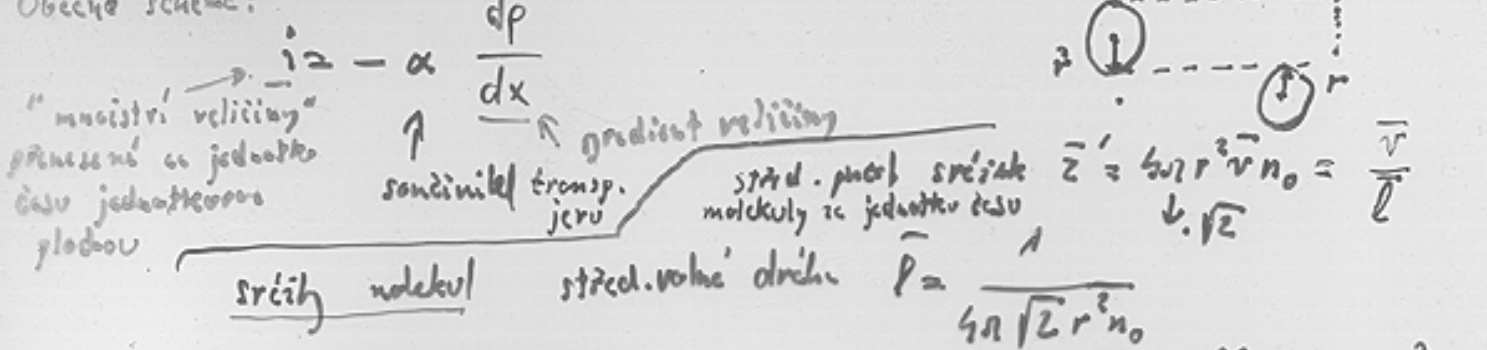
Brownian poly^b

$$\overline{\Delta x^2} = \sqrt{\frac{kT}{3 \pi \eta r} \cdot t}$$



Transportní jevy: vnitřní trén - vedení tepla - difuze

Obecné schéma:



(faktor $\sqrt{2}$: zvýšení
střední relativní rychlosťi molekul)
jedné růži: druhé

$$\vec{v}_r = \vec{v}_1 - \vec{v}_2 \Rightarrow v_r^2 = v_1^2 + v_2^2 = 2\vec{v}_1 \cdot \vec{v}_2$$

$$\overline{v_r^2} = \overline{v_1^2} + \overline{v_2^2} \quad \text{při stejném délce urlu}$$

$$\overline{v_r^2} = \sqrt{2} \cdot \overline{v_1^2} \quad \text{a stejným pro } \overline{v_r} = \sqrt{2} \overline{v_1}$$

Výsledek lze upravit: $\bar{l} = \frac{1}{\pi\sqrt{2} d^2 n_0}$, kde $d = 2r$ je účinný průměr molekul

(pro obouk díl rychlosť a normálních podmínek $\bar{l} = 9 \cdot 10^{-9} \text{ m}$,

$$\text{rosti neprům. úhradní tlaku } \bar{p} = \bar{l}_n \cdot \frac{P_n}{P}$$

pro $P = 1 \text{ Pa}$ je $\bar{l} \approx 1 \text{ cm}$ - souviseče s vedením tepla
vakuovým aparátem

vliv teploty - Sutherlandova vzorec

$$d^2 = d_{\infty}^2 \left(1 + \frac{A}{T}\right) \quad (\text{průměr' růži})$$

(samo) difuze

\bar{l}
ze vzdálenosti

$$i(x, t) = -D \frac{dc(x, t)}{dx}$$

gradient koncentracie

součinitel (konstanta) difuze

použit. číslo pro iljet

za jednotku času

jednotkovou ydrou

→ difuzní tlak

$$D = \frac{\bar{l} \bar{v}}{2}$$

(průměrji Chapman (1915)
Enskog (1907)) $D = 0,599 \bar{l} \bar{v}$

Určení poloměru molekuly

Termodifuze - lehčí molekuly ve svahu stupnice (gradientu) typu δ

Difuze ve dvou složkovej smesi $D_{AB} = D_{BA} = D$ (vliv celkového toku plynů)

$$D = \gamma_B D_A + \gamma_A D_B \quad \gamma - \text{molekulní podíly}$$

$$\approx D_A = \frac{1}{2} \bar{v}_A \bar{l}_A, D_B = \frac{1}{2} \bar{v}_B \bar{l}_B$$

Viskozita průnos hybnosti - Couette flow

$$\text{je } \frac{F}{S} = -\eta \frac{dv}{dx} \quad \eta = \frac{0,699}{2} \bar{v} \bar{l}$$

riskovánky

m-n, hustota plynu

(nezávislost na tlaku pro $\bar{l} \ll$ rozšíření aperiody) kluzání plynu

teplotní vodivost

$$q = \frac{Q}{S} = -\lambda \frac{dT}{dx}$$

zavíráme teplotní vodivost

$$\lambda = \frac{1}{2} 6 \bar{v} \bar{l} c_r$$

1,261 opět nezávislost na tlaku plynu

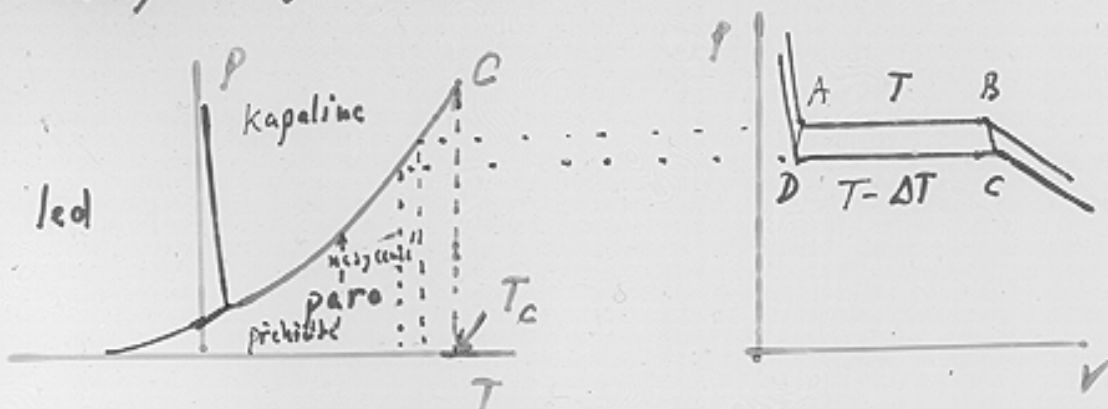
ale při nízkém tlaku

přírodní země klesají

molekulární pravidelnost

Fázové přechody

Fázový diagram pro jednosložkovou soustavu (voda)



Počet stupňů volnosti $v = 2$ (tahle P, T)

Rovnorovně 2 fází \rightarrow sníží průměrný stupeň volnosti o 1

(podmínka rovnorovník, fází - písmem křížek
rovnorovník, termodynamické formule
z nuly)

Další složka - zvýší v o 1 : tež

Gibbsova fázová pravidla

$$\underline{v = 2 + s - f}$$

Pro $s=1$ $f=1 \Rightarrow v=2$ součinně
bivariantní

$f=2 \Rightarrow v=1$
univariantní

$f=3 \Rightarrow v=0$
invariantní

Křivka nejednotlivých par

-tež ("fazoví") nejednotlivých par

-náznáci na objemu, závisí na teplotě

Skupenské teplo (molekulární, měrné)

$$L = \underbrace{U_2 - U_1}_{\text{vnitřní}} + \underbrace{p(V_2 - V_1)}_{\text{vnější}} = H_2 - H_1$$

(minimální - při přechodu P, T konstantní)

$$dG = -SdT + Vdp = 0$$

G kapekou i páry v rovnováze
stojí)

Carnotův cyklus mezi teplotami

$$T_1, T_2 + dT$$

$$\eta = \frac{dT}{T} = \frac{A}{Q} = \frac{dp(V_2 - V_1)}{L}$$

1. dílčí: 2
 $\Delta G = \Delta G_{\text{páry}}$

a rovnice Clausiusova - Clapeymore

$$\frac{dp}{dT} = \frac{L}{T(V_2 - V_1)}$$

důsledek, když přechod led \rightarrow voda $V_1(\text{led}) > V_2(\text{voda}) \rightarrow \frac{dp}{dT} < 0$

2) príbeh křížky, nov. par (měření Toricelliho turbici)

$$V_1 \ll V_2 = \frac{RT}{P} \text{ dére'}$$

$$\frac{dp}{P} = \frac{L dT}{RT^2} \text{ a půj konstanta } L$$

$$\log p = - \frac{A}{T} + B$$

(Augustovu rovnice
severopolských vztah
doby souhlas)

Poznámky:

1) pojem fází - něm krystalické mofitikum: něm fáz
enzentio-morfické formy (pravotočivé a levotočivé kryštaly): stejná
kapalina a amorfní jsou (tuky) látky představují fáz
stejnou fazí

2) molekulární soustavy - fází představují třeba homogenní roztoky, směsi
- pokud probíhají chemické reakce, sníží se tři fází kryštál
neexistujíci slouček (jsou vizuálně reakce)
- fázové diagramy se komplikují - moc promítaný

3) skupenské teplo výparování, vap, skupenské teplo varu -

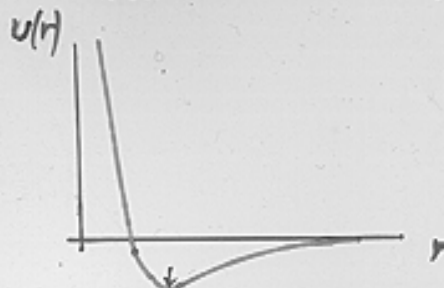
zimoulky phazí fází, rozpuštění phazí
nejdovolitelnější krypaline-praktické fází
varu fází
(krysalické)

podobné přichlácené krypaline
záručky kryštálů

souvislost s tlakem nejen
par než zákonitostí
povrchem

Realní plyny

mezinukleární síly

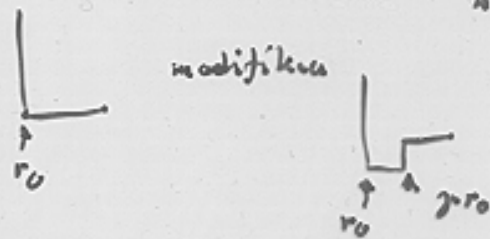


approximace tuhých kouli

- nenebite' molekuly (até už je dipol. moment 1 nech dipol. moment bez dipolární momentu)
- prítlačný
- vzdáleností interakce
- odpuzení

$$v = -Ar^{-6} + Br^{-n} \quad \text{Lennard-Jonesov potenciál}$$

(běž 6-12 :
n=12)

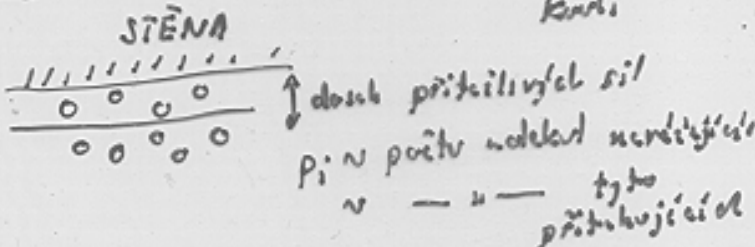


Van der Waalsova rovnice

$$pV = RT$$

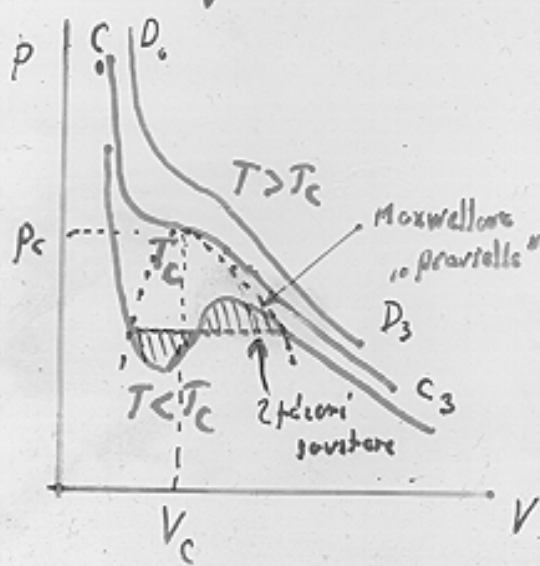
$$\left(p + \frac{a}{V^2}\right)(V - b) = RT$$

↑ "kavolum" pro tuhé koule = fix vlastnosti objem
kohezní tlak p_i



(pro v můžu srozumět)

$$\left(p + \frac{v^2 a}{V^2}\right)(V - v_b) = v RT$$



$$p = \frac{RT}{V-b} - \frac{a}{V^2}$$

$$V^2 - \left(\frac{RT}{p} + b\right)V^2 + \frac{a}{p}V - \frac{ab}{p} = 0$$

ai tři kořeny pro V

kritická izotermu musí dát $(V - V_c)^3 = 0$

$$\text{tedy } 3V_k = \frac{RT_k}{p_k} + b, 3V_k^2 = \frac{a}{p_k}, V_k^3 = \frac{ab}{p_k}$$

$$\text{tedy } V_k = 3b, p_k = \frac{a}{27b^2}, T_k = \frac{8a}{27bR}$$

V_c stáčení je tedy δ jeho nezáležitostí, a tabulkoví hodnoty a, b se počítají

$$a = \frac{27R^6 T_K^2}{64 p_K} \quad b = \frac{RT_K}{8p_K} \quad 84$$

Zavedení redukovaných stavových veličin

$$\pi = P/p_K, \omega = V/V_K, \delta = T-T_K$$

redukování v d. van't Hoffa

$$\left(\pi + \frac{3}{\omega^2}\right)(3\omega - 1) = 8\delta$$

$$\begin{aligned} a \text{ pro drž } V_K = 36 \\ \text{místo} \\ \frac{p_K V_K}{T_K} = \frac{3}{8} R \end{aligned}$$

teorem korespondujících stavů (srovnání rozdílů tlaků je stejný)
hodnotami redukovaných veličin

- s v.d. W rovnici

- mězi jedou

v.d. W lze uvést k odhadu odchyliky od charakteristického plynu.

Jiné stavové rovnice

$$\text{Berthelot} \quad \left(p + \frac{a}{TV^2}\right)(V-b) = RT$$

$$\text{Dietrichi} \quad p \exp\left(\frac{a}{VRT}\right)(V-b) = RT \quad \begin{array}{l} (\text{typické v.d. W}) \\ \text{okolo normálního tlaku} \\ 0,1 \text{ MPa} \end{array}$$

$$\text{Redlich-Kwong} \quad \left(p + \frac{a}{V(V+b)\sqrt{T}}\right)(V-b) = RT$$

viridální stavové rovnice (1901 Kamerlingh-Onnes)

$$(\text{kompresibilitní faktor } z) \quad \frac{pV}{RT} = 1 + \frac{B(T)}{V} + \frac{C(T)}{V^2} + \frac{D(T)}{V^3}$$

$$\begin{array}{l} B \text{ druhý viridál. koeficient} \\ C \text{ třetí} \end{array} \quad \begin{array}{l} \text{v.d. W} \\ B = b - \frac{a}{RT} \\ C = b^2 \end{array}$$

Koefficienty lze uvést v souhodnot se silou působení

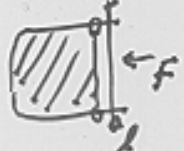
$$\text{npr. } B(T) = 2\pi N_A \int_0^\infty \left(1 - \exp\left(-\frac{v(r)}{k_B T}\right)\right) r^2 dr$$

Povrchové nepříčné kapilární jerry

Kapiláry: nerostlý až plný: podstatně větší hustota, tím i menší
stlačitelnost a větší uplatnění kohesi a repulzivní síly
nerostlý až (krystalický) peroxidát: neperiodické rozmístění
molekul (rozdíl až amorfické látky - "rychlojící" molekulární
pohyb - ne spíše pure kontaktní charakter -
spojitý přechod do skeletálního stavu)
(poznámka: že u vody určité krátkodobou uspořádání
i v kapilárních stavu → anomální mazanost
podobně kapalní krystaly)

molekulární tlak ($H_2O \approx 2,03 \text{ GPa}$) - tím souvisí

povrchové nepříčné $G = \frac{f}{2l} \quad \text{práce } dW = f \cdot dx$



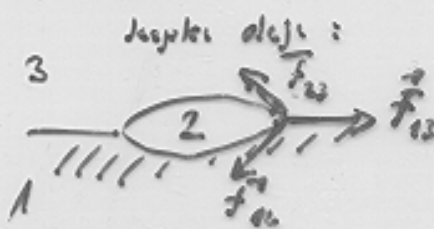
$$= 2f dx$$

$$G = \frac{dW}{2l dx} \approx \frac{dW}{ds}$$

plánové kružnice povrchové
energie

s nastavenou teplotou klesají, při $T_a \neq 0$

experimenty → ježli na vodní hladinu



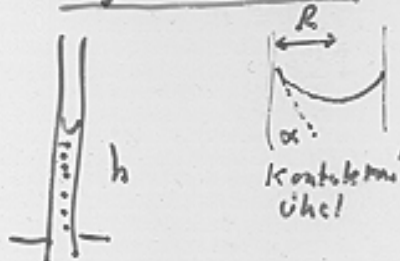
$$\vec{f}_{12} + \vec{f}_{23} + \vec{f}_{32} = 0$$

pro povrchové napětí $f_{12} + f_{23} > f_{32}$
rytmické kymatu

rekvírený povrch: kapilární tlak $f_{12} + f_{23} < f_{32}$ - rovnice se
 $P_K = \frac{26}{R} \left(\text{ci obecně } G \cdot \left(\frac{1}{R_1} + \frac{1}{R_2} \right) \right)$ - pro kolmý povrch bez sucho-

nýchkového tlak - "větší" posuzují menší + odrazit

Kapilární elevec a deprese - u perníku povrch snížen / zvýšen



$$h = \frac{26}{r(g-f_0)g} = \frac{26 \cos \alpha}{R(g-f_0)g} \quad \text{až dobré smíšení kyn}$$

$$\text{a } h = \frac{26}{R(g-f_0)g}$$

absolutní tlak (u rtutě)